

ВІННИЦЬКИЙ НАЦІОНАЛЬНИЙ ТЕХНІЧНИЙ УНІВЕРСИТЕТ

Факультет машинобудування та транспорту

Кафедра галузевого машинобудування

Пояснівальна записка

Матеріал
(освітньо-кваліфікаційний рівень)

на тему: Захватний пристрій робота для роботизованого технологічного комплексу для холодного листового штампування

08-27.МКР.009.00.000 П3

Виконав: студент 2 курсу за ОПН
«Магістра», групи 1ГМ-19м
спеціальності 133
галузеве машинобудування
(шифр і назва напряму підготовки)

Торський М.В.

(прізвище та ініціали)

Керівник _____ Поліщук Л.К

(прізвище та ініціали)

Рецензент _____

(прізвище та ініціали)

Вінниця – 2020

Факультет машинобудування та транспорту

Кафедра галузевого машинобудування

Освітньо-кваліфікаційний рівень магістр

Спеціальність 133 «Галузеве машинобудування»

(шифр і назва)

ГАЛУЗЕВЕ МАШИНОБУДУВАННЯ

**ЗАВДАННЯ
НА МАГІСТЕРСЬКУ КВАЛІФІКАЦІЙНУ РОБОТУ СТУДЕНТУ**

Торському Максиму Валерійовичу

(прізвище, ім'я, по батькові)

1. Тема магістерської кваліфікаційної роботи Захватний пристрій робота для роботизованого технологічного комплексу холодного листового штампування

керівник магістерської кваліфікаційної роботи Поліщук Леонід Клавдійович

(прізвище, ім'я, по батькові, науковий ступінь, вчене звання)

д.т.н., професор

затверджені наказом вищого навчального закладу від “25” вересня 2020 року №214.

2. Срок подання студентом магістерської кваліфікаційної роботи: 08.12.2020.

3. Вихідні дані до магістерської кваліфікаційної роботи: промисловий робот FS20C; вантажопідйомність, кг 20; число ступенів свободи - 6; система координат - сферична; діаметр приєднувальної поверхні захватного пристрою – 40Н7; тип привода – електромеханічний, пневматичний; заготовка – лист сталевий 1000×1200 мм.

4. Зміст розрахунково-пояснювальної записки (перелік питань, які потрібно розробити): вступ; техніко-економічне обґрунтування теми роботи; аналіз відомих технічних рішень; конструкторський розділ; розрахунок параметрів вакуумного захватного пристрою; математична модель вихрового захватного пристрою вихрового типу; економічний розділ; розділ з охорони праці та безпеки у надзвичайних ситуаціях.

5. Перелік графічного матеріалу (з точним зазначенням обов'язкових креслень)

5.1 Типові РТК для штампування, плакат (2 листа ф. А1).

5.2 Аналіз відомих технічних рішень ЗП, плакат (1, лист ф. А1).

5.3 Математична модель вихрового вакуумного захоплювального пристрою промислового робота для визначення несівної здатності, плакат (1 лист ф. А1).

5.4 3D-модель вакуумного захоплювального пристрою, плакат (1 лист ф. А1)

5.5 Загальний вигляд робота FS20C (1 лист ф. А1)

5.6 Складальне креслення вакуумного захоплювального пристрою (2 листа ф. А1)

5.5 Складальне креслення вакуумного присмоктувача (1 лист ф. А1)

5.6 Загальний вигляд робота робота FS20C з розрібленим ЗП (1 лист ф. А1)

ВІДПОВІДЬ

6. Консультанти розділів магістерської кваліфікаційної роботи

Розділ	Прізвище, ініціали та посада консультанта	Підпис, дата	
		завдання видав	завдання прийняв
Спеціальна частина	Поліщук Леонід Клавдійович. д.т.н., професор	02.09.20	08.12.2020
Економічна частина	Бальзан Марина Володимирівна к.е.н., доцент	02.09.20	08.12.2020
Охорона праці	Поліщук Олександр Васильович к.т.н., доцент	02.09.20	08.12.2020

7. Дата видачі завдання 02.09.20

КАЛЕНДАРНИЙ ПЛАН

№ з/п	Назва етапів магістерської кваліфікаційної роботи	Строк виконання етапів МКР	Примітка
1.	Постановка задачі та техніко-економічне обґрунтування теми роботи	02.09.2020	виконано
2.	Аналіз відомих технічних рішень.	21.09.2020	виконано
3.	Розрахунково-конструкторський розділ	16.10.2020	виконано
4.	Математична модель вихрового вакуумного захоплювального пристрою промислового робота для визначення несівної здатності	19.11.2020	виконано
6.	Економічний розділ.	03.12.2020	виконано
7.	Охорона праці і безпека у надзвичайних ситуаціях.	04.12.2020	виконано
8.	Попередній захист.	10.12.2020	виконано

Студент Торський М.В.,
(підпис) (прізвище та ініціали)

Керівник магістерської кваліфікаційної роботи Поліщук Л. К.,
(підпис) (прізвище та ініціали)

Анотація

В магістерській кваліфікаційній роботі виконано техніко-економічне обґрунтування вибору теми, на підставі аналізу уніфікованих РТК штампування та існуючих захватних пристройів промислових роботів, що входять в ці комплекси. Здійснено вибір раціональної схеми захоплювального пристрою для таких технологічних операцій. Проаналізовано методики розрахунків притягувальних захватних пристройів, виконано математичне моделювання такого пристрою вихрового типу для визначення несівної здатності. Розраховано необхідні для проектування параметри вакуумного захоплювального пристрою активної дії та виконано розробку його конструкції, а також 3D модель.

Розроблено заходи щодо охорони праці та безпеки в надзвичайних ситуаціях.

Annotation

In the master's qualification work the technical and economic substantiation of the choice of a theme is executed, on the basis of the analysis of the unified RTK stamping and the existing gripping devices of the industrial robots which are a part of these complexes. The choice of the rational scheme of the capturing device for such technological operations is made. Methods of calculations of attractive gripping devices are analyzed, mathematical modeling of such device of vortex type for definition of seedlessness is executed. The parameters of the active vacuum capture device required for design have been calculated and its design has been developed, as well as a 3D model.

Measures for labor protection and safety in emergency situations have been developed..

ВСТУП	7
1 ТЕХНІКО-ЕКОНОМІЧНЕ ОБГРУНТУВАННЯ ВИБОРУ ТЕМИ	
РОБОТИ	10
1.1 Суть технічної проблеми	10
1.2 Базовий варіант для модернізації	11
1.3 Коментар технічних показників аналогу і нового виробу	13
1.4 Шляхи досягнення поставленої задачі	15
1.5 Технічні вимоги, що висуваються до об'єкту проектування	15
1.6 Прогноз величини попиту	16
1.7 Цінова політика	17
1.8 Визначення конкурентів	18
1.9 Розрахунки, які підтверджують економічну доцільність нової розробки	19
1.10 Техніко-економічне обґрунтування вибору оптимального варіанта рішення основної задачі роботи – підвищення ефективності роботи промислового робота	22
2 АНАЛІЗ ВІДОМІХ ТЕХНІЧНИХ РІШЕНЬ	25
2.1 Уніфіковані РТК холодного листового штампування	25
2.2 Притягувальні захватні пристрой	29
2.3 Магнітні захватні пристрой	23
2.4 Вакуумні захватні пристрой	33
2.5 Замикаючі пристрой	35
3 РОЗРАХУНКОВО-КОНСТРУКТОРСЬКИЙ РОЗДІЛ	48
3.1 Особливості розрахунку різних видів вакуумних захватних пристрой	48
3.1.1 Пасивні вакуумні присмоктувачі	49
3.1.2 Активні вакуумні захватні пристрой	51
3.1.3 Обладнання та параметри вакуумної системи	54
3.1.4 Активні вакуумні зп на базі ежекторних систем	57
3.1.5 Аеродинамічні захватні пристрой	58
3.1.6 Струменево-вакуумні захватні пристрой	58
3.1.7 Орієнтування захоплюваних об'єктів	61

3.1.8 Вихрові захватні пристрой.....	63
3.2 Розрахунок конструктивних параметрів вакуумного захватного пристрою активної дії.....	65
4 МАТЕМАТИЧНА МОДЕЛЬ ВИХРОВОГО ВАКУУМНОГО ЗАХОДІВРАЛЬНОГО ПРИСТРОЮ ПРОМИСЛОВОГО РОБОТА ДЛЯ ВИЗНАЧЕННЯ НЕСІВНОЇ ЗДАТНОСТІ.....	67
5 ЕКОНОМІЧНИЙ РОЗДІЛ.....	75
5.1 Розрахунок кошторису витрат на розробку.....	75
5.2 Розрахунок виробничої собівартості одиниці продукції.....	77
5.3 Розрахунок ціни реалізації виробу.....	82
5.4 Розрахунок чистого прибутку, який отримує виробник протягом одного року від реалізації нової розробки.....	82
5.5 Розрахунок експлуатаційних витрат у споживача при використанні нової розробки.....	82
5.6 Розрахунок економічного ефекту для споживача від придбання нового приладу.....	85
5.7 Розрахунок для споживача економічного ефекту на ціні від придбання нового виробу.....	87
6 ОХОРОНА ПРАЦІ ТА БЕЗПЕКА У НАДЗВИЧАЙНИХ СИТУАЦІЯХ.....	88
6.1 Коротка характеристика приміщення.....	88
6.2 Організаційно-технічні рішення щодо безпеки праці та виробничої санітарії.....	89
6.3 Організаційно-технічні рішення щодо забезпечення безпечної роботи.....	92
6.4 Пожежна безпека.....	93
6.5 Безпека у надзвичайних ситуаціях.....	94
ВИСНОВКИ.....	99
СПИСОК ЛІТЕРАТУРИ.....	100
ДОДАТКИ.....	103
ДОДАТОК А – Технічне завдання.....	104
ДОДАТОК Б – Графічна частина.....	109
ДОДАТОК В – Специфікації.....	119

ВСТУП

Актуальність. Промислові роботи (ПР) – це універсальний засіб комплексної автоматизації виробничих процесів за допомогою якого забезпечується швидке переналагодження послідовності, швидкості та видів маніпуляційних дій [1]. Тому застосування промислових роботів є найбільш ефективним в умовах частої заміни об'єктів виробництва, а також для автоматизації ручної низько кваліфікованої і монотонної праці.

Серед проблем, що виникають під час впровадження роботів у виробництво, очевидно, найбільш актуальною є проблема створення робочого органу, придатного для розв'язку конкретних технологічних задач. Захоплювальні пристрої є важливими елементами оснащення роботів і мають велику кількість проектних рішень, залежно від робіт, що ним виконуються. Промислові роботи, що випускаються для потреб промисловості, зазвичай комплектуються набором захватних пристрій. Проте, під час їх виробництва неможливо врахувати всі вимоги, які можуть бути до них висунуті впродовж експлуатації, і особливо, вимоги, що висуваються до робочих органів. Тому в конкретних виробничих умовах часто існуючий промисловий робот замінюють на новий, спроектований і виготовлений у відповідності до умов експлуатації. Такий підхід до розв'язку проблеми призводить до значного збільшення терміну переходу на виробництво нової деталі і значно знижує продуктивність. Наявність великого спектру різних за технологічним призначенням захоплювальних пристрій дозволяє підвищити універсальність промислових роботів та здатність до швидкого переналагодження роботизованих технологічних комплексів та гнучких виробничих модулів.

Мета роботи – підвищення ефективності застосування промислового робота шляхом розширення його функціональних можливостей за рахунок використання змінних робочих органів.

ВНТУ,

- В зв'язку з поставленою метою необхідно розв'язати такі задачі:
- провести техніко-економічне обґрунтування вибору теми дипломного проекту;
 - проаналізувати відомі технічні рішення щодо застосування захватних пристрій в промислових роботах, призначених для штампувальних операцій, і здійснити вибір найбільш ефективного захватного пристрію;
 - розглянути особливості розрахунку притягувальних захватних пристрій, за існуючою методикою розрахувати необхідні параметри вакуумного захватного пристроя і виконати його проектування;
 - виконати проектні розрахунки та розробити конструкцію вакуумного захватного пристроя;
 - розробити математичну модель вихрового вакуумного захоплювального пристроя промислового робота для визначення несівної здатності;
 - обґрунтувати доцільність застосування розробленого захватного пристроя за допомогою необхідних економічних розрахунків;
 - розробити заходи щодо охорони праці та безпеки у надзвичайних ситуаціях;

Об'єкт дослідження – технологічні процеси в роботизованих технологічних комплексах та гнучких виробничих модулях, оснащених промисловими роботами із змінними закоплювальними пристроями.

Предмет дослідження – Захоплювальний пристрій промислового робота для виконання штампувальних операцій.

Методи дослідження. Теоретичні дослідження виконувались на основі положень теорії аеродинаміки, зокрема, стиснених газів, чисельних методів розв'язування звичайних диференціальних рівнянь на основі комп'ютерного моделювання з використанням пакету Mathcad 7, аналітичних досліджень методів розрахунку захоплювальних пристрій різного типу.

ВНТУ,

Наукова новизна отриманих результатів та їх практичне значення

- Удосконалено методи розрахунку вакуумних вихрових захоплювальних пристрій промислових роботів, з врахуванням течії стисненого повітря через сопла та трубопроводи.

- Розроблено конструкцію змінного захоплювального пристрою для промислового робота, призначеного для виконання штампувальних операцій з покращеними техніко-економічними показниками.

Особистий внесок автора. Основні результати, що викладені у магістерській кваліфікаційній роботі та виносяться на захист, отримані самостійно за консультивативної допомоги наукового керівника.

Серед них:

- запропоновано проводити аналіз динамічних процесів течії стисненого повітря повітряними магістралями з врахуванням впливу діаметральних розмірів на швидкість окремих шарів повітря в поперечному перерізі ;
- отримано аналітичну залежність для розрахунку насівної здатності захоплювального пристрою промислового робота для виконання штампувальної операції;

Публікації. Результати досліджень, що виконані в магістерській кваліфікаційній роботі, опубліковано в одних тезах конференції “Молоді в науці: дослідження, проблеми, перспективи (МН-2020)”.
ЗЕРВІСНА МАШИНОВАНИЯ

1 ТЕХНІКО-ЕКОНОМІЧНЕ ОБГРУНТУВАННЯ ТЕМИ РОБОТИ

Техніко-економічне обґрунтування теми роботи виконуємо за рекомендаціями [2].

1.1 Суть технічної проблеми

Роботизація виробничих процесів засобами автоматизації виробництва заснована на застосуванні промислових роботів (ПР). Роботизація є подальшим розвитком процесу автоматизації, оскільки застосування її дозволяє автоматизувати ті виробничі процеси або їхні частини, автоматизація яких найпростішими засобами недоцільна. Метою роботизації виробничих процесів є підвищення техніко-економічних показників роботи підприємства і поліпшення умов праці.

При створенні роботизованих технологічних комплексів і виборі номенклатур використовуваних захоплювальних пристрій необхідні технологічний аналіз конструкцій виробів та їх групування за конструктивно-технологічними ознаками. Різноманітність форм і розмірів об'єктів захоплювання, вимог до їх захоплювання та подальшого утримання призводить до необхідності використання великої кількості захоплювальних пристрій. При серійному виробництві промислових роботів практично неможливо врахувати всі вимоги, поставлені до захоплювачів. Часто виникає ситуація, коли на виробництві для одного промислового робота використовують різноманітні типи захоплювальних пристрій.

Застосування промислових роботів для виконання різних типів робіт буде ефективним у тому випадку, якщо він буде задіяним впродовж всіх робочих змін в продовж заданного терміну випуску продукції на підприємстві. Для серійного та малосерійного виробництва які характеризуються широкою номенклатурою виробів, необхідне швидке переналагодження робота з одної продукції на іншу. Для ефектовного

ВНІТРІШНІ

використання промислового робота необхідно, щоб він був наділений можливістю швидкого переналагодження на випуск нової продукції.

Найбільш відповідає цим вимогам агрегатно-модульний принцип конструювання робота, адже така конструкція дозволяє швидко переналагодити робот, зокрема замінивши захватний пристрій, на виконання робіт щодо випуску іншої продукції. Тому для ефективного використання роботів запропоновано агрегатно-модульного принципу дозволяє зменшити термін переналагодження на нову продукцію, адже не потрібно проектувати новий робот, а використати існуючий, замінивши тільки окремі вузли, зокрема, кисть руки захватного пристрою, що дозволяє підвищити продуктивність на виробництві.

Розроблено захватний пристрій ~~та кисть руки~~ робота агрегатно-модульного виконання, що дало змогу використати його в гнучкому виробничому модулі на операції механічної обробки токарного верстата з ЧПК.

1.2 Базовий варіант для модернізації

На Вінницькому приватному підприємстві «Еліт» на операція зварювання використовується робот конструкції фірми Kawasaki FS20C. Через зниження попиту на продукцію підприємства виникли економічні проблеми і ефективність використання робота, вартість якого є значною недостатньою. Для більшої завантаженості робота його можна використовувати на інших технологічних операціях в цеху, де він встановлений. Після виконання програми за своїм основним призначенням, за умови комплектації змінними робочими органами для інших видів робіт, його можна було б застосувати як засіб автоматизації процесів механообробки, які виконуються в цьому ж цеху, або як основну технологічну одиницю на операціях, наприклад, фрезерування.

Різновидом електромагнітних ЗП є захватні пристрой з елементами, які пристосовуються до форми деталі. У ЗП, заповненому залізним порошком,

фіксація деталі здійснюється за допомогою магнітних сил, що діють на цей порошок (рис. 1.1).

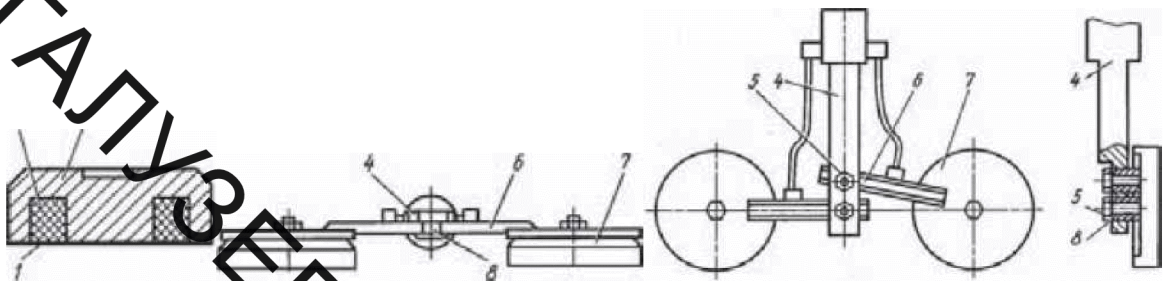


Рисунок 1.1 – Різновид конструкції та елементів електромагнітних захватних

Замикаючі пристрой

При використанні замикаючих пристрой досягається надійне витіснення повітря, в той час як у звичайному сушальному присмоктувачі повітря витісняється через поверхню контакту з деталлю (заготовкою), що пов'язане із збільшенням зусилля притиснення присмоктувача із неповним витісненням повітря (рис. 1.2).

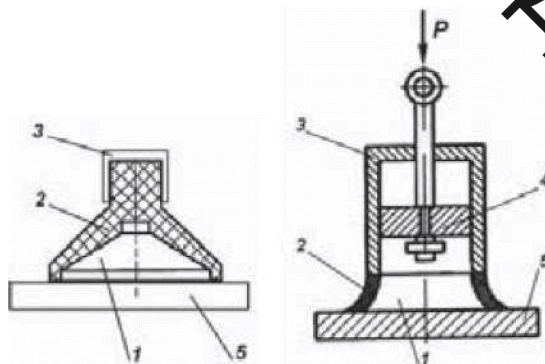


Рисунок 1.2 – Пасивні вакуумні присмоктувачі з корпусом з еластичного матеріалу

Активні вакуумні захватні пристрой.

Активними вакуумними ЗП (ГОСТ 26063-84) називають пристрой, в яких розрідження повітря в зоні контакту з ОМ створюється примусово, наприклад вакуумним або поршневим насосом, а також ежектором - простою

надійною системою, але при цьому витрачається велика кількість стисненого повітря, що надходить із заводської мережі (рис. 1.3).

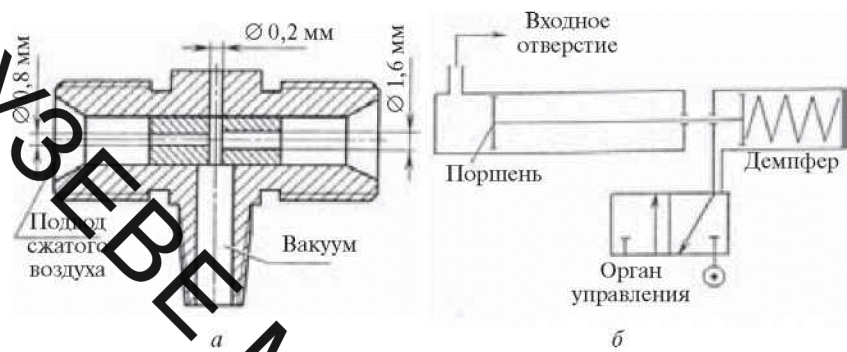


Рисунок 1.3 – Засоби створення розрідження у вакуумних присмоктувачах

Аналізуючи розглянуті конструкції захватних пристройів, зазначаємо, що для ефективного захоплення заданої деталі, необхідно застосувати захватний пристрій притягувального вакуумного типу. Аналогом є притягувальний захватний пристрій електромагнітного типу (рис. 1.4).

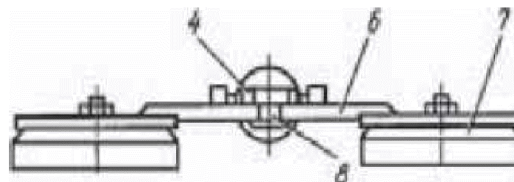


Рисунок 1.4 – Захватний пристрій електромагнітного типу

Технічні показники аналогу і нового виробу для порівняння подано в табл.1.1

1.3 Коментар технічних показників аналогу і нового виробу

Згідно з порівнянням параметрів нової розробки і аналога, які порівнюються в табл.1.1, можна зробити такі висновки.

Кількість змінних робочих органів збільшена до чотирьох, кисть захватного пристрою може здійснювати обертання в двох площинах в межах 180° , що дало змогу розширити технологічні можливості робота. Крім того, за рахунок надання кисті поворотного руху позбавились необхідності використання поворотного пристрою для переорієнтації положення заготовки у верстаті, що дало змогу зменшити кількість допоміжного обладнання на одиницю.

Важливо, що змінився енергоносій, який використано у аналогу – електрика. Для нового пристосування потрібне використання стисненого повітря.

Таблиця 1.1 - Технічні показники аналогу і нового виробу

Показники (параметри)	Одиниці вимірюва- ння	Нова розробка	Аналог	Відношення параметрів нової розробки до параметрів аналога	Пито- ма- вага
Вантажопідйо- мність	кг	6	6		0.1
Кількість змінних робочих	шт	4	2	2	0.4
Кутове переміщення кисті відносно поверхнії	радіан	3.14	3.14	1	0.05
Зворотно- обертальний	радіан	3.14	3.14	1	0.05

Кількість допоміжного обладнення	шт	2	3	1,5	0.3
Привед	-	5	3	1.66	0.1

1.4 Шляхи досягнення поставленої задачі

Основна задача, яка вирішується при розробці змінних робочих органів агрегатно-модульного виконання, – розширення функціональних можливостей промислового робота та створення гнучких допоміжних і транспортних підсистем, що призначені для автоматичного обслуговування і переналагодження РТК, виконання підйомально-транспортних і завантажувально-розвантажувальних операцій.

Поставлена задача розширення функціональних можливостей робота досягається за рахунок використання змінних робочих органів агрегатно-модульного виконання, оснащених поворотною кистю, що можуть затискати деталі різної форми і за допомогою маніпулятора завантажувати і розвантажувати їх із робочої зони металорізального верстата.

1.5 Технічні вимоги, що висуваються до об'єкту проектування

- Захватні пристрої повинні відповідати вимогам згідно ГОСТ 12.2.072-82 ССБТ.
- Встановлене безвідмовне напрацювання на добу - 16 годин;
- Встановлене безвідмовне напрацювання - 20000 годин;
- Встановлений строк служби до першого капітального ремонту -12 років;
- Коефіцієнт технічного використання – не менше 0,85;

- Механізми робота повинні бути захищені від потрапляння до них оператора та робітників під час роботи;
- Органи керування та пульт керування робота повинні бути зручно розташовані і легко вмикатися, та інформувати про стан робота.

1.6 Прогноз величини попиту

Впровадження нової розробки надасть можливість підвищення ефективності застосування промислового робота шляхом розширення його функціональних можливостей за рахунок використання змінних робочих органів.

Приймемо за основу, що середня кількість таких споживачів близько 10000.

Потреба складає приблизно 50%. Зробимо прогноз програми випуску виробів:

$$(10000) \cdot 50 = 5000 \text{ (шт.)}$$

Середній термін строку служби складає в середньому 6-8 років. Отже, щорічна потреба може становити:

$$5000 / (6-8) = 833 \dots 625 \text{ (шт.)}$$

Цю величину приймемо за оптимістичний прогноз ємності ринку у країні.

Для визначення пессимістичного прогнозу необхідно врахувати, що не всі споживачі мають необхідність в придбанні нових пристрій, з чого випливає, що кількість виробів, що можуть бути придбані, складе 40% від загальної кількості.

Тоді пессимістичний прогноз обсягу ринку становить:

$$(833 \dots 625) \cdot 0,4 = 333 \dots 250 \text{ (шт.)}$$

Реалістичний прогноз може бути визначено як середнє арифметичне

оптимістичного та пессимістичного прогнозів:

$$((833\dots625)+(333\dots250))/2=583\dots438(\text{шт.})$$

Будемо вважати, що величина цільового ринку складе 25%, тобто :

$$\text{ЦР}=(583\dots438)\cdot0,25=146\dots110(\text{шт.})$$

Отже, за перший рік просування товару на ринок, планується продати приблизно 125 пристройів.

1.7 Цінова політика

Ціноутворення — це процес встановлення ціни на конкретний товар.

Ціна на продукцію підприємства значною мірою визначається зовнішніми чинниками, серед яких вплив конкуренції, учасників каналів товаропросування (постачальників, посередників), політики держави. Після врахування зовнішніх чинників підприємство починає формувати вихідну ціну. Вихідну ціну встановлюють у кілька етапів.

Перший етап. Визначення мети ціноутворення.

Підхід до ціноутворення визначається залежно від мети, яку ставить перед собою підприємство:

- намагання вижити змушує підприємство встановлювати низькі ціни, оскільки для нього важливіше вижити, ніж отримати прибуток; підприємство здійснює комерційну діяльність доти, поки зниження ціни покриває виробничі витрати;
- максимізація поточного прибутку; в цьому разі поточні результати важливіші, ніж довготермінові;
- захоплення більшого сегменту ринку; для цього підприємство максимально знижує ціни;
- завоювання лідерства на ринку за показниками якості; для досягнення цієї мети продукція підприємства має бутивищої якості з усіх товарів, що пропонує ринок, і це потребує встановлення високої ціни.

Другий етап. Визначення попиту на товар.

Для більшості товарів зниження ціни сприяє підвищенню попиту. Вихідна ціна орієнтується на попит покупця і підтримується на максимальному рівні.

Третій етап. Оцінка витрат виробництва.

Як відомо, витрати поділяються на постійні й змінні за обсягом виробництва. Орієнтація вихідної ціни на витрати виробництва визначає її мінімальний рівень.

Четвертий етап. Аналіз цін і товарів конкурентів.

Інформацію про ціну конкурента можна отримати шляхом здійснення порівняльного придбання товару, одержання доступу до прейскурантів цін, опитування покупців тощо.

П'ятий етап. Вибір методу ціноутворення.

У конкурентних структурах ринку використовують специфічні методи встановлення ціни, до яких належать ціноутворення на рівні поточних цін, ціноутворення з урахуванням конкурентоспроможності товару, ціноутворення у процесі торгів.

Використовуючи метод установлення ціни на рівні поточних цін, підприємство встановлює такі самі ціни, як у конкурентів, нижчі або вищі, ніж у конкурентів. Важливо, щоб ціна відображала відчутні переваги товару підприємства у порівнянні з пропозицією конкурентів.

Ринкова ціна аналогу становить приблизно 2500 грн. Тому, буде доцільно встановити ціну на нову розробку нижчою за ціну аналога.

Але в будь-якому разі, тільки вихід продукції на ринок відкоригує і встановить конкретну ціну на товар.

1.8 Визначення конкурентоспроможності

Конкурентами на ринку є схожий притягувальний пристрій магнітного типу

Оскільки нова розробка порівняно з аналогами має ряд суттєвих переваг, вона буде конкурентоспроможним товаром на ринку.

Визначимо послуги, які можуть покращити просування товару: надійність поставок, можливість отримання технічної консультації, гарантійне та післягарантійне обслуговування, гарантія заміни товару, наприклад, у разі жоїсь несправності, можливість розробки товару по індивідуальному зразку, чаяність обладнання для випробувань тощо. Також необхідно постійно слідкувати за тим, наскільки рівень власних послуг і послуг конкурентів відповідає бажанням та сподіванням замовників. З цією метою можна регулярно проводити опитування, відкрити контактну телефонну лінію.

Реалізацію продукції планується здійснювати без посередників, оскільки це додаткові витрати. Важливим аспектом у просуванні товару на ринок звісно є якісна та продумана реклама. Проведення маркетингової стратегії повинно бути скоординовано і направлено на забезпечення максимального задоволення споживача.

1.9 Розрахунки, які підтверджують економічну доцільність нової розробки

Розрахуємо капітальні вкладення та експлуатаційні витрати спрощеними способами. Собівартість розробки розрахуємо методом питомої ваги. Цей метод застосовується тоді, коли є можливість розрахувати одну з прямих витрат і встановити питому вагу даної статті в собівартості аналога.

Собівартість одиниці нової продукції можна спрогнозувати за формулою:

$$S = \frac{B_n \cdot K_n \cdot 100\%}{\Pi\%}, \quad (1.1)$$

де B_n – величина певної статті прямих витрат для нової розробки. За основу оберемо витрати на комплектуючі. Для нової розробки витрати на комплектуючі складають $B_2 = 1233,54$ грн.

Π – питома вага витрат на комплектуючі в собівартості аналога, яка складає: $\Pi = 80\%$;

K_H – коефіцієнт, який враховує конструктивні та технологічні особливості нової розробки, $K_H = 1$.

Розрахуємо собівартість:

$$S_2 = \frac{1233,54 \cdot 1 \cdot 100}{80} = 1541,92 \text{ (грн.)},$$

Розрахуємо величину капітальних вкладень:

$$K = B \cdot A \cdot S, \quad [\text{грн.}] \quad (1.2)$$

де B – коефіцієнт, який враховує витрати на розробку, придбання транспортування, монтаж, налагодження.

A – коефіцієнт, який враховує прогнозований прибуток та податки, які повинен сплачувати виробник, $A=1,56$.

S – собівартість. Для аналога $S_1 = 1602,56$ грн., для нової розробки $S_2 = 1541,92$ грн.

K_1, K_2 – величини капітальних вкладень для аналога та нової розробки, відповідно.

$$K_1 = 2,1 \cdot 1,56 \cdot 1602,56 = 5250 \text{ (грн.)},$$

$$K_2 = 2 \cdot 1,56 \cdot 1541,92 = 4810,8 \text{ (грн.)}.$$

Величину експлуатаційних витрат для аналога та нової розробки можна розрахувати за формулою:

$$E = k \cdot A \cdot S \cdot \beta, \text{ [грн.]} \quad (1.3)$$

де k - коефіцієнт, який враховує витрати на амортизацію, електроенергію, обслуговування, ремонт, $k = 0,8$.

A - коефіцієнт, який враховує прогнозований прибуток, податки, які повинен виплачувати виробник тощо; $A \approx 1,56$;

β - доля часу, який витрачає працівник на обслуговування нової технічної розробки в загальному часі своєї роботи.

$$E_1 = 0,8 \cdot 1,56 \cdot 1602,56 \cdot 0,19 = 380 \text{ (грн./рік)},$$

$$E_2 = 0,7 \cdot 1,56 \cdot 1541,92 \cdot 0,19 = 319,9 \text{ (грн./рік)}.$$

Виходячи із вище наведених розрахунків економічної доцільності зробимо порівняльний аналіз. Дані зведені до таблиці 1.2.

Таблиця 1.2 – Порівняльний аналіз нового приладу і аналога

Показники	Аналог	Нова розробка
Капітальні вкладення, грн	5250	4810,8
Експлуатаційні витрати, грн./ рік	380	319,9

Як видно з розрахунків $K1 > K2$, $E1 > E2$, тобто спостерігається абсолютний ефект на капітальних вкладеннях і на експлуатаційних витратах:

$$\Delta K = 5250 - 4810,8 = 439,2 \text{ (грн.)}$$

$$\Delta E = 380 - 319,9 = 60,1 \text{ (грн./рік)}.$$

На підставі викладеного можна стверджувати, що нова розробка не тільки забезпечує кращу якість (точність) і високу надійність з технічної точки зору,

а є економічнішою в порівнянні з аналогом і тому її розробка та впровадження є актуальними та доцільною.

1.10 Техніко-економічне обґрунтування вибору оптимального варіанта рішення основної задачі роботи – підвищення ефективності роботи промислового робота.

Задачею даного дипломного проекту є розробка захватного пристрою промислового робота для штампувальних операцій.

Необхідно, щоб розробка мала мінімальні розміри і була простою в користуванні.

Необхідно, щоб розробка мала мінімальні розміри і була простою в користуванні.

Нашу задачу можливо вирішити декількома способами.

Перший варіант рішення основної задачі – заснований на використанні захватного пристрою магнітного пристрою.

Другий варіант рішення – заснований на використанні захватного пристрою вакуумного типу.

Для забезпечення оптимального співвідношення капітальних та експлуатаційних витрат, розрахуємо величину капітальних вкладень та експлуатаційних витрат для першого та другого варіанту рішення поставленої задачі.

Для цього розрахуємо собівартість спрощеним способом.

Собівартість одиниці нової продукції можна розрахувати за формулою:

$$S = \frac{B_n \cdot K_H \cdot 100\%}{\Pi\%}, \text{ [грн.]} \quad (1.4)$$

де B_n – величина певної статті прямих витрат для нової розробки. За основу оберемо витрати на комплектуючі. $B_{n1}=1233,54$ грн., $B_{n2}=1250,00$ грн.

Π – питома вага витрат на комплектуючі в собівартості розробки;
 K_h – коефіцієнт, який враховує конструктивні та технологічні особливості нової розробки, $K_h=1$.

Розрахуємо собівартість для першого та другого варіанта рішення поставленої задачі:

$$S_1 = \frac{1233,54 \cdot 1 \cdot 100}{80} = 1541,92 \text{ (грн.)}$$

$$S_2 = \frac{1250 \cdot 1 \cdot 100}{80} = 1562,5 \text{ (грн.)}$$

Розрахуємо величину капітальних вкладень:

$$K = B \cdot A \cdot S, \quad [\text{грн.}] \quad (1.5)$$

де B – коефіцієнт, який враховує витрати на розробку, придбання транспортування, монтаж, налагодження.

A – коефіцієнт, який враховує прогнозований прибуток та податки, які повинен сплачувати виробник, $A = 1,56$

S – собівартість. Для першого варіанту $S_1 = 1541,92$ грн., для другого варіанту $S_2 = 1562,5$ грн.

Розрахуємо величину капітальних вкладень для кожного з варіантів.

$$K_1 = 2 \cdot 1,56 \cdot 1541,92 = 4810,8 \text{ (грн.)}$$

$$K_2 = 2,1 \cdot 1,56 \cdot 1562,5 = 5118,75 \text{ (грн.)}$$

Величину експлуатаційних витрат розраховуємо за формулою:

$$E = k \cdot A \cdot S \cdot \beta, \quad [\text{грн.}] \quad (1.6)$$

де k – коефіцієнт, який враховує витрати на амортизацію, електроенергію, обслуговування, ремонт.

A – коефіцієнт, який враховує прогнозований прибуток, податки, які повинен выплачувати виробник тощо; $A \approx 1,56$;

β – для часу, який витрачає працівник на обслуговування нової технічної розробки в загальному часі своєї роботи.

$$E_1 = 0,7 \cdot 1,56 \cdot 1541,92 \cdot 0,19 = 319,9 \text{ (грн./рік)},$$

$$E_2 = 0,8 \cdot 1,56 \cdot 1562,5 \cdot 0,19 = 370,5 \text{ (грн./рік)}.$$

Таблиця 1.3 – Порівняльний аналіз двох варіантів рішення поставленої задачі

Показники	Варіант 1	Варіант 2
Капітальні вкладення, грн..	4810,8	5118,75
Експлуатаційні витрати, грн./ рік	319,9	370,5

Як видно з розрахунків $K_2 > K_1$, $E_2 > E_1$, тобто спостерігається абсолютний ефект на капітальних вкладеннях і на експлуатаційних витратах при виборі першого варіанту:

$$K_{\text{еф}} = K_2 - K_1 = 5118,75 - 4810,8 = 307,95 \text{ (грн.)}$$

$$E_{\text{еф}} = E_2 - E_1 = 370,5 - 319,9 = 50,6 \text{ (грн./рік)}$$

З технічної точки зору кращим буде перший варіант, тому що, капітальні та експлуатаційні витрати на нього менші. При проведенні порівняльних економічних розрахунків для вибору оптимального варіанту, кращим з економічної точки зору також є перший варіант.

2 АНАЛІЗ ВІДОМИХ ТЕХНІЧНИХ РІШЕНЬ

2.1 Уніфіковані РТК холодного листового штампування

Сучасні промислові роботи (ПР) в холодно-штампувальному виробництві можуть працювати тільки в добре організованому середовищі. Поряд з технологічними заходами роль організатора середовища значою мірою виконують допоміжні пристрой, що забезпечують подачу заготовок в робочу зону робота в орієнтованому вигляді і подальшу їх передачу без втрати орієнтації, змащування заготовок перед штампуванням, видалення відходів, контроль пеебігу виробничого процесу та інші операції.

Узгоджену роботу всіх механізмів, що входять до складу комплексу, забезпечує його система керування. Таким чином, при створенні РТК доводиться розробляти і виготовляти різноманітне допоміжне технологічне обладнання, яке доповнює систему прес-робот до комплексу.

Цю проблему значою мірою можна вирішити шляхом створення уніфікованих РТК та їх елементів, які дозволяють комплектувати РТК в різних поєднаннях з урахуванням вимог технологічного процесу. Розробка такого обладнання дозволяє організувати його серійне виготовлення і централізовану поставку підприємствам-споживачам.

При створенні уніфікованого РТК необхідний облік усього різноманіття форм, розмірів і маси заготовок, оброблюваних на пресах.

Для скорочення обсягу технологічних і конструкторських робіт під час створення роботизованого обладнання, скорочення термінів його впровадження та збільшення надійності цілеспрямовано розробляти уніфіковані комплекси, оснащені всім необхідним допоміжним обладнанням.

Враховуючи зазначені умови, створено гамму уніфікованих РТК, які дають можливість автоматизувати процес штамповки деталей широкої номенклатури.

Кожен РТК є сукупність універсальних автоматичних пристрійв, з'єднаних між собою електричними зв'язками, які утворюють єдиний механізований комплекс, що дозволяє обробляти двохопераційні деталі, а також шляхом нарощування відповідних складових пристрійв – багатоопераційні деталі. Його можна трансформувати і на дві самостійні позиції (без додаткових пристрійв) для обробки одноопераційних деталей.

Для полегшення впровадження РТК низкою машинобудівних галузей організований серійний випуск комплектних уніфікованих РТК листового штампування. Основна номенклатура таких РТК наведена в роботі [3]. Технічні дані ПР, комплектуючи і комплекси, наведені в каталогі [4,5].

До складу комплексу РТК 2О6М, призначеного для одно- і двохопераціонного холодного штампування деталей з штучних заготовок, входять (рис. 2.1) роботи 3, моделі «Гном-32», подачі заготовок і знімання

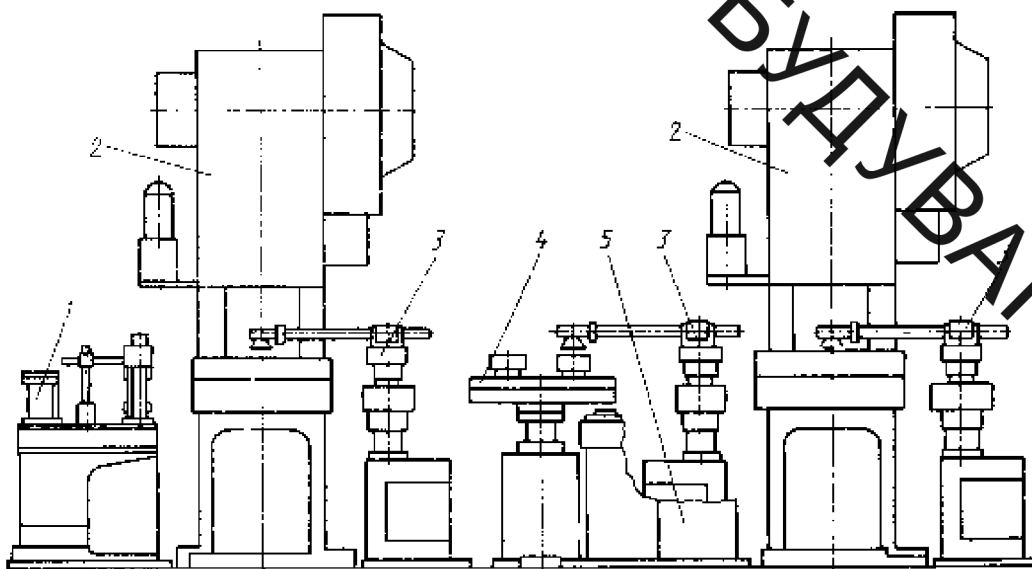


Рисунок 2.1. РТК для одно- і двохопераційного штампування на основі робота «Гном-32»

відштампованих деталей, маніпулятор 4 транспортний МТ-32, пристрій 1 завантажувальний ЗУ-200, пульт 5 керування комплексом, преси 2 кривошипні, зусиллям від 250 до 1000 кН. При компонуванні

ВНІТРІ
ЗЕРВЕ
МАШНОБУ
ВАННЯ

одноопераційних РТК зі складу комплексу вилучається транспортний маніпулятор.

Всі пристрой комплексу в будь-якому компонуванні забезпечують вільний доступ до вузлів і елементів настройки і наладки.

Модульний принцип побудови пристрой, що використовуються в цьому РТК, забезпечує їх вільне розташування за будь-яким з рекомендованих варіантів.

Роботи, що обслуговують пресове обладнання, зазвичай мають кілька рук, що дозволяє підвищити продуктивність штампувальних РТК. Наприклад, робот 4, обслуговуючи у складі РТК два консольних (одностоякових) преса 1, має три руки, захвати яких одночасно взаємодіють з заготовками в матрицях пресів 1 з магазині заготовок 2 (або в магазині деталей 3) (рис. 2.2 а).

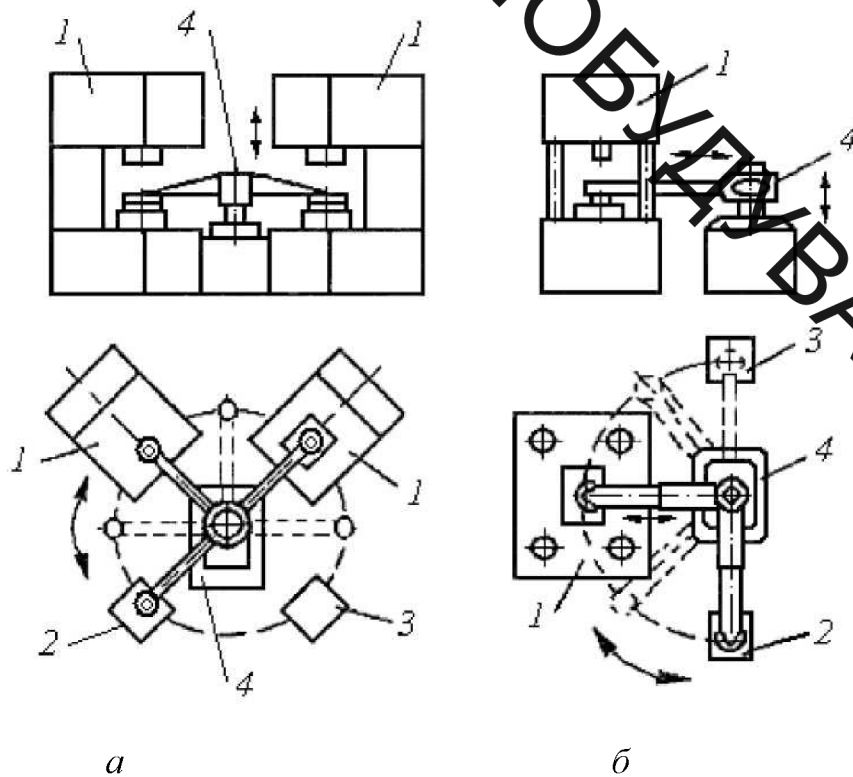


Рисунок 2.2 Схеми РТК для холодного листового штампування:

a - з двома консольними пресами і трируким ПР;

б - з одним двостояковим пресом і дворуким ПР

Оскільки консольний прес дозволяє вносити заготовку в робочу зону поворотом руки, остання має постійний виліт, що спрощує конструкцію робота. Проміжне положення рук ПР під кутом 45° (рис. 2.2 а, штриховий контур) відповідає за циклограмою робочому ходу пуансона преса.

Робот, обслуговуючий один двостійковий прес, має дві руки з радіальним ходом захоплень, оскільки конструкція преса не дозволяє вносити заготовку в робочу зону простим поворотом руки (рис. 2.2 б).

При обслуговуванні трьох пресів використовується чотирирукий робот з одною відкидною рукою (з метою входу в зону РТК наладчика) і однієї втяжною рукою (з метою обробки заготовок в двохпозиційних штампах). Радіальний хід захоплення на руці дозволяє перекладати заготовку з зовнішнього технологічного кола на внутрішнє.

Зовнішній вигляд двох РТК холодного штампування з обслуговуючим роботом показаний на рис. 2.3. РТК з одним пресом призначений для вирубки отворів у круглому сталевому листі (рис. 2.3, а). Обслуговуючий робот 2 забезпечений двома вакуумними захватами (на рис. 2.3, а вони не показані). Одним захватом ПР бере заготовку з магазину 4, а іншим – готову деталь з матриці преса 3 і укладає їх відповідно в матрицю 1 магазин 1. Представленний в цьому РТК робот є альтернативою дворукому ПР.

РТК з двома пресами виконує штампування деталей з листів сталі (рис. 2.3, б). Довгі сталеві листи, покладені в штабель 5, подаються по одному, завантажувальним пристроєм 6 під лівий захват робота 2, який встановлює лист на перший штамп 3. Після робочого ходу преса ПР переносить напівфабрикат на другий прес і одночасно правим захватом укладає готову деталь на відвідний конвеєр 7. Далі цикл повторюється.

Наведені приклади показують технічну та економічну доцільність використання промислових роботів в заготівельному виробництві, структура якого визначається організаційною формою технологічного процесу холодного листового штампування. Аналіз показує, що залежно від форми заготовки застосовується відповідний захватний пристрій. Для встановлення

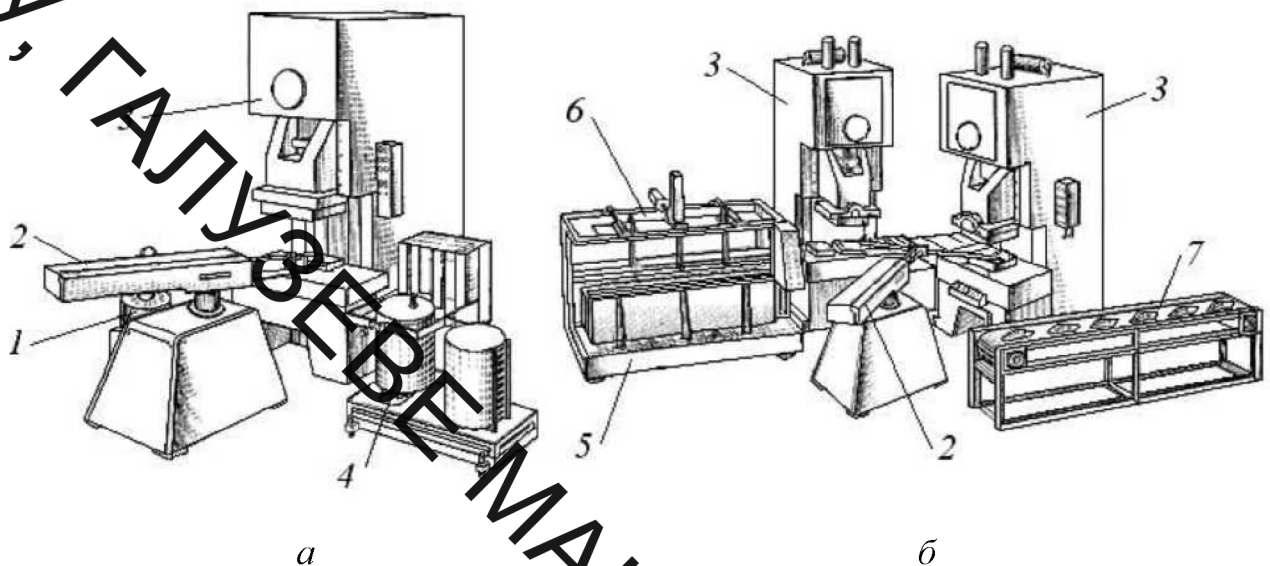


Рисунок 2.3 – Зовнішній вигляд ЕТК холодного штампування:

a – з одним пресом; *б* – з двома пресами. 1 – магазин; 2 – ПР; 3 – прес; 4 – магазин; 5 – штабель; 6 – завантажувальний пристрій; 7 – відвідний конвеєр

типу захватного пристрою та його конструктивних особливостей необхідно розглянути їх відомі технічні рішення.

2.2 Притягувальні захватні пристрої

Притягувальні захватні пристрої (ЗП) на відміну від затискних, як правило, не містять механічних передач та рухливих елементів. Найбільш поширеними в цій групі є магнітні і вакуумні ЗП.

Порівняльні характеристики вакуумних і електромагнітних ЗП наведено в табл. 2.1 [6].

2.3 Магнітні захватні пристрої

Магнітні захватні пристрої захоплюють і утримують об'єкти під дією магнітної сили, створюваної або постійними (рис. 2.4, *a*), або електричними

магнітами (рис. 2.4, б). Як випливає із самої назви, вони придатні виключно для захоплювання предметів, зроблених з магнітних матеріалів. У деяких випадках особливо при встановленні двигунів на металорізальних верстатах, доводиться враховувати залишкове намагнічування.

Таблиця 2.1 – Порівняльні характеристики електромагнітних та вакуумних ЗП

Електромагнітні ЗП	Вакуумні ЗП
Придатні тільки для намагнічувальних матеріалів	Придатні тільки для плоских і рівних поверхонь для всіх матеріалів
Можлива велика сила притягування на одиницю поверхні	Забезпечують обмежену силу тяжіння для даної площини
Висока точність базування завдяки жорсткості сердечника	Знижена точність базування через еластичності присосок
Супроводжує залишковий магнетизм, що викликає небезпеку забруднення та пошкодження поверхонь деталі і захватного пристрою	Необхідна відсутність частинок між присосками і поверхнею деталі
Швидкість захоплювання деталі	Потрібен деякий час для створення необхідного вакуума
Простота конструкції: котушки і сердечники можуть бути легко виготовлені споживачем	Конструкція складніша: необхідна герметичність з'єднань, потрібні присоски і трубопроводи
Котушки нагріваються, але конструкція довговічна	Термін роботи конструкції обмежений

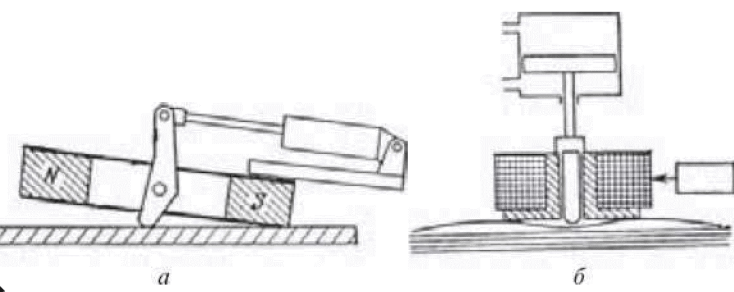


Рисунок 2.4 – Схеми магнітних ЗП:

ВНТУ, ГАЛУЗЕВИЙ НАЧІНОВНИК

а – ЗП з постійним магнітом і пристроєм для механічного роз'єднання деталей; б – ЗП з електромагнітом і силовим циліндром для забезпечення захоплення одного аркуша з пакету тонких заізних листів

ЗП з постійними магнітами надійні і не витрачають енергії, однак вимагають введення спеціального механізму для роз'єднання деталей (див. рис. 2.4, *а*). Їх недолік полягає в тому, що і в «неробочому» стані вони притягують також металеві тирсу і стружку. Тому часто використовуються електромагніти, простіші в експлуатації (при підведенні і відведенні електромагніта - див. рис. 2.4, *б*); крім того, виявляється можливим розмагнічування перенесених металевих предметів. Підйомна сила в електромагнітах виникає при подачі живлення на катушку електромагніта, при відключенні живлення предмет вивільняється.

Електромагнітні ЗП застосовують для захоплювання об'єктів маніпулювання (ОМ) різноманітної форми (рис. 2.5). Для оснащення ПР їх часто компонують з невеликих електромагнітів, що встановлюються на общий рамі. Такі пристрої зазвичай застосовують для перенесення фасонних, круглих, ребристих і гратчастих поверхонь, захопити які вакуумними ЗП важко або неможливо.

Важливою перевагою електромагнітних захватних пристройів є можливість дистанційного, через зазор, захоплювання ОМ: без щільного контакту ЗП і захоплюваного предмета. Електромагнітне захватне пристрій може брати предмети виробництва з навалу. Іноді можна допустити, щоб при

цьому захоплювалась ціле гроно ПП (наприклад, при завантаженні

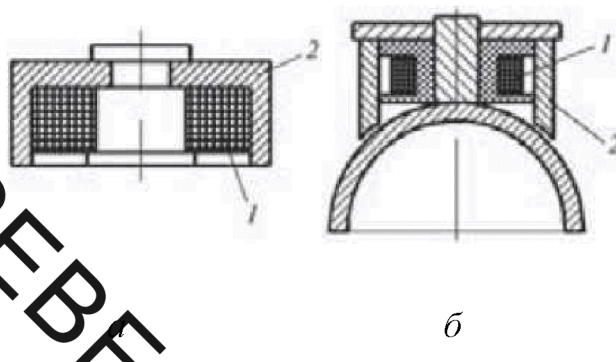


Рисунок 2.5 – Електромагнітні ЗП:

a – для плоских деталей, *b* – для циліндричних деталей:

1 – обмотка, 2 – корпус

вібробункера), але іноді необхідно вибрати один предмет; причому у випадку, коли він має форму тонкого диска, можливо злипання двох платівок, що вимагає використання додаткових роздільників (як, наприклад, на рис. 2.5, *b*). На рис. 2.6 показана одна з найбільш поширених конструкцій електромагнітного ЗП, що складається з корпусу 3 з електромагнітної присоски, всередині якого вміщено котушки магніту 2, захищені від пошкодження листом 1 з марганцовістосталі або латуні. Пристрій для кріплення утримуючих елементів містить корпус 4 ЗП з отворами, в які поміщені різьбові втулки 8 з поперечно висвердленими отворами, куди вставляють тримачі 6, несучі, електромагнітні присоски 7. До площини корпусу 4 тримачі 6 притискаються гвинтами 5, що проходять через втулки 8. Пересуваючи утримувачі в отворах втулок 8 і повертуючи їх на потрібні кути відносно корпусу 4, можна в широких межах змінювати відносне розташування захватних елементів.

Різновидом електромагнітних ЗП є захватні пристрої з елементами, які пристосовані до форми деталі. У ЗП, заповненому залізним порошком, фіксація деталі здійснюється за допомогою магнітних сил, що діють на цей порошок (рис. 2.7).

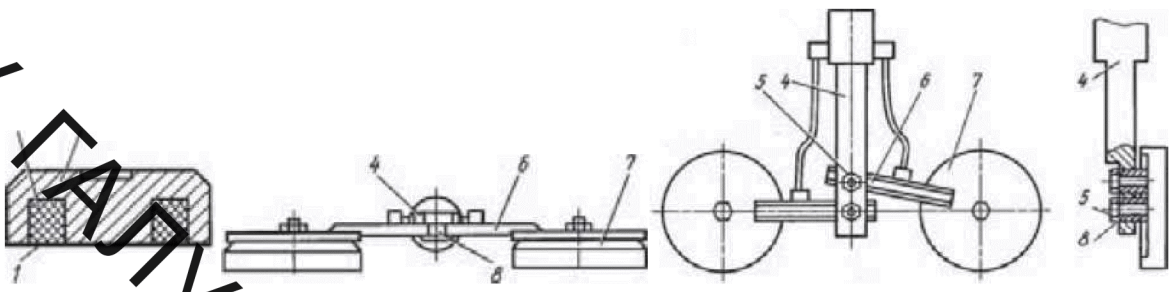


Рисунок 2.6 – Різновид конструкції та елементів електромагнітних захватних пристрій: 1 – лист; 2 – котушки магніту; 3 – корпус електромагнітного присмоктувача; 4 – корпус ЗП; 5 – гвинт; 6 – тrimач; 7 – електромагнітний присмоктувач; 8 – втулка

Магнітні захватні пристрої мають такі недоліки:

- матеріал ПП повинен бути феромагнітним;
- можливість налипання стружки і металевого пилу;
- після звільнення від ЗП на ПП мається залишковий магнетизм;
- несуча здатність ЗП сильно залежить від якості поверхні ПП і його форми;

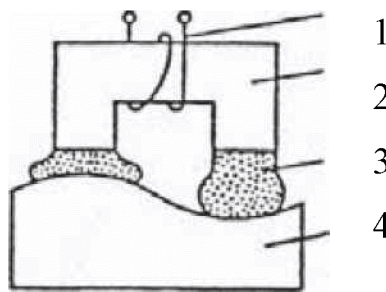


Рисунок 2.7 – Електромагнітне ЗП, адаптується до форми захоплюваного об'єкта

2.4 Вакуумні захватні пристрой

ВНІТУ

Вакуумні захватні пристрої позбавлені перелічених вище недоліків, мають невеликі розміри і не забруднюють навколошне середовище. У них підйомну силу створює необхідний рівень розрідження на поверхні контакту ЗП з об'єктом маніпулювання. Робочим елементом такого пристрою є вакуумна камера (присоска), що створює при накладенні на предмет виробництва (ПП) замкнуту порожнину, з якої відкачується або витісняється повітря, що забезпечує підйомну силу, пропорційну площі захоплювання. Присоски виготовляють з гуми або пластику. Вибір матеріалу для виготовлення присосок залежить від умов, за яких вони будуть працювати, в першу чергу – від температури і чистоти в робочому середовищі масла або хімічних реагентів.

Вакуумні захватні пристрої знаходять широке застосування в техніці, так як можуть захоплювати ПП з немагнітних матеріалів, володіють меншою масою і габаритами в порівнянні з механічними і електромагнітними захватними пристроями однакової вантажопідйомності, великим діапазоном мас захоплюваних виробів. Залежно від конструкції вакуумної камери і методів створення вакуума захватні пристрої бувають пасивні та активні.

Пасивними вакуумними ЗП (ГОСТ 26063-84) називають пристрої, в яких розрідження повітря в зоні контакту з ПП створюється за рахунок витіснення повітря при деформуванні пружного робочого елементу. В якості пружного робочого елементу використовується еластичний корпус самого загарбного пристрої, мембрana або сильфон. Найпростіші вакуумні ЗП забезпечують утворення вакуума за рахунок разового витіснення повітря з порожнини присоски притисненням її до поверхні деталі. У цьому випадку при притисненні пасивної присоски до гладкої поверхні предмета виробництва 5 пружна спідниця 2 присоски деформується і повітря витісняється з робочої порожнини 1 присоски, створюючи розрідження (рис. 2.8, а). Хвостовик такої присоски запресовується в металевий стакан 3, до якого кріплять тримачі ЗП. В іншій конструкції розрідження в порожнині 1 пасивних вакуумних присосок може також створюватися за рахунок ходу

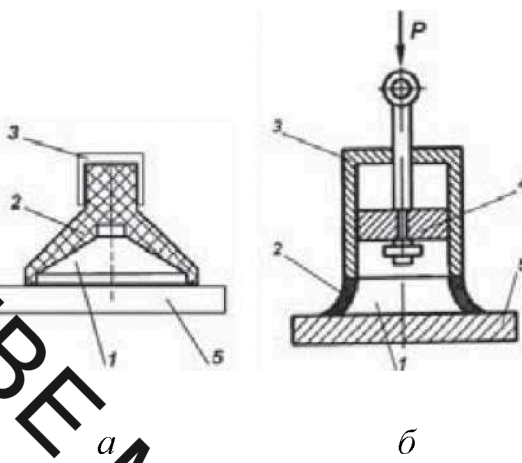


Рисунок 2.8 – Пасивні вакуумні присоски з корпусом з еластичного матеріалу (а), деформується при притисненні присоски до поверхні предмета виробництва (ПП), із поршневий камерою (б):

1 – внутрішня порожнина присоски (поршневий камери), 2 – еластична присоска (спідниця); 3 – склянка; 4 – поршень, 5 – ПП; Р – зусилля поршня

поршня 4, витісняє при ході вниз повітря з-під пружної спідниці 2 присоски (рис.2.8, б).

Залежно від характеру роботи ці присмоктувачі можуть бути суцільними еластичними (утримання деталі забезпечується вакуумом, створеним за рахунок однієї тільки пружною деформації присоски) або забезпечуватися різними замикаючими пристроями: кульковими, пружинними, електромагнітними або ін.

2.5 Замикаючі пристрої

При використанні замикаючих пристройів досягається надійне витіснення повітря, в той час як у звичайній суцільному присмоктувачі повітря витісняється через поверхню контакту з деталлю (заготівлею), що пов'язане із збільшенням зусилля притиснення присмоктувача із неповним

вітісненням повітря.

Крім того, присмоктувачі з замикаючими пристроями (клапанами) дозволяють застосовувати значно менший (порівняно з найпростішими безклапанними) об'єм присмоктувача, що важливо для збільшення тривалості утримання виробів (особливо з шорсткими поверхнями). Звільнення виробів від присмоктувача проводиться випуском повітря в дзвін (під спідницю присоски) через клапан або відливом вироби, якщо об'єкт маніпулювання має невеликі розміри і масу.

У ЗП з кульковим замикаючим пристроєм один клапан може бути встановлений на загальному трубопроводі для групи присосок. За рахунок початкового розрідження, створюваного в трубопроводі, підведеному до насоса, кулька піднімається і продовжує перебувати в підвішеному стані під дією порівняно слабкого потоку відкачуваного повітря. Якщо присоска не стикається з поверхнею ПП, то при відкачці виникають сильні потоки повітря, підтискають кульку до верхнього сідла; в цьому положенні кулька утримується атмосферним тиском. Після контакту присоски з поверхнею ПП в дзвоні створюється вакуум і кулька опускається в нижнє лізло патрубка, забезпечуючи замикання порожнини присоски (рис. 2.9). Кулькові замикаючі клапани можуть встановлюватися на патрубках, що ведуть до кожної присосці, або на загальному патрубку, з'єднаному з кількома присосками (рис. 2.9, а, б). В останньому випадку, якщо одна з присосок не справила захоплення, кулька під дією втягування повітря піднімається і присмоктується до верхнього сідла. Якщо не використовувати замикаючі клапани, то при неспрацьованні однієї або декількох присосок інші присоски також не спрацюють. Недоліком ЗП з кульковими замикаючими клапанами є те, що необхідне розрідження досягається поступово, і тому кульки піднімаються не одночасно. Для усунення цього недоліку може бути використано пружинне замикає пристрій, яке зазвичай вбудовується в корпус підвіски присоски (рис. 2.9, в).

Пасивні вакуумні захватні пристрої набули поширення завдяки простоті конструктивного виконання, відсутності вакуумних насосів і розподільної апаратури. Проте утримання ними вантажу обмежена часом збереження робочого вакуума, через що вони застосовуються, в основному, для транспортування повітронепроникних предметів, що мають гладку поверхню і невелику масу.

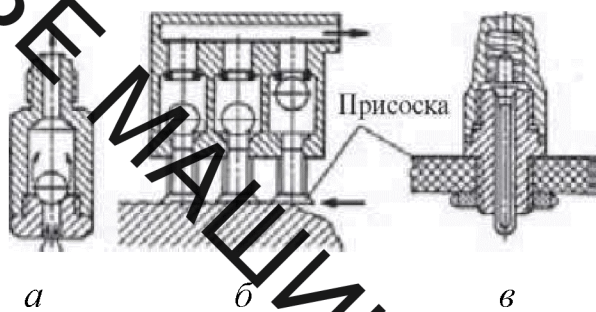


Рисунок 2.9 – Замикаючі клапани пневматичних захватних пристрой: а – кульковий клапан для роботи з однєю пневмоприсоскою або їх групою; б – група кулькових клапанів для роботи з декількома пневмоприсосками; в – пружинний клапан

Активними вакуумними ЗП (ГОСТ 26063-84) називають пристрой, в яких розрідження повітря в зоні контакту з ПП створюється примусово, наприклад вакуумним або поршневим насосом, а також ежектором – простою

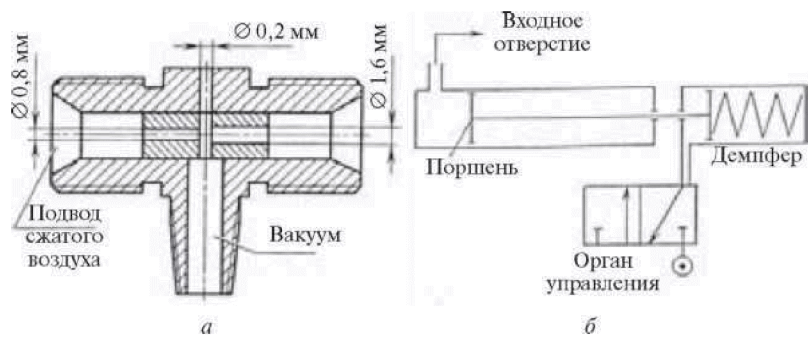


Рисунок 2.10 – Засоби створення розрідження у вакуумних присосках:

a – ежектор; *b* – поршневий насос

і надійного системою, але витрачається велика кількість стисненого повітря, що надходить із заводської мережі.

Способ створення вакуума за рахунок ежекції (рис. 2.10, *a*) при закінченні струменя повітря з сопла в насадку поширений ширше, ніж спосіб, реалізований застосуванням замикаючих пристрій (клапанів), описаний вище. Основа ежектора – трійник, в який вклеєні або упаяно пробки з отворами малого діаметру. Дуже важливо, щоб осі сопла і насадки були розташовані в одній площині (співсні, перпендикулярні і т.п.), а поверхні їх внутрішніх конусних отворів мали б дуже маленьку шорсткість. Оптимальний режим роботи досягається підбором відповідних сопел і насадок і регулюванням відстані між ними. Ежектор доцільно використовувати в конструкціях невеликої вантажопідйомності. Стійкість розрідження залежить від стабільності робочого тиску стисненого повітря в системі. До недоліку даного способу отримання вакуума слід віднести значний витрату стисненого повітря і шум при проходженні повітря через насадку. Крім того, шланг для з'єднання з магістраллю знижує маневреність ЗП.

Способ створення вакуума за допомогою автономного форвакум-насоса найбільш дорогою. Багато вакуумні насоси дають розрідження більше 90%. Більша розрідження призводить до збільшення швидкодії в порівнянні з ежекторами, що особливо важливо для вакуумних ЗП при роботі з ковальсько-пресовим обладнанням. В особливо важливих випадках, наприклад при транспортуванні листового скла, додатково до основного вакуум-насоса встановлюють аварійний, який автоматично підключається, якщо тиск в ресівері зростає.

Активні вакуумні ЗП простої дії. На рисунку 2.11 показані різні конструкції вакуумних присосок: з гофрованої гуми (рис. 2.11, *a*), що дозволяє захоплювати об'єкти з похилою верхньою поверхнею; з

ВНІТРІШНІ

підпружиненим корпусом (рис. 2.11, б), що дозволяє при груповому використанні захоплювати деталі з плоскою ступінчастою поверхнею; з кульовою опорою, яка дозволяє закріплювати присосок до патрубка в будь-якому положенні (рис. 2.11, в).

Застосуються як стандартні присоски (див. рис. 2.11), так і видозмінені відповідно до розмірів предмета. При цьому внутрішній поверхні присоски надається зовнішня форма предмета [7], що забезпечує краще взаємне розташування поверхонь для захоплювання (рис. 2.12).

Адаптивний багатопозиційний вакуумний захватний пристрій (розробка Hewlett - Packard Laboratories and Rensselaer Polytechnic Institute, США [8]), оснащений вакуумними присосками з пружними штоками, до яких присоски кріпляться через кульові опори. Такі ЗП мають здатність пристосуватися до зовнішнього або внутрішнього контуру захоплюваного об'єкта. Присоски скомплектовано у пакети (головки), що забезпечують обслуговування певного робочого об'єму для захоплення ПП за зовнішньою або по внутрішній порожнині із ступінчастим розташуванням площин. Вони також дозволяють захоплювати об'єкти з розташуванням зонійних площин під кутом один до одного. При необхідності пакет може повернутися на деякий кут (за рахунок сферичної опори в руці робота і наявності зворотного зв'язку між ЗП і ПР, що подає сигнал до повороту кисті маніпулятора) для захоплення кутових матеріалів.

За видом контакту з предметом виробництва вакуумні ЗП можуть бути з ущільнюочим елементом, що забезпечує герметичність робочої зони, або без нього. Пасивні захватні пристрої завжди забезпечені елементами ущільнювачів. Активні вакуумні захватні пристрої можуть мати або не мати елементів ущільнювачів. Для роботи вакуумного захватного пристрою без елементу ущільнювача необхідно постійне видалення повітря з зазору між пристроєм і предметом виробництва. За наявності елементу ущільнювача необхідність у видаленні повітря відпадає, і при досягненні необхідного розрідження порожнину захватного пристрою може бути відключена від

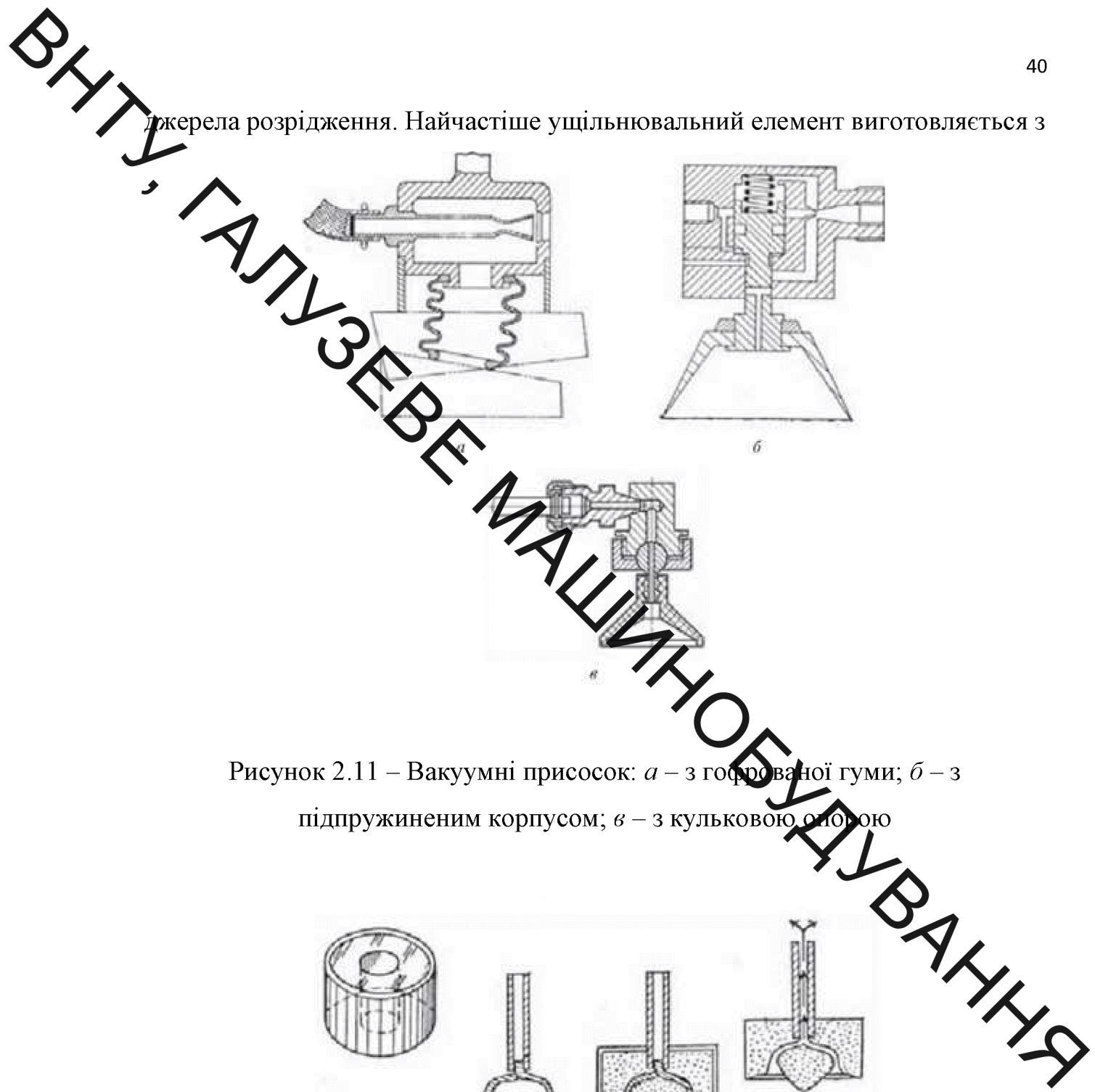


Рисунок 2.11 – Вакуумні присосок: *a* – з гофрованої гуми; *b* – з підпружиненим корпусом; *c* – з кульковою опорою

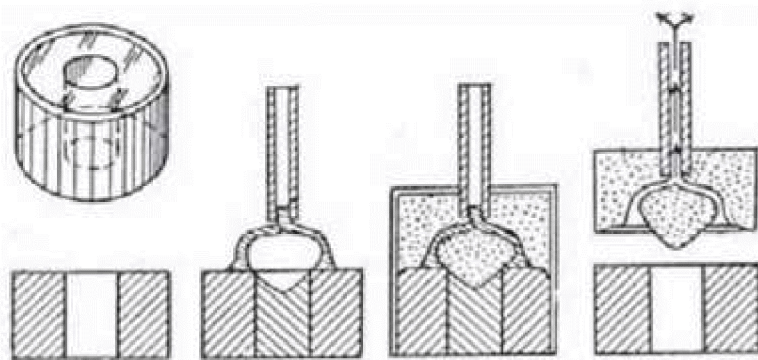


Рисунок 2.12 – Застосування вакуумних присосок для відливання деталей різної форми і їх підйому

гуми, стан якої значною мірою піддається впливу вологості, масла, температури, зносу. При роботі з предметами, що мають низьку чистоту поверхні $R_z > 40$, потрібні додаткові накладки з пористої гуми товщиною

ВНІТРІШНІ

15...30 мм, термін служби яких складає в середньому не більше трьох місяців. На виробах з шорсткістю поверхні $1 R_z > 320$ не вдається досягти повної герметизації вакуумної камери. Ущільнені елементи з пористої гуми схильні до деформації і стискаються на 2/3 початкової величини, що знижує точність позиціонування ПП. Пружність елементів ущільнювачів призводить до того, що при захоплені і наступному маніпулюванні предметом виникають його коливання. Обазважкою умовою роботи розглянутих вакуумних захватних пристрій є відсутність засміченості поверхні захоплювання ПП, сторонніх речовин і забруднення (сміття, залишки води, каміння). Потрібно центрування захоплюваного предмета щодо ЗП. При зсувлі ПП вакуумна камера пристрою не повністю Переїривається поверхнею захоплюваного предмета, що не дозволяє отримати в державині вакуумної камери рівень необхідного розрідження.

Струменеві захватні пристрої також відносяться до активних вакуумним ЗП. Автоматичне завантаження предметів малої маси доцільно виконувати струменевими ЗП, які забезпечують високу продуктивність, економічність, невеликі витрати стисненого повітря, а їх виготовлення не вимагає великих витрат. Принцип дії струменевих ЗП заснований на використанні аеродинамічного взаємодії струменя повітря, який поступає з отвору (діаметром 0,5...2,0 мм), з плоскою, циліндричною або кульовою поверхнею. Підйомна сила має дві складові. Одна виникає внаслідок ежекції, коли в центральній частині захватного пристрої утворюється розрідження, друга – через безпосередній контакт між струменем стисненого повітря і поверхнею предмета виробництва. В результаті силовий вплив повітряного потоку на тверде тіло обумовлено сумою реактивної сили, присмоктуальної дії струменя і сил в'язкісного тертя.

На рис. 2.13 показані струменеві ЗП, які містять сопло з плоским торцем, що сполучається з мережею стисненого повітря. Предмет виробництва 1, що має розвинену обтічну поверхню, підведений до торця 2 сопла 3 на певну відстань z (блізько 5 мм), піддається присмоктувальній дії,

яка зростає в міру зменшення цієї відстані до деякого критичного значення зазору $Z_K = (0,5 \pm 0,25)$ мм, через який повітря виходить в атмосферу. При цьому можливе безконтактне захоплення ПП (рис. 2.13, *a*), коли він ніби висить під повітряною подушкою, що не допускає його пошкоджень і забруднення. У разі контактного захоплювання ПП в ЗУ встановлюють упорні елементи *4* (рис. 2.13, *б*), що контактують з поверхнею захоплюваного предмета.



Рисунок 2.13 – Вакуумні струменеві ЗП: *а* – з безконтактним захоплюванням предмета виробництва, *б* – з контактним захоплюванням предмета виробництва; 1 – предмет виробництва, 2 – торець ЗП; 3 – сопло; 4 – упорні елементи

Недоліком струменевих ЗП є невелика вантажопідйомальності (обчислюється грамами), вони чутливі до якості обробки поверхні предмета. При параметрах шорсткості $R_z > 20$, коли висота мікронерівностей стає сумірною з висотою зазору Z_K , вони неефективні, що викликано зрывними течіями потоку повітря.

Відомі також активні вакуумні захватні пристрої, що називають вихровими, в яких підйомна сила створюється за рахунок розрідження в центрі повітряного вихору. Принцип дії вихрових захватних пристрій заснований на тому, що в приосевій області захватного пристрію всередині ізольованого вихрового повітряного потоку утворюється зона розрідження,

ВНІТРІ

до якої залучаються тіла різної форми під дією сили радіальної тяги.

Вихрові ЗП мають такі переваги: простота конструктивного виконання, висока ремонтоздатність і надійність функціонування, довговічність; висока швидкодія, не вимогливі до фізичних властивостей захоплюваних предметів і точної орієнтації їх при захопленні; можуть забезпечувати безконтактне захоплення ПП, що зсуває можливість пошкодження предмета; малі габарити і маса; можливість роботи із забрудненими поверхнями ПП; незначний вплив шорсткості поверхні захоплювання.

За способом вихреутворення вихрові захватні пристрої слід розділяти на пристрої з пневматичним, механічним і з пневмомеханічний вихреутворенням.

Пневматичне вихреутворення відбувається в порожній вакуумної камери (рис. 2.14), званої вихровий камераю 1 (ВК), до якої подається стиснене повітря через одне або більше тангенціальні отвори 2. У камері створюється розрідження, яке притягує предмет виробництва 3.

При механічному вихреутворенні (рис. 2.15) в порожній вихровий камери 1 встановлюються крильчатки 2 з різними приводами 3. Обертанням крильчатки створюється ізольований вихровий потік, всередині якого в радіальному напрямі створюється область зниженого тиску, що сприяє захопленню предмета виробництва 4.

У захватних пристроях з пневмомеханічний вихреобразовані збільшення швидкості вихрового потоку, утвореного тангенціальною подачею повітря в вихреву камеру, забезпечується обертанням сопел вихровий камери, стінок її або встановленого в порожнину камери ротора з ребрами.

Пневмомеханічний вихровий захватне пристрій (ПВЗП) з обертовими соплами вихровий камери (рис. 2.16) дозволяє збільшити тангенціальну швидкість вихрового потоку по всій довжині вихровий камери, що дає можливість отримати високу ступінь розрідження в приосевої зоні захватного пристрою та забезпечити збільшення вантажопідйомності. У

конструкції ПВЗП здійснюється попереднє центрування предмета виробництва (кільця ущільнювача) 16 за допомогою впливу на нього вихрового потоку з наступним його захоплюванням.

Особливістю цього пристрою є зниження ступеня дроселювання вихрового потоку в комутаційному кільцевому каналі за рахунок додаткового обертання однієї зі стінок вихрової камери. Така властивість дозволяє зберегти максимальну швидкість вихрового повітряного потоку і забезпечити надійне центрування, захоплення і утримання предметів з МПЗ.

Стиснене повітря через канал 1 надходить у кільцеву камеру нагнітання 10, розташовану між зовнішнім і внутрішнім корпусами ЗП (2 і 3). Далі, через тангенціальні канали 13 повітря потрапляє в кільцеву вихреву камеру 12 і, вдаряючись об зовнішні стінки цієї вихрової камери, розкручується в ній, утворюючи обертовий струмінь стисненого повітря. За рахунок тертя цього струменя про зовнішню циліндричну поверхню орієнтує втулки 4 забезпечується її обертання навколо центральної осі. Орієнтується втулка торцями і спирається на кулькові опори кочення 5 і 14. При цьому в кільцевому каналі 15 формується спрямований вихровий потік, захоплюючий предмети виробництва 16. При захоплюванні кільця ущільнювача торoidalної форми формується зусилля захоплювання, прикладене до предмета 16,

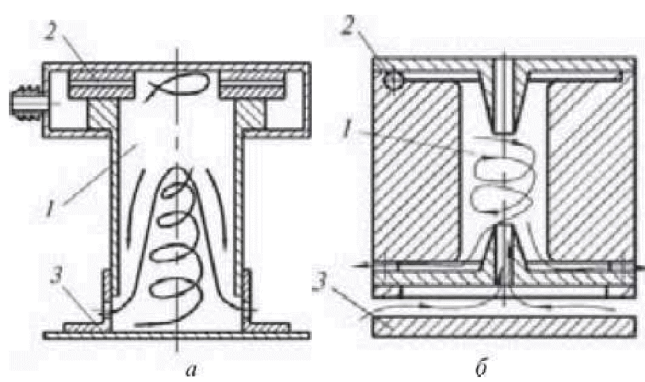


Рисунок 2.14 – Вихрові захватні пристрої з пневматичним вихреутворення: а, б – конструктивні виконання; 1 – вихрова камера,

ВНІТУ,
ЗЕРНОБУДУВАННЯ

– тангенціальні канали подачі стисненого повітря; 3 – предмет виробництва спримоване на суміщення осей захоплюваного ПП і захватного пристрою, тим самим також реалізуючи новий вид осьового захоплювання.

Одночасно з подачею потоку стисненого повітря в кільцеву камеру нагнітання 10 стиснене повітря за допомогою живильного каналу 8 подається в додаткову камеру нагнітання 9, розташовану всередині склянки 7 і далі за допомогою сопел 11 потік стисненого повітря потрапляє з високою швидкістю в кільцевий канал 15 і через отвори б виходить в атмосферу. У силу нерозривності повітряного середовища за рахунок загарбання повітря з нижньої частини кільцевого каналу 15 струменями повітря, стікаючи з сопел 11, у нижній частині цього кільцевого каналу створюється додаткова величина розріження, що забезпечує збільшення зусилля захоплювання.

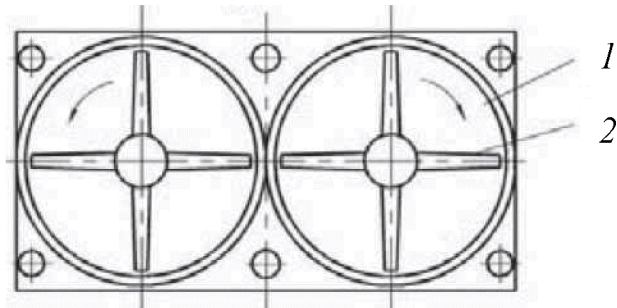
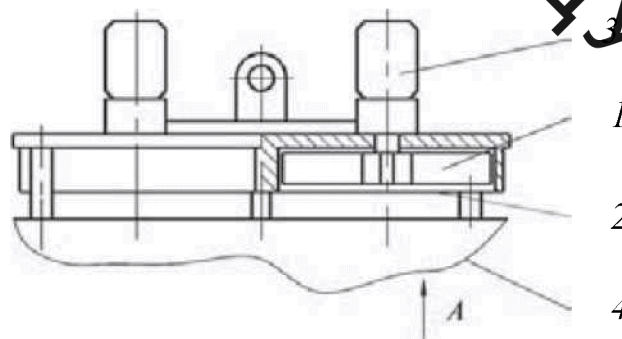
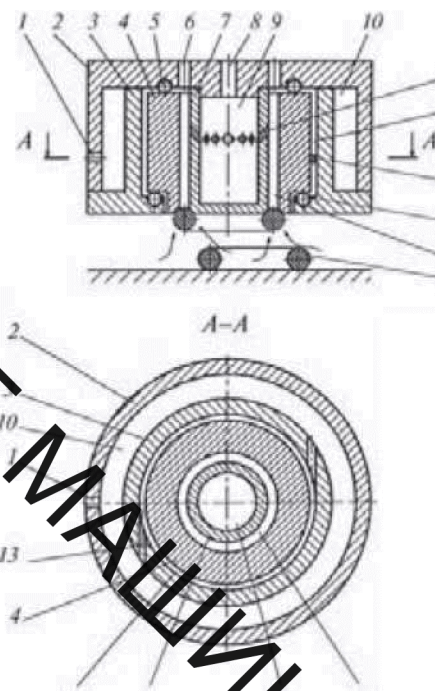


Рисунок 2.15 – Вихрові захватні пристрої з механічним вихреобразование:

1 – вихрова камера, 2 – крильчатка, 3 – привід; 4 – предмет виробництва



1 – канал подачі стисненого повітря; 2 – зовнішній корпус, 3 – внутрішній корпус, 4 – орієнтує втулка; 5, 14 – кулькові опори кочення; 6 – вихідні отвори; 7 – склянка; 8 – живильний канал; 9, 10 – камери нагнітання; 11 – сопла; 12 – вихрова камера; 13 – тангенціальні канали; 15 – кільцевий канал; 16 – предмет виробництва (кільце ущільнювача)

Рисунок 2.16 – ПВЗП з кільцевими вихровими камерами

При розбіжності осей вакуумного захватного пристрою та захоплюваного ПП під дією зусилля, спрямованого на суміщення осей захоплюваного предмета 16 і захватного пристрою, а також за рахунок додаткового розрідження повітря в нижній частині кільцевого каналу 15 відбувається захоплення. На розрідження в центральній області ВК впливає величина максимальної тангенціальної складової швидкості K_t потоку, чим вона більше, тим більше розрідження в центрі вихору, але потім бажано, щоб тангенціальна складова K_t була б якомога меншою, тобто після виходу повітря з ВК необхідно звести K_t до нуля. Зменшення відстані між ПП і

захватним пристроєм сприяє зменшенню швидкості зміни розрідження при видаленні від центру, що дозволить збільшити область дії негативних тисків. Цього можна домогтися, якщо замість диска на торцевій поверхні корпусу виконати пази особливої форми, що сприяє перетворенню закрученого потоку в прямоточний.

Підвищення вантажопідйомності пневмовихревих ЗП можна домогтися збільшенням всіх трьох складових швидкості потоку стисненого повітря на виході з вихрової камери. В описаній вище конструкції ПВЗП збільшувалася тангенціальна складова швидкості потоку стисненого повітря за рахунок обертання ВК, що дозволяє знизити втрати енергії у в'язкому шарі (втрати на тертя повітряного потоку об стінки ВК). Однак у повітряному потоці крім втрат на тертя об стінки камери існують інші види втрат.

Частка втрат на тертя об стінки ВК становить 6 ... 28%. Таким чином, видно, що втрати на тертя становлять невелику частку всіх втрат енергії в вихровий камері. Основна частина розсіюваної енергії припадає на турбулентну і в'язку дисипацію в ядрі потоку, що призводить до зменшення всіх складових швидкості вихрового потоку і, як наслідок, до падіння розрідження на осі ВК і зниження вантажопідйомності ПВЗП подібного типу.

ВНТУ

3 АНАЛІЗ ОСОБЛИВОСТЕЙ РОЗРАХУНКУ РІЗНИХ ВИДІВ ВАКУУМНИХ ЗАХОПЛЮВАЛЬНИХ ПРИСТРОЇВ

Вакуумні захоплювальні пристрої утримують ОМ за рахунок вакуумного притягування, що виникає внаслідок утворення зниженого тиску на певній ділянці виробу. Основна деталь ЗП - вакуумна порожнина або присмоктувач, який при накладанні на ОМ утворює між його поверхнею і своїми стінками замкнутий простір - камеру. При створенні розрідження в цій камері на площині, яка обмежена стінками присмоктувача, можна отримати позитивну різницю тисків, добуток якої на площину дії створює силу, що дозволяє захоплювальному пристрою утримувати виріб. Величину утримувальної сили P для різних конструкцій вакуумних ЗП визначають по-різному і подають у формулу (3.1) або залежно від виразів, що наведені в табл. 3.1 [9].

Необхідне статичне протягування у вакуумних і магнітних ЗП визначаються з умови утримання ОМ при дії на нього різних сил в процесі захоплення і транспортування (рис.3.1).

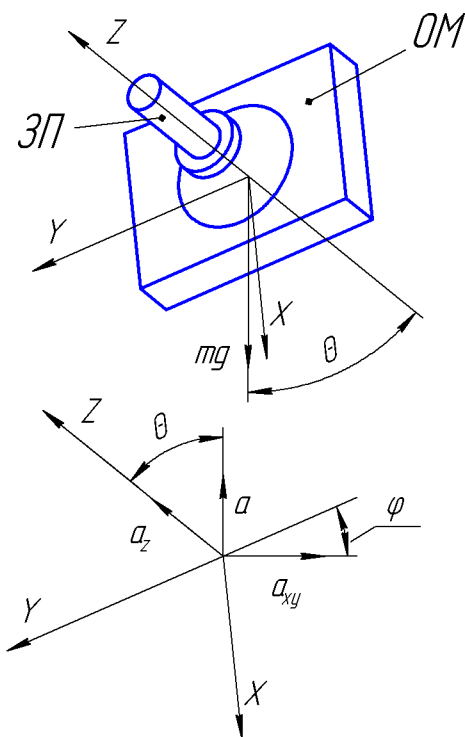


Рисунок 3.1 – Схема для визначення умов утримання ОМ притягувальним ЗП.

$$\left\{ \begin{array}{l} \mu[F_{ct}(Mk_z k_1)^{-1} - g \cos\theta_0 + a \cos\theta] \geq g \sin\varphi_0 \sin\theta_0 + a \sin\varphi \sin\theta; \\ \mu[F_{ct}(Mk_z k_1)^{-1} - g \cos\theta_0 + a \cos\theta] \geq g \cos\varphi_0 \sin\theta_0 + a \cos\varphi \sin\theta, \end{array} \right. \quad (3.1)$$

де F_{ct} – статична сила притягування ОМ, Н;

μ – коефіцієнт тертя між поверхнями ОМ і ЗП (для металевих ЗП і сталевих ОМ

$\mu = 0,17$; для гумових манжет сталевих ОМ $\mu = 0,3$);

g – прискорення вільного падіння, м/с²;

a – прискорення ЗП, м/с²;

θ_0 – кут між вектором g і віссю, співпадаючою з віссю ЗП;

φ_0 – кут між проекцією вектора g на площину перпендикулярну до осі Z і віссю Y;

k_z, k_1 – коефіцієнти запасу і врахування зміщення точки прикладання

підіймальної сили і центру ваги ОМ (для колових ЗП $k_1 = \frac{r}{r + \Delta x}$, де r – середній радіус ущільнюючої поверхні пневмопрісмоктувача, Δx – відносне зміщення ЗП і центру ваги ОМ).

Після спрощення граничних умов, пов’язаних із розташуванням ЗП і ОМ у просторі, отримуємо і більш прості залежності для визначення F_{ct} (табл. 3.1).

3.1.1 Пасивні вакуумні прісмоктувачі

Пасивні прісмоктувачі забезпечують утворення вакууму за рахунок витіснення повітря з порожнини прісмоктувача притисненням його до поверхні деталі. Залежно від характеру роботи ці прісмоктувачі можуть бути суцільними еластичними (утримання деталі забезпечується вакуумом, створеним за рахунок однієї тільки пружної деформації прісмоктувача) або улаштованими різними запірними пристроями: кульковими, пружинними, електромагнітними тощо.

Утримувальне зусилля, що розвивається вакуумним ЗП, розраховують за

ВИТЯГУВАЛЬНИКИ
формулою

Таблиця 3.1 – Формули для перевірки умов утримання ОМ вакуумними ЗП

Розрахункова схема	Розрахункова формула
<p>1</p>	<p>2</p> $\varphi = \varphi_0 = 90^\circ$ $\mu \left(\frac{F}{mk_z k_1} - g \cos \theta_0 + a \cos \theta \right) \geq (g \sin \theta_0 + a \sin \theta)$
	$\varphi = \varphi_0 = 90^\circ; \theta_0 = \theta$ $\mu \left(\frac{F}{mk_z k_1} - g + a \cos \theta \right) \geq a \sin \theta$
	$\varphi = \varphi_0 = 90^\circ; \theta_0 = \theta = 90^\circ$ $\frac{F}{mk_z k_1} \geq g + a$
	$\varphi = \varphi_0 = 90^\circ; \theta_0 = 90^\circ$ $\mu \left(\frac{F}{mk_z k_1} - g + a \cos \theta \right) \geq a \sin \theta$

$$F_y = SK_y(p_a K_a - p_b)K_{\Pi} , \quad (3.2)$$

де S – геометрична площа проекції присмоктувача, що обмежена внутрішнім контуром; K_y – коефіцієнт зменшення площини присоски внаслідок її деформації. На практиці [10] для присмоктувачів з пористої (губчастої) гуми при площині, яка рівна $0,2...0,4\text{m}^2$, можна прийняти $K_y = 0,95...1,0$; p_a , p_b – відповідно атмосферний і залишковий тиск усередині камери; K_a - коефіцієнт, що враховує зміну атмосферного тиску в порівнянні з нормальним $p_a \approx 100$ кПа (для практичних розрахунків достатньо враховувати мінімальний атмосферний тиск – для середньої смуги частини України його приймають рівним 93 кПа (700 мм рт.ст.)). У цьому випадку можна приймати $K_a \approx 0,9$; K_{Π} – коефіцієнт збільшення сили вакуумного притягування в результаті струмені повітря, що просочується в щілину стику присмоктувача з поверхнею деталі (приймають рівним $1,1...1,05$). При цьому більше значення відноситься до присмоктувачів з відносно малою робочою площею ($0,05...0,1\text{m}^2$), а менше – присмоктувачам з робочою площею більше $0,1\text{m}^2$.

Якщо вакуумний захоплювальний пристрій розраховується не для захоплювання і перенесення конкретних деталей в конкретних умовах, то значення перерахованих вище коефіцієнтів приймають для найгірших умов роботи і їх можна замінити загальним коефіцієнтом фактичної сили вакуумного притягування $K_p = K_y K_a K_{\Pi} = 0,8...0,85$. Тоді

$$F = SK_p(p_a - p_b) , \quad (3.3)$$

де $K_p = 0,8...0,85$; $(p_a - p_b) = 0,03...0,035$ МПа.

3.1.2 Активні вакуумні захоплювальні пристрої

Активні вакуумні ЗП діють від вакуумних насосів (форвакуумних або

ВНІТРІННІ

поршневих), а також від ежекторних систем подачі стисненого повітря.

Активні ЗП із створенням вакууму автономним вакуумним насосом. Утримуєне зусилля розраховують за формулами (3.1) і (3.2), але величина p_b визначається ступенем розрідження, яке забезпечується насосом. Багато вакуумних насосів дають розрідження більше 90% і відповідно $(p_a - p_b) = 0,08...0,095 \text{ МПа}$.

Вантажопідйомність активного ЗП залежить від геометричних параметрів присмоктувача, їх числа і від величини розрідження повітря в ЗП $p_p = (p_a - p_b)$.

У процесі захоплення, підйому і переміщення деталі вантажопідйомність вакуумного ЗП не залишається постійною, а залежить від положення його в просторі та взаємодії сил, що утримують деталь, що прагнуть відірвати і зрушити її.

Умови утримання ОМ визначають, підставлючи значення сили F в залежність (3.1) або у формули табл. 3.1.

Часто необхідно розрахувати граничне значення нормальної сили N відриву вантажу від захоплюального пристрою та величину сили зрушення вантажу T . Ці сили залежать не тільки від активної площині присмоктувача і розрідження повітря в ньому, а й від питомого тиску (питомого тяжіння) присмоктувача, що забезпечує необхідну герметичність стику ЗП з поверхнею захопленої деталі. Між цими параметрами існує залежність

$$\xi = N/F_y = (F_y - S_k q)/(S p_o), \quad (3.4)$$

де ξ – коефіцієнт зниження вантажопідйомності ЗП; N – граничне значення сили відриву вантажу; F_y – сила утримання деталі, створювана ЗУ; q – мінімально-

необхідний питомий тиск на площині контакту S_k присоски з деталлю; S - площа присмоктувача; $p_o = (p_a - p_b)$ – розрідження повітря в ЗП.

Для круглих камер

$$\xi = 1 - 4 \left(\frac{B}{D} - \frac{B^2}{D^2} \right) \frac{q}{p_0}, \quad (3.5)$$

де B – ширина ущільнювального борту; D – діаметр присмоктувача.

При невеликій активній площині присмоктувала і грубій поверхні вантажу коефіцієнт ξ може наблизатися до нуля, і захоплювальний пристрій стає непрацездатним. При цьому мається на увазі, що теоретична вантажопідйомність ЗП – функція його діаметра, тобто $F = f(D)$.

Залежність q і ξ від діаметра присмоктувача показує переваги тих, які мають велику площину. Значення питомих тисків q залежать від якості поверхні вантажу, розмірів і матеріалу ущільнень та можуть бути встановлені експериментально. Наприклад, для виробів з гладкою поверхнею (скло, пластик) $q = 30...90$ кПа, а з грубою поверхнею (бетон, прокат з окалиною) $q = 300$ кПа і більше. Для типових умов роботи $\xi = 0,6...0,9$.

Для надійної роботи вакуумного захвата необхідні наступні умови [11]:

$$F_y = \frac{N}{\varepsilon} K_N = N + \frac{T}{\mu} K_T, \quad (3.6)$$

де K_N , K_T – відповідно коефіцієнти запасу сил відриву та зсуву переміщуваного вантажу.

Для вакуумного ЗП, не пов'язаного з особливими умовами роботи, з деяким допущенням у бік збільшення сили можна прийняти

$$F_y = \left(\frac{N}{\varepsilon} + \frac{T}{\mu} \right) K, \quad (3.7)$$

де $K_N = K_T = K = 2$.

При суміщені трьох рухів (підйому руки робота, повороту руки в горизонтальній площині і висунення руки) для розрахунку допустимої маси m переміщуваного вантажу можна скористатися залежністю

$$m \leq \frac{n\pi d^2(p_a - p_b)}{4K \left[1 + \frac{a_n}{g} + \frac{1}{\mu g} \sqrt{(\varepsilon r)^2 + (a_b + r\omega^2)^2} \right]}, \quad (3.8)$$

де d – діаметр вхідного отвору присмоктувача в перерізі; K – коефіцієнт надійності утримання ($K = 1,5\dots 2$); a_n – прискорення підйому заготовки; g – прискорення вільного падіння; r – відстань від осі обертання руки до центру заготовки ; ε – кутове прискорення руки робота; μ – коефіцієнт тертя; a_b – прискорення при висуненні руки; ω – кутова швидкість руки.

Площа присмоктувача і розрідження в них визначають з рівняння:

$$S = \frac{(\frac{\varepsilon + T}{\mu}) K}{(p_a - p_b) n K_p}, \quad (3.9)$$

де μ – коефіцієнт тертя на контактній поверхні ЗП і ПП; p_a – атмосферний тиск; p_b – тиск розрідження; n – число присмоктувачів в ЗП

3.1.3 Обладнання та параметри вакуумної системи

Робота вакуумних ЗП багато в чому залежить від правильності вибору обладнання і параметрів вакуумної системи. Тому необхідно визначити не тільки силу вакуумного протягування ЗП, але і деякі параметри пневмосистеми.

Швидкість створення вакуума в порожнині присмоктувача знаходять, використовуючи основні рівняння вакуумної техніки:

$$S_{ob} = \frac{S_n}{1 + S_n/U} = \frac{S_n U}{S_n + U}, \quad (3.10)$$

де S_{ob} – швидкість розрідження об'єкта; S_n – подача вакуумного насоса; U – пропускна здатність трубопроводу.

Звідки випливає, що при $U \geq S_n$, $S_{ob} \approx S_n$, а при $U \leq S_n$, $S_{ob} \approx S_n$.

Час відкачування t при $S_{ob} \approx U$ визначається за залежністю:

$$t = 2,3 \frac{V_c}{U} \lg \frac{p_1}{p_2}, \quad (3.11)$$

де $V_c = V_p + V_T$ – сумарний обсяг вакуумної системи; V_p – обсяг вакуумного ресивера; V_T – обсяг трубопроводу між насосом і ресивером; p_1 – початковий тиск в системі, зазвичай рівний атмосферному; p_2 – кінцевий тиск в розрідженному об'єкті, в пакету випадку в ресивері (p_1 і p_2 в будь-яких одиницях виміру).

Якщо не враховувати спір вакуумпроводу, подача вакуумного насоса повинна відповідати швидкості розрідження об'єкта (ресивера):

$$t = 2,3 \frac{V_s}{S_n} \lg \frac{p_1}{p_2}, \quad (3.12)$$

де S_n – середнє значення подачі насоса.

Час захоплювання ОМ вакуумним ЗП після відкачування ресивера і з'єднання останнього з вакуум-камерами ЗП після відкриття клапана (крана, вентиля):

$$t_3 = \frac{V_a 2,3 \lg(p_1/p_2)}{S_{06}}, \quad (3.13)$$

де $V_a = V_T + V_K$ – сумарний відкачуваний обсяг, що впливає на час захоплювання предмета виробництва; V_T – обсяг трубопроводу між вакуум-камерами ЗП і ресіверами; V_K – об'єм вакуум-камер ЗП з урахуванням деформації ущільнення після накладання на ОМ.

При низьких тисках, починаючи з 1 кПа, пропускна здатність вакуум-проводів різко падає, а час відкачування системи зростає. Враховуючи, що падіння тиску нижче 1 кПа не збільшує вантажопідйомність вакуумних ЗП, низькі тиски в них недоцільні.

Час відкачування системи до тиску 133 Па (1 мм рт.ст.) можна при наближенні знайти за формулою

$$t = 8 \frac{V}{S_n}, \quad (3.14)$$

де S_n – мінімальна подача насоса при $p_a = 0,1$ мПа.

Цією формулою можна користуватися, вибираючи насос для відкачування вакуумної апаратури.

Необхідна продуктивність вакуумного насоса і обсяг ресивера залежать від кількості повітря, що потрапляє у вакуумну систему в одиницю часу, тобто герметичності системи в цілому та її окремих елементів. Враховуючи, що стан повітря в камері ЗП відповідає умові $pV = \text{const}$

$$g_b = \frac{V \Delta p}{A_s}, \quad (3.15)$$

де g_b – натікання; V – обсяг вакуумної системи; Δp – зміна тиску в ізольованому від насоса вакуумному об'ємі за час Δt .

При відомій величині натікання, віднесені до одиниці периметра поверхні торкання ущільнення до вантажу, сумарне натікання повітря в вакуум-камеру ЗП складе

$$g_y = g_c C, \quad (3.16)$$

де g_c – питома величина натікання m^3 на одиницю периметра ущільнення, C – периметр ущільнення присмоктувача.

При відомій величині натікання необхідний обсяг ресивера вакуумного ЗП визначається як:

$$V_p = \frac{g_b t}{\Delta p} - V_b, \quad (3.17)$$

де V_b – сумарний обсяг вакуумної системи від ресивера до вакуум-камери ЗУ; t – заданий час утримання вантажу вакуумним ЗП при вимкненому насосі

$$t = \frac{(V_B + V_p)\Delta p}{g_B}, \quad (3.18)$$

Для створення вакууму може бути використана цехова установка з очищувачем повітря та вентилем, що перешкоджає засмоктуванню форвакуумного масла в бак-ресивер з насоса, коли останній не працює.

3.1.4 Активні вакуумні ЗП на базі ежекторних систем

Ежектори конструктивно простіше насосів і широко застосовуються в конструкціях захоплювальних пристрій невеликої вантажопідйомності. Їх виконують, як правило, одноступінчастими і розміщують безпосередньо на кронштейні захоплювального пристрою, приєднуючи через канал підсосу повітря з однією або декількома камерами присмоктувачів. Питання проектування оптимальних конструкцій ежекторів для вакуумних захватів складні, оскільки необхідно враховувати безліч експлуатаційних, технологічних і конструктивних параметрів з використанням законів газодинаміки.

Конструктивна схема ежектора вакуумного ЗП з основними розмірами показана на рис. 3.2.

З метою підналагодження ежектора сопло 5 може бути регульованим, виконаним у вигляді голчастого дроселя. Крім того, доцільно встановлювати сопло з можливістю осьового переміщення щодо камери всмоктування 1 з наступною фіксацією його положення. Чим більше діаметр змішувальної ділянки 2 і шлях струменя до зіткнення зі стінками, тим більший об'єм повітря відсмоктується. З метою зменшення дотику твірна внутрішні поверхні колектора 4 може бути виконана за складною кривою. Дифузор 3 ежектора призначений для перетворення динамічного напору в статичний тиск. Для маніпуляторів вантажопідйомністю 0,3...1 кг розміри ежектора [12]: $d_1 = 2\ldots 4$ мм; $d_2 = 10\ldots 18$ мм; $D = 6\ldots 8$ мм; $l_1 = 20\ldots 50$ мм; $l_2 = 20\ldots 60$ мм; $l_3 = 10\ldots 20$ мм і кут конуса дифузора $\alpha = 6\ldots 10$.

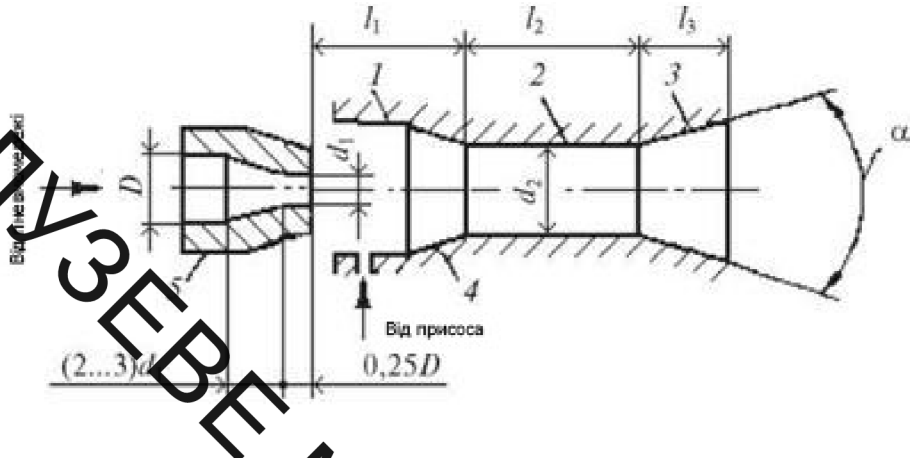


Рисунок 3.2 – Конструктивна схема ежектора вакуумного ЗП:

1 – камера всмоктування; 2 – змішувальна ділянка; 3 – дифузор, 4 – колектор;

5 – сопло

3.1.5 Аеродинамічні захоплювальні пристрой

Ці пристрої діють на основі аеродинамічного ефекту, що виникає при обтіканні повітряним струменем фасонних криволінійних поверхонь і зміни швидкостей повітряних потоків.

3.1.6 Струменево-вакуумні захоплювальні пристрої

В основу їх конструкцій покладено відомий ефект виникнення присмоктувальної дії, що виражається у взаємодії сформованої сопловими елементами і витікаючого з них струменя стиснутого повітря з обтічною ним плоскої, циліндричної або кульової поверхні заготовки. Основною вимогою слід вважати наявність яскраво вираженої плоскої базової поверхні захоплювання, яка не мала б виступів, буртиків, що перешкоджають течії потоку повітря. Захоплення деталей у великому діапазоні розмірів робить економічним і доцільним їх застосування в умовах будь-якого виробництва.

Приклад конструкції струминного захоплювального пристрою зображенено

ВНТУ, ГАЛУЗЕВА МАШИНОВА ВІДДІЛЕННЯ

на рис. 3.3

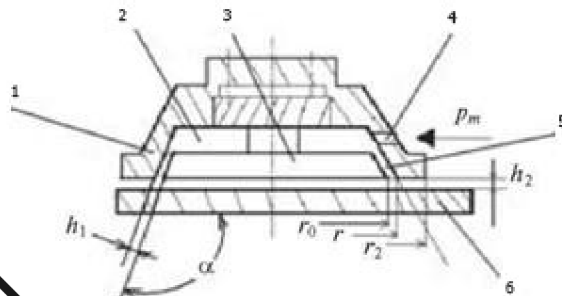


Рисунок 3.3 – Струменево-вакуумний захоплювальний пристрій:

1 – корпус; 2 – камера; 3 – упорні елементи; 4 – сопло; 5 – кільцева щілина;
6 – об'єкт маніпулювання

Спрямований паралельно або під кутом до площини заготовки струмінь повітря постійного магістрального тиску p_m витікає через кільцеву щілину 5 в зазор h_1 між торцем корпусу 1 і площею заготовки, утворюючи надалі плоский кільцевий радіальний потік. Швидкість течії потоку, приблизно рівна на початку щілини критичній, постійно знижується по параболічному закону до нуля в міру віддалення від початку щілини. Вона визначає енергію рухомого суцільного потоку повітря. Ця енергія, що характеризується повним напором, який складається з суми п'єзометричного і динамічного напорів, викликає в зоні торця захоплення пониження тиску до значення нижче атмосферного. Падіння тиску призводить до появи в зоні торця захоплювального пристрою з радіусом r_2 аеродинамічного ефекту притягання. Величина сили тяжіння для струменевого захоплення з кільцевою щілиною на торці залежить від оптимального співвідношення між зазором h_2 і товщиною h_1 до конічної щілини, вимірюної в нормальному до поверхні фасок напрямку і рівної близько 0,12 мм. Співвідношення h_2/h_1 для конічної щілини з кутом $\alpha = 120\dots150^\circ$, при якому забезпечується максимальне зусилля тяжіння, повинно знаходитися в межах 2,8…3,2 (до $h_1 \approx 0,12$ мм).

З певної відстані під дією зростаючої за параболічним законом сили

тіжіння заготовка буде піднята вгору і притиснута до торця захоплення. Вона

не знаходиться в безпосередньому контакті з торцем захоплення, а вільно плаває на утвореній в зазорі взаємодіючих торців захоплення та заготовки повітряній підушці, автоматично підтримуючи зазор h_2 товщиною приблизно 0,08...0,15 мм.

Зусилля тяжіння розраховують за залежністю

$$F = \pi V_0^2 r_0 \rho_a \left(\frac{r_2 \ln \frac{r_2}{r_0} - r_2 + r_0}{r_2 - r_0} + 0,5 - \frac{h_2}{r_0} \cos \frac{\alpha}{2} \right), \quad (3.19)$$

де

$$V_0 = \frac{\mu}{\rho_a} \left(\frac{h_1}{h_2} \right)^n p_m \sqrt{\frac{n}{RT}} \left(\frac{2}{n+1} \right)^{\frac{n+1}{n-1}}, \quad (3.20)$$

тут $\alpha = 120\dots150^\circ$, $\mu = 0,6\dots0,7$ – коефіцієнт витрати; ρ_a – густина повітря при атмосферному тиску; n – показник адіабати ($n = 1,4$); p_m – магістральний тиск; R – газова постійна, T – абсолютна температура повітря. Для ефективної роботи струменевих ЗП рекомендується магістральний тиск $(18,6\dots49,0) \cdot 10^4$ Па.

Для захоплення деталей, які не мають отворів, служать гніздові захоплювальні пристрої утримувальні сопла яких розміщені по периферії гнізда. Важливою характеристикою струменевих ЗП, яка функціонально залежить від параметрів захоплення та стисненого повітря, є середня питома сила, що визначається як відношення сили захоплення до площині робочого торця

$$F_{уд} = F / \pi r_2^2. \quad (3.21)$$

При проектуванні точку прикладання сил треба вибирати так, щоб центр ваги заготовок знаходився більш ніж до центру захоплення. Вантажопідйомність

регулюється плавною зміною тиску в магістралі. Один і той же ЗП може бути використаний для подачі різних за розмірами і конфігурації заготовок.

3.1.7 Орієнтування захоплюваних об'єктів

При певній конструкції струминний захоплювальний пристрій 1 дозволяє здійснювати одночасно кутову орієнтацію об'єкта 5 (наприклад, прямокутної пластини) і його базування (рис. 3.4). У цьому випадку канал 2, по якому підводиться стиснуте повітря, з'єднується з похилим соплом 3, формуючи плоский потік повітря в зазорі між торцем захоплення і об'єктом в напрямку вікна, утвореного двома обмежувальними стінками 4. Через велику швидкість потоку повітря тиск у зазорі зменшується і відбувається підйом і утримання об'єкта на деякій відстані 5 від торця захоплювального пристрою, причому величина зазору встановлюється автоматично з умовою рівноваги об'єкта. При цьому об'єкт 5 (прямокутник, показаний жирною лінією) буде повертатися навколо вертикальної осі захоплювального пристрою і одночасно переміщуватися в діагональному напрямку до вікна, поки не виявиться притиснутим до бічних стінок 4.

Вид А

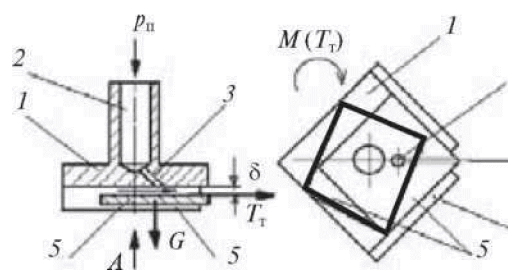


Рисунок 3.4 – Струменевий захоплювальний пристрій, що забезпечує орієнтацію об'єкту: 1 – корпус струменевого ЗП; 2 – підвідний повітряний канал; 3 – похиле сопло; 4 – обмежувальні стінки; 5 – ОМ; G – вага предмета; $M(T_r)$ – орієнтувальний момент

Підйомну силу, що діє на пластину в безконтактному струменевому ЗП (див. рис. 3.4), визначають за формулою

$$F = \frac{\pi p_a R_{max}^2}{3} \left[\frac{(1-2S_0)\eta}{(1-S_0^2)(1-6m\eta)} - (1-2S_0)\eta \right], \quad (3.22)$$

де p_a – тиск повітря на виході із зазору (атмосферний тиск); R_{max} – максимальне значення радіуса торця захоплення (вписаного кола в пластинку); $S_0 = r/R_{max}$; r – внутрішній радіус підвідного каналу; $\eta = 1 - p_n/p_a$, p_n – тиск стисненого повітря в підвідному каналі; $m = 2/7$.

Умова рівноваги пластини в струменевому ЗП при сталому адіабатичному русі повітря в зазорі 5 має вигляд:

$$0,65\sqrt{a} < S_0 < 0,5 \quad (3.23)$$

При ізотермічному русі повітря:

$$18(1 + 2,7\sqrt{a}) < S_0 < 0,5 \quad (3.24)$$

Необхідною умовою переміщення пластини в площині захоплення базування є зміщення центру мас пластини відносно осі сопла. Навіть при малому значенні цього зміщення пластина під дією сил в'язкого тертя T_t буде віддалятися від осі захоплення зі швидкістю, зростаючої в часі за законом гіперболічного синуса. Поворот пластини буде відбуватися, якщо центр ваги сопла не лежить на одній з головних осей інерції пластини або осі її симетрії. У цьому випадку сума проекцій сил тертя на пряму, що з'єднує центр мас пластини і центр сопла, не дорівнює нулю.

3.1.8 Вихрові захоплювальні пристрої

Дія вихрових ЗП [13] ґрунтуються на властивості ізольованого вихору створювати уздовж своєї поздовжньої осі область зниженого тиску, в результаті чого за різниці атмосферного тиску і тиску всередині вихору виникає підйомна сила. Вихровий захоплювальний пристрій (рис. 3.5, а) складається з корпусу 7 з циліндричною камерою, завихрювача 5 з соплами 6, розташованими по дотичній до внутрішнього кола завихрювача, втулки 3, насадки 2 з отворами 8. При роботі захоплювального пристрою стиснене повітря з магістралі через штуцер 4 надходить в камеру корпусу 7, де встановлюється тиск, що перевищує атмосферний, і далі через сопла 6 у втулку 3. Завдяки високій швидкості витоку повітря через сопла формується сильно завихрений потік повітря, що рухається уздовж стінок втулки 3 в напрямку зменшення тиску зверху вниз.

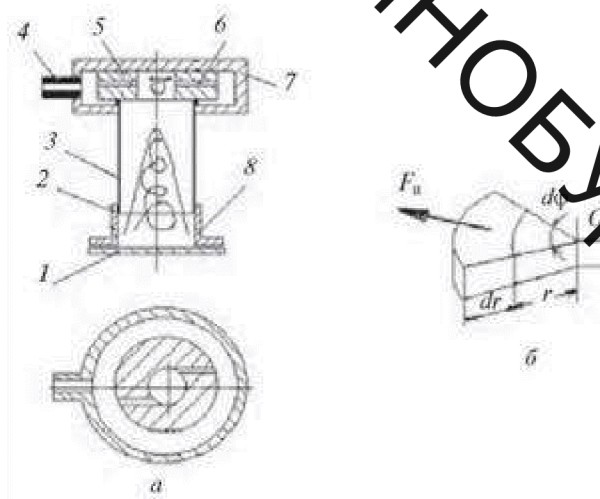


Рисунок 3.5 – Пневмовихровий захоплювальний пристрій (а) і схема до розрахунку підіймальної сили ЗП (б): 1 – ОМ; 2 – насадка, 3 – втулка, 4 – штуцер; 5 – завихрювач; 6 – сопла; 7 – корпус; 8 – вихідні отвори

Уздовж осі цього потоку встановлюється розрідження, що сприяє всмоктуванню атмосферного повітря через отвори 8 всередину втулки 3. В результаті в нижній частині пристрою утворюється вихрова воронка, в якій частинки повітря рухаються висхідною спіраллю, і в ній виникає область зниженого тиску. Притягування ОМ 1 до насадки 2 здійснюється за рахунок різниці атмосферного і внутрішньовихового тисків.

Поблизу завихрення формується верхній вихор, в якому повітря рухається по низхідній спіралі, відтісняючись вихровою воронкою до стінок втулки 3 і прямуючи в атмосферу через бічні отвори 8.

Наблизено підйомну силу такого пристрою можна визначити наступним чином. Двою паралельними площинами, віддаленими один від одного на відстані dh , вирізмо з насадки 2 елементарний циліндр. На відстані r від центра O елементарного циліндра вирізаємо елементарний об'єм повітря розміром $dh, dr, d\phi$ (рис. 3.5, б). При вихровому русі цього об'єму повітря з кутовою швидкістю w виникає елементарна відцентрова сила (сила інерції)

$$dF_i = dm w^2 r = rd\varphi dh dr \rho w^2 r, \quad (3.25)$$

де dm - маса елементарного об'єму повітря, ρ - щільність повітря.

Елементарне приложення тиску в перерізі, віддаленому від центра циліндра на відстані r , можна визначити у вигляді

$$d\Delta p = \frac{dF_i}{dS} \quad (3.26)$$

де dS - площа елементарного об'єму повітря уздовж твірної циліндра

$$dS = rd\varphi dh \quad (3.27)$$

Підставляючи dF та dS і інтегруючи цей вираз у межах від 0 до R (радіус насадки), отримаємо приложення тиску на стінці насадки

$$\Delta p = \int_0^R w^2 \rho r dr = \frac{w^2 R^2 \rho}{2} = \frac{V^2}{2}, \quad (3.28)$$

де V - швидкість подачі повітря в вихреву камеру.

Так як в стінках насадки є отвори, то повітря через них виходить назовні і тиск на стінки насадки практично не змінюється.

Тоді тиск всередині вихору

$$p_b = p_a - \Delta p \quad (3.29)$$

Підйомна сила захоплювального пристрою:

$$F = K_p(p_a - p_b)A = K_B \Delta p A, \quad (3.30)$$

де $K_B = (0,3 \dots 0,5)$ - коефіцієнт запасу; A - площа захоплення (насадки).

3.2 Розрахунок конструктивних параметрів вакуумного захоплювального пристрою активної дії

Утримувальне зусилля, що розвивається вакуумним ЗП, розраховуємо за формулою (3.2) для найгірших умов маніпулювання

$$F = SK_p(p_a - p_b) = 0,01 \cdot 0,85 \cdot 0,035 \cdot 10^6 = 297,5 \text{ H},$$

де $S = 0,01 \text{ m}^2$, $K_p = 0,85$, $p_0 = (p_a - p_b) = 0,035 \text{ МПа}$, $D = 0,05 \text{ м}$ – внутрішній діаметр контактної поверхні присмоктувача.

Визначимо коефіцієнт зниження вантажопідйомності для круглих камер

$$\xi = 1 - 4 \left(\frac{B}{D} - \frac{B^2}{D^2} \right) \frac{q}{p_0} = 1 - 4 \left(\frac{4}{50} - \frac{4^2}{50^2} \right) \frac{60}{35} = 0,68,$$

що входить до допустимих значень для типових умов роботи.

Для надійної роботи вакуумного захвата необхідні наступні умови:

$$F_y = \frac{N}{\varepsilon} K_N = N + \frac{T}{\mu} K_T = 70 + \frac{77}{0,3} 1,5 = 455 \text{ H},$$

що більше раніше розрахованого $F = 297,5 \text{ H}$.

Тому перераховуємо плошу присмоктувача за формулою (3.9), яка забезпечить розраховану силу утримання ОМ [14]:

$$S = \frac{\left(\frac{N}{\varepsilon} + \frac{T}{\mu} \right) K}{(p_a - p_b) n K_p} = \frac{\left(\frac{70}{1} + \frac{77}{0,3} \right) 1,5}{0,035 \cdot 4 \cdot 0,85} = 3823,5 \text{ mm}^2,$$

де $n=4$ – число присмоктувачів.

Визначимо мінімальний діаметр внутрішнього контуру геометричної проекції присмоктувача на поверхні ОМ:

$$D = \sqrt{\frac{4S}{\pi}} = \sqrt{\frac{4 \cdot 3823.5}{3.14}} = 69.8 \text{ мм.}$$

Для розширення діапазону застосування розробленого ЗП приймаємо $D=88$ мм.

За отриманими параметрами розробляємо конструкцію вакуумного ЗП активної дії.

МАТЕМАТИЧНА МОДЕЛЬ ВИХРОВОГО ВАКУУМНОГО ЗАХОПЛЮВАЛЬНОГО ПРИСТРОЮ ПРОМИСЛОВОГО РОБОТА ДЛЯ ВИЗНАЧЕННЯ НЕСІВНОЇ ЗДАТНОСТІ

Під час розрахунку і проєктуванні вихрових вакуумних захоплювальних пристрій як вихідні параметри задають розміри вакуумної камери і несівну здатність пристрою, яка визначається масою об'єктів маніпулювання і динамікою руху захоплювального пристрою разом з об'єктом. Розгляд умов рівноваги всіх сил дозволяє визначити несівну здатність вакуумного захоплювального пристрою.

Згідно з результатами експериментальних досліджень вихрових труб вихровий ефект, який демонструє крива кутових швидкостей, яка побудована за експериментально отриманим значенням тангенціальних швидкостей, має вигляд, який представлено на рис.4.1. Значення тангенціальних швидкостей, віднесених до радіусу, вимірювалися за допомогою малих зазорів.

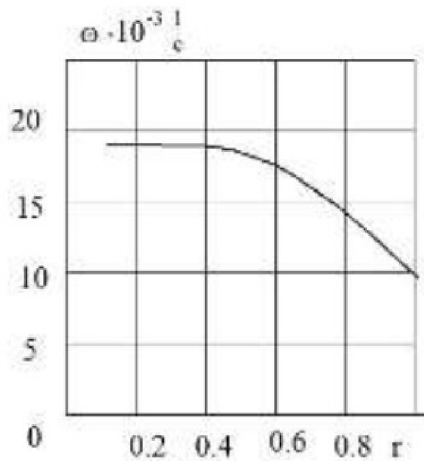


Рисунок 4.1 – Розподіл кутової швидкості маси газу, що обертається в сопловому перетині вихрової труби діаметром $d=30\text{мм}$ по відносному радіусу.

Графік на рис.4.1 показує, що в області значень радіусу до 0,4 вихор потоку обертається практично з постійною швидкістю ω . В теорії вихорів цю зону, де швидкість $\omega = \text{const}$, називають примусовим вихором. В

периферійній області камери кутова швидкість різко знижується із збільшенням радіусу, а поблизу стінки в приграницому шарі – падає до нуля. Закон зміни швидкості в цій області, особливо в перетинах, які близькі до соплових, наближаються до закону потенціальної течії рідини.

Другою складовою задачі, яку розв'язують під час досліджень, є задача руйнування струминої, що виходить із сопла, яким закінчується канал витрат стисненого повітря. Швидкість v витікання з сопла для докритичного режиму, коли струмина менше швидкості звуку, визначається виразом

$$v = \sqrt{\frac{P}{\rho}} \quad (4.1)$$

де P – тиск в магістралі стисненого повітря, ρ – густина повітря.

В закритому режимі швидкість залишається постійною і рівною швидкості звуку C . Приграницим є приграниций критичний режим.

Розглянемо використання як робочого тіла в пневмосистемі захоплювального пристрою системі газ. За тиску в пневмагістралі стисненого повітря $P=0,5$ МПа, витікання з трубопроводів діаметром $d=2$ мм є закритичним.

Після витікання повітря в камеру він розширюється з падінням тиску приблизно до атмосферного (від тиску 0,5 МПа до тиску 0,1 МПа, тобто в 5 разів). Для отримання напрямку розширення за дотичного до вихору використовують сопло. Сопло – це накладка, в якій потенціальна енергія стислого газу перетворюється в кінематичну вздовж осі сопла, швидкість рухомого повітря збільшується до критичної, а тиск знижується.

В результаті математичного моделювання будуть визначені закони стаціонарного розподілу швидкостей і тисків у вихровій камері після вихору струменів з сопел.

Розрахунок розподілу швидкостей в циліндричній камері здійснюється за припущення, що обертання значної частини об'єму газа відбувається навколо нерухомої вертикальної вісі за відсутності обертального проковзування циліндричних шарів повітря одне відносно одного, тобто припускається, що розподіл швидкостей є таким же, як в твердому тілі під час його обертання з кутовою швидкістю ω навколо нерухомої осі.(рис. 4.2)



Рисунок 4.2 – Розміри тангенціальної швидкості газу в камері по радіусу

Об'єм маси газа, що обертається з кутовою швидкістю ω в циліндричному об'ємі, обмежений циліндричною стінкою камери радіусом R . Очевидно, що за таких припущень сили тертя циліндричних шарів один відносно одного відсутні, і в значній частині об'єму вихрової камери не відбувається витрат енергії. Товщина в приграницьому шарі в турбулентному режимі (який характерний для захоплювального вихрового пристрою цього типу) грубо можна оцінити за формулою:

$$b = R \left(\frac{1}{\sqrt{\text{Re}}} \right), \quad (4.2)$$

де R – характерний розмір (можна вважати що це радіус камери), а Re – число Рейнольдса, яке визначається за спiввiдношенням:

$$\text{Re} = \frac{\rho v R}{\mu}, \quad (4.3)$$

де ρ – густина повітря; v - швидкість; μ - коефіцієнт динамічної в'язкості.

У відповідності з прийнятою моделлю, тангенційна швидкість v_r на радіусі r визначається з виразу:

$$v_r = \omega r = \frac{v_0 \cdot r}{R}, \quad (4.4)$$

де ω – кутова швидкість; v_0 – лінійна швидкість біля стінки (реально – на границі з приграницішим шаром).

Значення $v_0 = v_r R$ тангенціальної швидкості повітря біля стінки камери, за кінцевим рахунком, визначається добутком швидкості витікання із сопел (в цій задачі, це швидкість звуку v_{kp} , тобто близька до 360 м/с) на масові витрати. Проте, перерахунок на швидкість v_0 має певні труднощі, звісно, що за постійних витрат стисненого повітря, що надходить через сопло, швидкість v_0 (практично середня за висотою) тим менше, чим більша висота камери.

Передбачається, що температура за всім об'ємом постійна, тому процес є ізотермічним: тоді густина пропорційна тиску:

$$\frac{\rho_r}{\rho_R} = \frac{P_r}{P_R}, \quad (4.5)$$

Під час обертання газу на кожний шар діє розподілене радіальне об'ємне навантаження $\rho \cdot \omega^2 r$ від відцентрових сил. На додатньому прирості dr радіусу r відбувається додатній приріст тиску $d\rho_r$:

$$d\rho_r = \rho_r \cdot \omega^2 \cdot r \cdot dr. \quad (4.6)$$

Використання співвідношення (4.5), яке зв'язує тиск з густиною, отримаємо замість (2.6):

$$\frac{d\rho_r}{\rho_r} = \frac{\rho_R \cdot \omega^2 \cdot r}{\rho_R}. \quad (4.7)$$

Інтегруючи за змінною r в межах від довільного значення r до границі $r=R$, отримаємо:

$$\ln(r) = \frac{\rho_R \cdot \omega^2 \cdot r}{2\rho_R} + C, \quad (4.8)$$

де C – стала інтегрування. Після його визначення з граничної, допоки такою, що вважаємо заданою, умовою ρ_R при $r=R$, отримаємо остаточно вираз для відносної зміни ступеня розріженості за радіусом r :

$$\frac{\rho_r}{\rho_R} = \exp\left[-\frac{\rho_R \cdot \omega^2 \cdot (R^2 - r^2)}{2\rho_R}\right], \quad (4.9)$$

В центрі на осі камери (тобто при $r = 0$) отримаємо мінімальне значення тиску:

$$\frac{P_0}{P_R} = \exp\left[-\frac{\rho_R \cdot \omega^2 \cdot R^2}{2\rho_R}\right] = \exp\left[-\frac{\rho_R \cdot V^2 \cdot R^2}{2\rho_R}\right], \quad (4.10)$$

Цей вираз визначає максимальне розріження. Визначальним у цьому виразі є показник експоненти, який є відношенням швидкісного напору у стінок камери (при $r=R$) до статичного тиску також у стінки:

$$F_b = 2\pi \int_0^R (p_r - p_0) \cdot r dr, \quad (4.11)$$

де F_b – підйомне зусилля.

Інтеграл в межах $(0, R)$ через елементарні функції не можна виразити, а лише через інтеграл ймовірностей або повинен розраховуватись чисельно.

Визначення перепаду тиску (від p_R до атмосферного p_0) при виході (при $r=R$):

$$\frac{\rho_R \cdot v_r^2 \cdot R}{2} \approx [p_R - p_0] = \Delta p. \quad (4.12)$$

Співвідношення (4.10) і (4.12) є двома рівняннями відносно двох невідомих $v_r \cdot R$ та p_R . Під час розв'язку потрібно задатися різними значеннями зазору z .

Надалі необхідно використати умову постійності маси повітря, тобто рівності витрат повітря, що надходить через сопла з внутрішнім діаметром d і витікаючого через щілину між кромкою камери та поверхнею об'єкту маніпулювання.

Ця умова має вигляд:

$$\frac{m \cdot d^2 \cdot \rho_1 \cdot v_1}{4} = 2v_r \cdot R \cdot \pi R \cdot z \cdot p_R, \quad (4.13)$$

де v_1, ρ_1 відповідно швидкість і густина повітря перед зазором. Звідки при $h=2$, отримуємо вираз для зазору:

$$z = \frac{d^2 \cdot \rho_1 \cdot v_1}{4R \cdot \rho_0 \cdot v_r}. \quad (4.14)$$

При $d=2$ мм, попередньо передбачуючи, що $v_r/v_1 = 0,5$, отримаємо $z=0,6$ мм.

Під час живлення захоплювального пристрою від мережі стисненого повітря, швидкість витікання з сопла близька до швидкості звуку $v_1 = 340$ м/с, а густина $\rho_1 \approx 5$ кг/м³. Після підстановки (2.13) у (2.12) отримаємо такі залежності надлишкового тиску $\Delta p = (p_R - p_0)$ і радіальної швидкості v_r від зазора z :

$$v_r = \frac{n \cdot d^2 \cdot \rho_1 \cdot v_1}{8R \cdot z \cdot \rho_R}, \quad (4.15)$$

$$\Delta p = \frac{n^2 \cdot d^4 \cdot \rho_1^2 \cdot v_1^2}{128R^2 \cdot z^2 \cdot \rho_R}. \quad (4.16)$$

Для випадку захоплювального пристрою з двома соплами діаметром 2мм, під'єднаним до стандартної мережі стисненого повітря з тиском 0,5 МПа:

$$\Delta p = \frac{0,281}{R^2 \cdot z^2 \cdot \rho_R}. \quad (4.17)$$

Отримані залежності справедливі тільки для того діапазону зміни зазору z , для якого зберігається вихор.

Результат розрахунків за формулами (4.10) і (4.12) наведені у вигляді графіків, що відображають залежність відношення показника розрідженості в центрі від швидкості вихору у стінки, показано на рис 4.3.

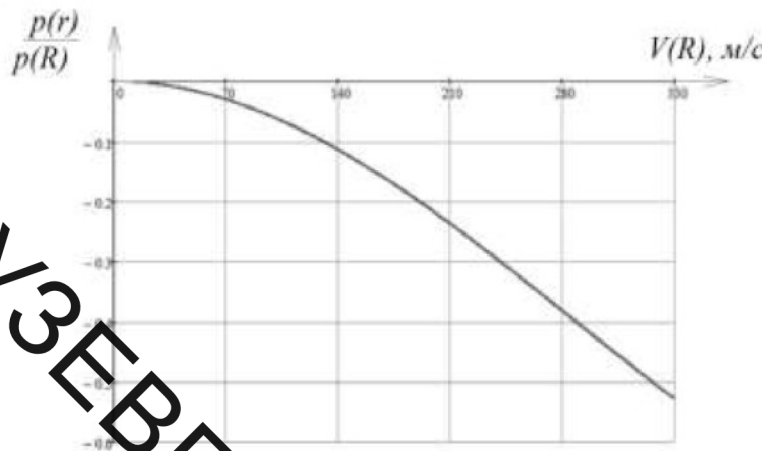


Рисунок 4.3 – Залежність розрідження від швидкості у стінки камери

З графіку видно, що показник розрідженості $p_0/p_R=0,5$ досягається за дуже великої швидкості $v_1 \approx 300 \text{ м/с}$, яка близька до звукової.

5. ЕКОНОМІЧНА ЧАСТИНА.

АНАЛІЗ КОМЕРЦІЙНОГО ПОТЕНЦІАЛУ РОЗРОБКИ ЗАХВАТНОГО ПРИСТРОЮ РОБОТА ДЛЯ РОБОТИЗОВАНОГО ТЕХНОЛОГІЧНОГО КОМПЛЕКСУ ХОЛОДНОГО ЛИСТОВОГО ШТАМПУВАННЯ

Визначення рівня комерційного потенціалу розробки захватного пристрою робота для роботизованого технологічного комплексу холодного листового штампування

Метою проведення технологічного аудиту є оцінювання комерційного потенціалу розробки захватного пристрою робота для роботизованого технологічного комплексу холодного листового штампування, створеної в результаті науково-технічної діяльності. В результаті оцінювання можна буде зробити висновок щодо напрямів (особливостей) організації подальшого її впровадження з врахуванням встановленого рейтингу

Для проведення технологічного аудиту залучимо 3-х незалежних експертів. У нашому випадку такими експертами будуть керівник магістерської роботи та провідні викладачі випускової та споріднених кафедр.

Оцінювання комерційного потенціалу розробки за будемо здійснювати за 12-ю критеріями згідно рекомендацій.

Результати оцінювання комерційного потенціалу розробки заносимо до таблиці 5.1. За даними таблиці 5.1 робимо висновок щодо рівня комерційного потенціалу розробки захватного пристрою робота для роботизованого технологічного комплексу холодного листового штампування. При цьому користуємося рекомендаціями, наведеними в таблиці 5.2.

Таблиця 5.1. - Результати оцінювання комерційного успіху розробки

Критерії	Експерти		
	Поліщук Л.К.	Обертюх Р.Р.	Іскович-Лотоцький Р.Д.
	Бали, виставлені експертами		
1	2	2	2
2	3	2	3
3	2	3	3
4	2	2	2
5	3	2	3
6	4	3	2
7	3	2	2
8	3	2	2
9	2	3	3
10	3	3	2
11	3	2	3
12	3	2	3
Сума балів	33	28	30
Середньоарифметична сума балів, СБ		30	

Таблиця 5.2 – Рівні комерційного потенціалу розробки

Середньоарифметична сума балів, розрахована на основі висновків експертів	Рівень комерційного потенціалу розробки
0 – 10	Низький
11 – 20	Нижче середнього
21 – 30	Середній
31 – 40	Вище середнього
41 – 50	Високий

Таким чином, робимо висновок, щодо рівня комерційного потенціалу нашої розробки захватного пристрою робота для роботизованого технологічного комплексу холодного листового штампування – середній.

5.2 Прогнозування витрат на виконання науково-дослідної, дослідно-конструкторської та конструкторсько-технологічної роботи з розробки захватного пристрою робота для роботизованого технологічного комплексу холодного листового штампування

5.2 Розрахунок витрат, що стосуються виконавців розробки захватного пристрою робота для роботизованого технологічного комплексу холодного листового штампування

Основна заробітна плата кожного із розробників (дослідників) З_о, якщо вони працюють в наукових установах бюджетної сфери

$$Z_0 = \frac{M}{T_p} \cdot t, \quad (5.1)$$

де М – місячний посадовий оклад конкретного розробника (інженера, дослідника, науковця тощо), грн.

У 2020 році величини окладів (разом з встановленими доплатами і надбавками) рекомендується брати в межах (5000...15000) грн. за місяць; Т_р – число робочих днів в місяці; приблизно Т_р = (21...23) дні; t – число робочих днів роботи розробника (дослідника).

Зроблені розрахунки зводимо до таблиці 5.1.

Таблиця 5.1 – Заробітна плата розробників

Посада	Місячний посадовий оклад, грн.	Оплата за робочий день, грн.	Число днів роботи	Витрати на заробітну плату, грн.
Керівник	12000	545	5	2725
Інженер-розробник	6000	273	22	273

Консультанти	8000	364	5	1820
Всього:				4818

Основна заробітна плата робітників Зр, якщо вони беруть участь у виконанні даного етапу роботи і виконують роботи за робочими професіями у випадку, коли вони працюють в наукових установах бюджетної сфери, розраховується за формулой:

$$Зр = \sum_{i=1}^n t_i \cdot C_i,$$

де t_i – норма часу (трудомісткість) на виконання конкретної роботи, годин; n – число робіт по видах та розрядах; C_i – погодинна тарифна ставка робітника відповідного розряду, який виконує дану роботу. C_i визначається за формулою:

$$C_i = \frac{M_m \cdot K_i}{T_p \cdot T_{zm}}, \quad (5.2)$$

де M_m – розмір мінімальної заробітної плати за місяць, грн.; в 2020 році мінімальна заробітна плата становить – 5000 грн., K_i – тарифний коефіцієнт робітника відповідного розряду, T_p – число робочих днів в місяці приблизно $T_p = 21 \dots 23$ дні; T_{zm} – тривалість зміни, зазвичай $T_{zm} = 8$ годин.

Таблиця 5.2 – Заробітна плата робітників

Найменування робіт	Трудомісткість, н-год.	Розряд роботи	Погодинна тарифна ставка	Тариф. коеф.	Величина, грн.
Заготівельні	2	2	31	1,09	62
Монтажні	2	3	33,5	1,18	37
Випробувальні	1,5	4	36,1	1,27	54
Контроль	0,5	4	36,1	1,27	27
Всього					180

Додаткова заробітна плата Зд всіх розробників та робітників, які брали участь у виконанні даного етапу роботи, розраховується як (10...12)% від суми основної заробітної плати всіх розробників та робітників, тобто:

$$Зд = 0,1 \cdot (Зр + Зо) = 0,1 \cdot (4818 + 180) = 499,8 \text{ грн.}$$

Нарахування на заробітну плату Нзп розробників та робітників, які брали участь у виконанні даного етапу роботи, розраховуються за формулою: де Зо – основна заробітна плата розробників, грн.; Зр – основна заробітна плата робітників, грн.; Зд – додаткова заробітна плата всіх розробників та робітників, грн.; β – ставка єдиного внеску на загальнообов'язкове державне соціальне страхування, % (приймаємо для 1-го класу професійності ризику 22%).

$$\begin{aligned} \text{Нзп} &= 0,22 \cdot (Зр + Зо + Зд) = \\ &= 0,22 \cdot (4818 + 180 + 499,8) = 1210 \text{ грн.} \end{aligned} \quad (5.3)$$

Амортизація обладнання, комп'ютерів та приміщень А, які використовувались під час (чи для) виконання даного етапу роботи.

Дані відрахування розраховують по кожному виду обладнання, приміщенням тощо.

У спрощеному вигляді амортизаційні відрахування А в цілому будуть розраховані за формулою:

$$A = \frac{\mathcal{C} \cdot H_a}{100} \cdot \frac{T}{12},$$

де \mathcal{C} – загальна балансова вартість всього обладнання, комп'ютерів, приміщень тощо, що використовувались для виконання даного етапу роботи, грн.; H_a – річна норма амортизаційних відрахувань. Для нашого випадку можна прийняти, що $H_a = (10...25)\%$; Т – термін, використання обладнання, приміщень тощо, місяці.

Таблиця 5.3 - Амортизаційні відрахування

Найменування	Ціна, грн.	Норма амортизації, %	Термін використання, м.	Сума амортизації
ПК	10000	20	2	333
Приміщення для дипломного проектування	100000	10	2	1666
Приміщення обчислювального центру	100000	10	1	833
Всього			2832	

Витрати на матеріали М, що були використані під час виконання даного етапу роботи, розраховуються по кожному виду матеріалів за формулою:

$$M = \sum_1^n H_i \cdot C_i \cdot K_i - \sum_1^n V_i \cdot C_v, \quad (5.4)$$

де H_i – витрати матеріалу i -го найменування, кг; C_i – вартість матеріалу i -го найменування, грн./кг.; K_i – коефіцієнт транспортних витрат, $K_i = (1,1 \dots 1,15)$; V_i – маса відходів матеріалу i -го найменування, кг; C_v – ціна відходів матеріалу i -го найменування, грн./кг; n – кількість видів матеріалів.

Таблиця 5.4 - Матеріали, що використовуються при розробці

Найменування матеріалу	Ціна за одиницю, грн.	Витрачено	Вартість витраченого матеріалу, грн
Дюраль Д16	10	130	1300
З врахуванням коефіцієнта транспортування			1430

Витрати на комплектуючі К, що були використані під час виконання даного етапу роботи, розраховуються за формулою:

$$K = \sum_1^n H_i \cdot C_i \cdot K_i,$$

де H_i – кількість комплектуючих i -го виду, шт.; C_i – ціна комплектуючих i -го виду, грн.; K_i – коефіцієнт транспортних витрат, $K_i =$

(1,1...1,15); n – кількість видів комплектуючих. Витрати на силову електроенергію Be , якщо ця стаття має суттєве значення для виконання даного стапу роботи, розраховуються за формулою:

$$Be = B \cdot P \cdot \Phi \cdot K_p,$$

Таблиця 5.5 Комплектуючі, що використані на розробку

Найменування	Ціна, грн.	Витрачено, шт.	Вартість, грн
Штуцер	4	25	100
Потрійний штуцер	2	35	75
Тримач	1	50	50
Присмоктувач	4	80	320
Гайка	4	4	16
Гайка регулювальна	4	6	24
Хвостовик	4	75	60
Кутник приєднувальний	4	20	80
Хомут	4	10	40
Болт M8	12	1,8	21,6
Болт M10	4	2,2	8,8
Гайка M8	12	1	12
Гайка M10	4	1,2	4,8
Шайба M8	12	0,5	6
Шайба M10	4	0,8	3,2
Трубопровід мідний 130×12	4	75	300
Всього, з врахуванням коєфіцієнта транспортування		1234	

B – вартість 1 кВт-год. електроенергії, в 2020 р. $B \approx 2,9$ для промисловості грн./кВт; P – установлена потужність обладнання, кВт; Φ – фактична кількість годин роботи обладнання, годин, K_p – коєфіцієнт використання потужності; $K_p < 1$.

Потужність обладнання складає – 0,3 кВт.

Кількість годин роботи складає – 45 годин.

Коефіцієнт використання потужності -0,6 .

$B_e=23,5$ грн.

Інші витрати Він охоплюють: витрати на управління організацією, оплата службових відряджень, витрати на утримання, ремонт та експлуатацію основних засобів, витрати на опалення, освітлення, водопостачання, бхрону праці тощо.

Інші витрати Ів можна прийняти як (100...300)% від суми основної заробітної плати розробників та робітників, які були виконували дану роботу, тобто:

$$I_B = 3 \cdot (3o + 3p) = 3 \cdot (4818 + 180) = 14994 \text{ грн.} \quad (5.5)$$

Сума всіх попередніх статей витрат дає витрати на виконання даної частини (розділу, етапу) роботи – В.

$$B = 4818 + 180 + 499,8 + 1210 + 2832 + 1430 + 1234 + 23,5 + 14994 = \\ = 27221 \text{ грн.}$$

5.3 Розрахунок загальних витрат на виконання даної роботи

Загальна вартість всієї наукової роботи визначається за Взаг формулою:

$$\text{Взаг} = \frac{I_B}{\alpha} = \frac{14994}{0,98} = 15215 \text{ грн,} \quad (5.6)$$

де α – частка витрат, які безпосередньо здійснюю виконавець даного етапу роботи, у відн. одиницях.

5.4 Прогнозування витрат на виконання та впровадження результатів науково-дослідної роботи

Прогнозування загальних витрат ЗВ на виконання та впровадження результатів виконаної наукової роботи здійснюється за формулою:

$$3B = \frac{V_{\text{заг}}}{\beta} = \frac{25215}{0,2} = 76074 \text{ грн}, \quad (5.7)$$

де β – коефіцієнт, який характеризує етап (стадію) виконання даної роботи.

Так, якщо розробка знаходиться: на стадії науково-дослідних робіт, то $\beta \approx 0,1$; на стадії технічного проектування, то $\beta \approx 0,2$; на стадії розробки конструкторської документації, то $\beta \approx 0,3$; на стадії розробки технологій, то $\beta \approx 0,4$; на стадії розробки дослідного зразка, то $\beta \approx 0,5$; на стадії розробки промислового зразка, $\beta \approx 0,7$; на стадії впровадження, то $\beta \approx 0,9$.

Етап роботи – розробка дослідного зразка $\beta=0,5$.

5.5 Прогнозування комерційних ефектів від реалізації захватного пристрою робота для роботизованого технологічного комплексу холодного листового штампування

З метою прогнозування комерційних ефектів від реалізації захватного пристрою робота для роботизованого технологічного комплексу холодного листового штампування складемо таблицю вихідних показників за рахунок яких і відбудуватиметься отримання комерційного ефекту.

Таблиця 5.6 – Вихідні дані для прогнозування комерційного ефекту від реалізації захватного пристрою робота для роботизованого технологічного комплексу холодного листового штампування

Рік реалізації розробки	1	2	3
Кількість од. реалізації, шт.	7	13	20

Величина зростання ціни реалізації розробки, грн. – 5500 грн.

Кількість продукції, що випускалась до впровадження розробки – 5 шт.

Збільшення чистого прибутку підприємства Пі для кожного із років, протягом яких очікується отримання позитивних результатів від впровадження розробки, розраховується за формулою:

$$\Delta\Pi_i = \sum_1^n (\Delta\text{Ц}0 \cdot N + \text{Ц}0 \cdot \Delta N)i \cdot \lambda \cdot \rho \cdot \left(1 - \frac{\nu}{100}\right) \quad (5.8)$$

де $\Delta\text{По}$ – покращення основного оціночного показника від впровадження результатів розробки у даному році. Зазвичай таким показником може бути ціна одиниці нової розробки; N – основний кількісний показник, який визначає діяльність підприємства у даному році до впровадження результатів наукової розробки; ΔN – покращення основного кількісного показника діяльності підприємства від впровадження результатів розробки; $\text{Ц}0$ – основний оціночний показник, який визначає діяльність підприємства у даному році після впровадження результатів наукової розробки; n – кількість років, протягом яких очікується отримання позитивних результатів від впровадження розробки; λ – коефіцієнт, який враховує сплату податку на додану вартість.

Збільшення чистого прибутку підприємства Пі протягом першого року складе:

$$\Delta\Pi_1 = (5 \cdot 1500 + 12500 \cdot 7) \cdot 0,8333 \cdot 0,1 \cdot (1 - 0,18) = 6466 \text{ грн.}$$

Збільшення чистого прибутку підприємства Пі протягом другого року (відносно базового року, тобто року до впровадження результатів наукової розробки) складе:

$$\Delta\Pi_2 = (5 \cdot 1500 + 12500 \cdot 13) \cdot 0,8333 \cdot 0,1 \cdot (1 - 0,18) = 11570 \text{ грн.}$$

Збільшення чистого прибутку підприємства протягом третього року (відносно базового року, тобто року до впровадження результатів наукової розробки) складе:

$$\Delta\Pi_3 = (5 \cdot 1500 + 12500 \cdot 20) \cdot 0,8333 \cdot 0,1 \cdot (1 - 0,18) = 17526 \text{ грн.}$$

5.6 Розрахунок ефективності вкладених інвестицій та період їх окупності витрат на розробку захватного пристрою робота для роботизованого технологічного комплексу холодного листового штамування

Визначення абсолютної ефективності вкладених інвестицій у розробку захватного пристрою робота для роботизованого технологічного комплексу холодного листового штамування

Для цього користуються формулою:

$$Еабс = (\Pi\pi - PV), \quad (5.9)$$

де $\Pi\pi$ – приведена вартість всіх чистих прибутків, що їх отримає підприємство (організація) від реалізації результатів наукової розробки, грн.; PV – теперішня вартість інвестицій $PV = 3B$, грн.

У свою чергу, приведена вартість всіх чистих прибутків $\Pi\pi$ розраховується за формулою:

$$\Pi\pi = \sum_{i=1}^T \frac{\Delta\Pi_i}{(1+\tau)^t} \quad (5.10)$$

де $\Delta\Pi_i$ – збільшення чистого прибутку у кожному із років, протягом яких виявляються результати виконаної та впровадженої НДДКР, грн.; t – період часу, протягом якого виявляються результати впровадженої НДДКР, роки; τ – ставка дисконтування, за яку можна взяти щорічний прогнозований рівень інфляції в країні; для України цей показник знаходиться на рівні 0,1; t – період часу (в роках) від моменту отримання чистого прибутку до точки „0”.

$$\begin{aligned} \Pi\pi &= (6466 / (1+0,1)^1) + (11570 / (1+0,1)^2) + (17526 / (1+0,1)^3) = \\ &= 28608 \text{ грн.}, \end{aligned}$$

$$Еабс = 28608 - 7604 = 21004 \text{ грн.}$$

Оскільки $Еабс > 0$, то результат від проведення наукових досліджень та їх впровадження принесе прибуток, але це також ще не свідчить про те, що інвестор буде зацікавлений у фінансуванні даного проекту (роботи).

Розрахунок відносної ефективності вкладених коштів в НДДКР захватного пристрою робота для роботизованого технологічного комплексу холодного листового штампування

Для цього користуються формулою:

$$E_B = \sqrt[3]{1 + \frac{E_{abs}}{PV}} - 1, \quad (5.11)$$

де E_{abs} – абсолютна ефективність вкладених інвестицій, грн.; PV – теперішня вартість інвестицій РВ, грн.; $Tж$ – життєвий цикл наукової розробки, роки.

$$E_B = \sqrt[3]{1 + \frac{2100}{7604}} - 1 = 0,55.$$

Далі, розрахована величина E_B порівнюється з мінімальною (бар'єрною) ставкою дисконтування, що дорівнює:

$$\tau = d + f, \quad (5.12)$$

де d – середньозважена ставка за депозитними операціями в комерційних банках; в 2020 році в Україні $d = (0,14...0,2)$; f – показник, що характеризує ризикованість вкладень; зазвичай, величина $f = (0,05...0,1)$, але може бути і значно більше.

$$E_B = 0,38 \geq \tau = 0,14 + 0,05 = 0,19.$$

Оскільки величина $E_B > \tau$, то інвестор може бути зацікавлений у фінансуванні даної наукової розробки захватного пристрою робота для роботизованого технологічного комплексу холодного листового штампування.

Розрахунок терміну окупності коштів, вкладених в наукову розробку захватного пристрою робота для роботизованого технологічного комплексу холодного листового штампування

Термін окупності вкладених у реалізацію наукового проекту інвестицій Ток можна розрахувати за формулою:

$$\text{Ток} = \frac{1}{E_B} = \frac{1}{0,55} = 1,8 \text{ роки.} \quad (5.13)$$

Оскільки $\text{Ток} < 3,5$ -ти років, то фінансування даної наукової розробки захватного пристрою робота для роботизованого технологічного комплексу холодного листового штампування в принципі є доцільним.

5.7 Висновки до розділу 5

Економічна частина даної магістерської роботи містить розрахунок витрат на розробку та виготовлення нового технологічного рішення суми яких складає 27221 гривень. Було прогнозовано орієнтовану величину витрат по кожній з статей витрат. Також обраховано величину приведеного прибутку, який може отримати виробник від реалізації нового технологічного рішення, який складатиме 28608 грн., знайдено термін окупності витрат для виробника, що становить 1,8 роки та величину абсолютної ефективності вкладених інвестицій у розробку захватного пристрою робота для роботизованого технологічного комплексу холодного листового штампування, яка складає 21004 грн.

В результаті аналізу розрахунків можна зробити висновок, що розроблений захватний пристрій робота для роботизованого технологічного комплексу холодного листового штампування характеризується високими показниками якості та конкурентоспроможності і даний проект є привабливим з точки зору інвестиційної політики.

ВНТУ, 6 ОХОРОНА ПРАЦІ ТА БЕЗПЕКА У НАДЗВИЧАЙНИХ СИТУАЦІЯХ

6.1 Аналіз умов праці

Захватний пристрій робота для роботизованого технологічного комплексу холодного листового штампування виготовляється в механічному цеху, і аналізуються умови, в яких вона виготовляється. При механічній обробці металів на металорізальних верстатах виникає ряд фізичних, хімічних, психофізіологічних і біологічних небезпечних і шкідливих виробничих факторів.

Фізичні небезпечні чинники: підвищена запиленість і загазованість повітря робочої зони; високий рівень шуму і вибрації; недостатня освітленість робочої зони; наявність прямого і відбитого блиску; підвищена пульсація світлового потоку, рухомі частини виробничого устаткування, що пересуваються, вироби і заготовки; стружка оброблюваних матеріалів, уламки інструментів, висока температура поверхні оброблюваних деталей і інструмента, підвищена напруга в електромережі, при якій може відбутися замикання через тіло людини.

При відсутності засобів захисту запиленість повітряного середовища в зоні дихання при фрезеруванні крихких матеріалів може перевищувати гранично допустимі концентрації.

При роботі тупим ріжучим інструментом відбувається інтенсивне нагрівання внаслідок чого з змащувально-охолоджуючої речовини виділяються шкідливі гази, що є хімічним шкідливим виробничим фактором. Аерозоль нафтових масел, що входять до складу змащувально-охолоджувальних рідин (ЗОР), може викликати подразнення слизових оболонок верхніх дихальних шляхів, сприяти зниженню імунобіологічної реактивності.

До психофізіологічних шкідливих виробничих факторів процесів обробки матеріалів різанням можна віднести фізичні перевантаження при установці, закріпленні і зніманні деталей, перенапруження зору, монотонність праці.

6.2 Організаційно-технічні рішення щодо безпеки праці та виробничої

В приміщенні механічної дільниці виконуються роботи середньої важкості (категорія II б). Енерговитрати від 200 до 250 ккал/год (232-293 Вт), робота виконується стоячи і пов'язана з ходьбою, перенесенням загострених інструментів, супроводжуються помірним фізичним навантаженням. Робота в позі стоячи призводить до швидкої втоми.

6.2.1 Мікроклімат

Мікроклімат виробничих приміщень залежить від швидкості руху повітря на дільниці та його прискорення. Зона відноситься до приміщень з незначними надлишками явного тепла 20ккал/м³ год. і менше. Отже, категорія робіт II б. робоче місце постійне. Оптимальні і допустимі показники приведені в табл. 6.1.

Таблиця 6.1 – Оптимальні і допустимі показники мікроклімату

Період року	Категорія робіт	Температура, °C		Відносна вологість, %		Швидкість руху повітря, м/с	
		оптим.	доп.	оптим.	доп.	оптим.	доп.
Холодний	П6	17-19	15-21	40-60	75	0,2	<0,4
Теплий	П6	20-22	16-27	40-60	70-25	0,3	0,2-0,5

Інтенсивність теплового опромінення працюючих від відкритих джерел не повинна перевищувати 100 Вт/м² при опроміненні тіла до 25%. Це забезпечується тим, що працівникам видають спеціальний одяг, який захищає людину від теплового опромінення. Джерела інтенсивного теплового опромінення огорожуються захисними огорожами.

В приміщенні механічного цеху встановлена система опалення на холодний період року, а саме: водяне опалення.

В виробничому цеху для нормального повіtroобміну використовують вентиляцію механічного і природного типу.

6.2.2 Освітлення

Природне освітлення на ділянці верхнє з боковим.

Нормування природного та штучного освітлення проводиться за:

- характеристика зорової роботи: робота дуже високої точності;
- найменший розмір об'єкту розрізnenня: від 0,15 до 0,3 мм;
- розряд зорової роботи: II б;
- вид природного освітлення: бокове;
- КПОН = 2,5% (для суміщеного освітлення КПОН = 1,5%);
- пояс світлового клімату – 4 (північніше 50° широти), коефіцієнт світового клімату $m = 0,9$;
- так як вікна орієнтовані на північ і південь, то азимут 90, звідки коефіцієнт сонячності $c = 0,75$;
- нормоване значення КПО для даного поясу світлового клімату – 1,0125%.

Штучне освітлення при загальному освітленні повинна дорівнювати 750 лк, при комбінованому 3000 лк.

На верстатах використовуємо для місцевого освітлення лампи розжарювання.

6.2.3 Шум

Джерелами шуму на розглядає мій дільниці є працююче обладнання, шум з сусідніх дільниць та шум допоміжного автотранспорту. Шум має великий вплив на працездатність людини.

Для постійних робочих місць у виробничих приміщеннях і території підприємства допустимі рівні звукового тиску наведені у таблиці 6.2.

Таблиця 6.2 – Допустимі рівні звукового тиску

Рівні звукового тиску, дБ, в октавних смугах з середньою герметичними частотами, Гц									Рівні звуку і еквівалентні рівні звуку, дБА
31,5	63	125	250	500	1000	2000	4000	8000	
31,5	63	125	250	500	1000	2000	4000	8000	
107	95	82	82	78	75	73	71	69	80

Для зниження шуму у виробничих приміщеннях застосовують: зменшення

рівня шуму в джерелі його виникнення; звукопоглинання і звукоізоляція; установка глушників шуму; раціональне розміщення обладнання; застосування засобів індивідуального захисту.

6.2.4 Вібрації

В механічному цеху на працівника, що працює за верстатом, може діяти локальна вібрація, яка передається через руки робітнику.

По часовій характеристиці – вібрація непостійна. По направленню дії вібрація відноситься до направленої вздовж осі передпліччя. Санітарні норми спектральних показників вібраційного навантаження на оператора верстата вказані в табл. 6.3.

Таблиця 6.3 – Санітарні норми спектральних показників вібраційного навантаження на оператора верстата

Категорія вібрацій по санітарним нормам і критерії оцінки	Характеристика умов праці	Джерела вібрації
3 тип «а»	Технологічні вібрації діючі на операторів стаціонарного обладнання або що передаються на робочі місця, які не мають джерел вібрації	Металорізальні верстати

Таблиця 6.4 – Санітарні норми однотипних показників вібраційного навантаження на оператора

Вид вібрації	Категорія вібрації по санітарним нормам	Напрямок дії	Нормативні і кореговані по частоті та еквівалентні кореговані значення			
			Вібраційне прискорення		Віброшвидкість	
			м/с ²	рівень дБ	м/с	рівень дБ
Локальна	3 тип "а"	Z_0, X_0, Y_0	2,0	126	2,0	112
			0,1	100	0,2	92

Заходи щодо захисту від вібрацій поділяються на технічні, організаційно-

технічні, лікувально-профілактичні.

Технічні заходи полягають у зниженні вібрації в джерелі її виникнення та зменшенні вібрації на шляхах її поширення від джерела.

Зменшення вібрації в джерелі її виникнення досягається шляхом застосування таких кінематичних та технологічних схем, які усувають чи мінімально знижують дію динамічних сил. Зменшення вібрації досягається також статичним та динамічним зрівноважуванням механізмів та об'єктів, що обертаються.

6.3 Організаційно-технічні рішення щодо забезпечення безпечної роботи

З метою захисту працівника від можливого отримання травм, пов'язаних з виділенням металічних частинок (стружки, осколків інструмента при його поломці), а також з розбризкуванням змащувально-охолоджувальної рідини при роботі на верстаті, передбачається індивідуальний захист працюючого – наявність захисного екрану, захисних окулярів. Робоче місце верстатника повинно бути закрите екраном для запобігання вилітання частинок стружки і уламків інструменту.

6.3.1 Електробезпека

Експлуатація більшості машин в механічному цеху пов'язана з використанням електричної енергії.

По степеню ураження електричним струмом механічний цех належить до приміщень з підвищеною небезпекою ураження людей електричним струмом тому що підлога бетонна, тобто струмоведуча.

В цілях захисту робочих проводять організаційні міри, такі як проведення інструктажів по техніці безпеки (ввідного, первинного, при необхідності повторного – позапланового, цільового), нанесення символів і інших запобіжних надписів на електроустановках. Верстат підключений до трифазного чотирьохпровідного джерела зі заземленою нейтраллю змінного струму

напругою 220/380 В, тому, необхідно використовувати занулення.

6.4 Пожежна безпека

Ступінь вогнестійкості будівлі – III – будівля з несучими і відгороджуючими конструкціями з природних та штучних матеріалів, несучі конструкції важкозгораємі.

Дільниця по небезпеці виникнення пожежі відноситься до категорії «Д» - виробництво, яке пов'язане з обробкою вогнетривких речовин і матеріалів у холодному стані.

Мінімальні межі вогнестійкості (в чисельнику) та максимальні межі розповсюдження вогню (в знаменнику) по СНиП 2.01.02-85 див. таблицю 6.5.

Таблиця 6.5 – Мінімальні межі розповсюдження та максимальні межі розповсюдження вогню

Ступінь вогнестійкості	Стіни				Колони	Драбинні площаадки	Іліти, настили, інш.	Плити, настили	Балки, ферми
	несучі	Самонесучі	Зовні несучі	Внутрішні несучі					
III	2 0	1 0	0,25...0,5 0...40	0,25 40	2 0	1 0	0,75 0	0,25 н.н.	н.н. н.н.

Примітка: н.н. – не нормується.

Ступінь вогнестійкості, допустиме число поверхів і площа поверху в межах пожежного відсіку.

Таблиця 6.6 – Ступінь вогнестійкості, допустиме число поверхів і площа поверху в межах пожежного відсіку

Категорія виробництва	Допустима кількість поверхів	Ступінь вогнестійкості будівлі	Площа в межах пожежного відсіку, м ²		
			Одноповерхові	Багатоповерхові	
				2 поверхи	3 і більше
Д	3	III	7800	6500	4500

Таблиця 6.7 – Типи пожежних перешкод

Ступінь вогнестійкості будівлі	Протипожежні перешкоди	Типи протипожежних перешкод	Мінімальні межі вогнестійкості перешкод, год
III	Протипожежні стіні Протипожежні перешкоді Протипожежні перекриття	1 2 2	0,25 0,25 1

На випадок виникнення пожежі повинна бути передбачена евакуація людей. Кількість еваковихідів – не менше 2.

Відстань від найбільш віддаленого робочого місця до найближчого еваковихіду для виробництва категорії Д не нормується.

Заходи проти виникнення пожежі, застосовані на дільниці: зберігання промаслених ганчірок, стружки у спеціально встановлених скриньках і захист провідників від короткого замикання та перевантаження – плавкі запобіжники.

Засоби пожежогасіння: протипожежний щит з ящиком з піском та лопатою; пінний вогнегасник ОВП-5; порошковий вогнегасник ОРК-5; багри; ломи; сокири; пожежні відра; пожежні крані.

5.5 Безпека у надзвичайних ситуаціях

Розрахунок режимів радіаційного захисту об'єкта господарювання.

5.5.1 Дія іонізуючих випромінювань на людей

Організм людини, рослинний і тваринний світ постійно зазнають дії іонізуючого випромінювання, яке складається з природної (космічне випромінювання, випромінювання радіоактивних газів з верхніх шарів земної кори) і штучної (рентгенівські апарати, телевізійні прилади, радіоізотопи, атомоходи, атомні електростанції, ядерні випробування) радіоактивності.

Усі джерела радіоактивного випромінювання становлять так званий природний радіаційний фон, під яким розуміють дозу іонізуючого випромінювання, що складається з космічного випромінювання, випромінювання природних радіонуклідів, які знаходяться у верхніх шарах Землі, приземній атмосфері, продуктах харчування, воді та організмі людини.

ВНТ

Радіоактивні речовини потрапляють у повітря, ґрунти, ріки, озера, моря, океани, а звідти поглинаються рослинами, рибами, тваринами і молюсками. Через листя і коріння радіоактивні речовини потрапляють у рослини, а потім в організм тварин і з продуктами рослинного та тваринного походження, з водою – в організм людини. При вивченні дії випромінювання на організм людини встановлено такі особливості:

- навіть незначна кількість поглиненої енергії випромінювання спричинює глибокі біологічні зміни в організмі;
- наявність прихованого (інкубаційного) періоду дії іонізуючого випромінювання;
- випромінювання має генетичний ефект;
- органи живого організму мають різну чутливість до випромінювання;
- окремі організми неоднаково реагують на опромінювання;
- опромінювання залежить від частоти, одноразове опромінювання у великій дозі спричинює більш глибокі зміни.

Радіоактивні речовини потрапляють в організм людини при вдиханні зараженого повітря, із зараженою їжею чи водою, крізь шкіру, відкриті рани. Проникненню радіоактивних забруднень крізь шкіру і рани можна запобігти, дотримуючись певних заходів захисту.

Основним джерелом опромінювання людини є радіоактивні речовини, які потрапляють з їжею. Ступінь небезпеки забруднення радіонуклідами залежить від частоти вживання забруднених радіоактивними речовинами продуктів, а також від швидкості виведення їх з організму. Якщо радіонукліди, які потрапили в організм, однотипні з елементами, що споживає людина з їжею (натрій, калій, хлор, кальцій, залізо, марганець, йод та ін.), то вони швидко виводяться з організму разом з ними.

5.5.2 Розрахунок режимів радіаційного захисту

Визначимо можливу дозу опромінення в заданих умовах радіаційного забруднення, які будуть працювати у звичайному режимі (2 зміни по 12 год.)

$$\Delta_m = \frac{1,33 \cdot p_{1\max} \cdot \left(\sqrt[4]{t_k^3} - \sqrt[4]{t_n^3} \right)}{K_{noc}} = \frac{1,33 \cdot 1,25 \cdot \left(\sqrt[4]{13^3} - 1 \right)}{8} = 1,16 \text{ mP},$$

де $t_n=1$ год. – час початку роботи після радіоактивного забруднення;

$t_k=1+12=13$ год. – час завершення роботи першої робочої зміни після радіоактивного забруднення;

$p_{1\max}=1,25$ мР/год. – рівень радіації через одну годину після радіоактивного забруднення;

$K_{noc}=8$ – коефіцієнт послаблення радіації виробничим приміщенням.

Визначимо граничне значення рівня радіації, при якому можлива робота в звичайному режимі

$$p_{ep} = \frac{\Delta_{don} \cdot K_{noc}}{1,33 \cdot \left(\sqrt[4]{t_k^3} - \sqrt[4]{t_n^3} \right)} = \frac{0,75 \cdot 8}{1,33 \cdot \left(\sqrt[4]{13^3} - \sqrt[4]{1^3} \right)} = 0,77 \text{ mP / год.}$$

Можлива доза опромінення $\Delta_m > \Delta_{don}$ ($1,16 > 0,75$) та рівень радіоактивного забруднення $p_{1\max} > p_{ep}$ ($1,2 > 0,77$) перевищують дозволені норми. Для продовження виробничої діяльності об'єкта необхідно введення в дію режимів радіаційного захисту.

Розрахунок режимів радіаційного захисту проведемо в такій послідовності.

Визначаємо час початку роботи першої зміни, для цього знаходимо коефіцієнт α :

$$\alpha = \frac{\Delta_{don} \cdot K_{noc}}{1,33 \cdot p_{1\max}} = \frac{0,75 \cdot 8}{1,33 \cdot 1,25} = 3,75.$$

Згідно довідниковых даних час початку роботи першої скороченої зміни $t_n=1$ год.

Для 1-ї скороченої зміни: $t_{n1} = 1$ год.

Час закінчення роботи зміни

$$t_{k1} = \left(\frac{\Delta_{don} \cdot K_{noc} + 1,33 \cdot p_{1\max} \cdot \sqrt[4]{t_{n1}^3}}{1,33 \cdot p_{1\max}} \right)^{\frac{4}{3}} = \left(\frac{0,75 \cdot 8 + 1,33 \cdot 1,25 \cdot \sqrt[4]{1^3}}{1,33 \cdot 1,25} \right)^{\frac{4}{3}} = 7,96 \approx 7,5 \text{ год.}$$

Тривалість роботи зміни $t_{p1} = t_{k1} - t_{n1} = 7,5 - 1 = 6,5$ год.

Можлива доза опромінення зміни

$$\mathcal{D}_{m1} = \frac{1,33 \cdot p_{1\max} \cdot \left(\sqrt[4]{t_{k1}^3} - \sqrt[4]{t_{n1}^3} \right)}{K_{nosl}} = \frac{1,33 \cdot 1,25 \cdot \left(\sqrt[4]{7,5^3} - \sqrt[4]{1^3} \right)}{8} = 0,72 \text{ MP} .$$

Для 2-ї зміни: $t_{n2} = t_{n1} + t_{p1} = 1 + 6,5 = 7,5$ (год.)

Час закінчення роботи зміни

$$t_{k2} = \left(\frac{\mathcal{D}_{don} \cdot K_{noc} + 1,33 \cdot p_{1\max} \cdot \sqrt[4]{t_{n2}^3}}{1,33 \cdot p_{1\max}} \right)^{\frac{4}{3}} = \left(\frac{0,75 \cdot 8 + 1,33 \cdot 1,25 \cdot \sqrt[4]{7,5^3}}{1,33 \cdot 1,25} \right)^{\frac{4}{3}} = 16,6 \approx 16,5 \text{ год.}$$

Тривалість роботи зміни $t_{p2} = t_{k2} - t_{n2} = 16,5 - 7,5 = 9$ (год.)

Можлива доза опромінення зміни

$$\mathcal{D}_{m2} = \frac{1,33 \cdot p_{1\max} \cdot \left(\sqrt[4]{t_{k2}^3} - \sqrt[4]{t_{n2}^3} \right)}{K_{nosl}} = \frac{1,33 \cdot 1,25 \cdot \left(\sqrt[4]{16,5^3} - \sqrt[4]{7,5^3} \right)}{8} = 0,72 \text{ MP} .$$

Для 3-ї зміни: $t_{n3} = t_{n2} + t_{p2} = 7,5 + 9 = 16,5$ (год.)

Час закінчення роботи зміни

$$t_{k3} = \left(\frac{\mathcal{D}_{don} \cdot K_{noc} + 1,33 \cdot p_{1\max} \cdot \sqrt[4]{t_{n3}^3}}{1,33 \cdot p_{1\max}} \right)^{\frac{4}{3}} = \left(\frac{0,75 \cdot 8 + 1,33 \cdot 1,25 \cdot \sqrt[4]{16,5^3}}{1,33 \cdot 1,25} \right)^{\frac{4}{3}} = 27,05 \approx 27 \text{ год.}$$

Тривалість роботи зміни $t_{p3} = t_{k3} - t_{n3} = 27 - 16,5 = 10,5$ (год.)

Можлива доза опромінення зміни

$$\mathcal{D}_{m3} = \frac{1,33 \cdot p_{1\max} \cdot \left(\sqrt[4]{t_{k3}^3} - \sqrt[4]{t_{n3}^3} \right)}{K_{nosl}} = \frac{1,33 \cdot 1,25 \cdot \left(\sqrt[4]{27^3} - \sqrt[4]{16,5^3} \right)}{8} = 0,746 \text{ MP} .$$

Для 4-ї зміни: $t_{n4} = t_{n3} + t_{p3} = 16,5 + 10,5 = 27$ (год.)

Час закінчення роботи зміни

$$t_{k4} = \left(\frac{D_{don} \cdot K_{noc} + 1,33 \cdot p_{1\max} \cdot \sqrt[4]{t_{n4}^3}}{1,33 \cdot p_{1\max}} \right)^{\frac{4}{3}} = \left(\frac{0,75 \cdot 8 + 1,33 \cdot 1,25 \cdot \sqrt[4]{27^3}}{1,33 \cdot 1,25} \right)^{\frac{4}{3}} = 38,93 \approx 39 \text{ год.}$$

Тривалість роботи зміни $t_{p4} = t_{k4} - t_{n4} = 39 - 27 = 12$ (год.)

Можлива доза опромінення зміни

$$D_{m4} = \frac{1,33 \cdot p_{1\max} \cdot \left(\sqrt[4]{t_{k4}^3} - \sqrt[4]{t_{n4}^3} \right)}{K_{осл}} = \frac{1,33 \cdot 1,25 \cdot \left(\sqrt[4]{39^3} - \sqrt[4]{27^3} \right)}{8} = 0,76 \text{ мР.}$$

Роботу в дві зміни на підприємстві можна буде розпочинати через 16,5 год. після радіоактивного забруднення. Для захисту працівників в таких умовах роботи доцільно вжити таких заходів: незайнятих на виробництві працівників евакуювати; забезпечити працівників засобами індивідуального захисту; систематично проводити прибирання у виробничих приміщеннях; провести герметизацію виробничого приміщення та встановити протипилові фільтри у вентиляційну систему; провести йодну профілактику персоналу; максимально обмежити пересування працівників по відкритій місцевості.

ВИСНОВКИ

В результаті виконання магістерської кваліфікаційної роботи отримані такі результати.

1. Здійснено техніко-економічне обґрунтування вибору теми дипломного проекту, яке підтвердило доцільність розробки заданого пристрою;
2. Проаналізовано застосування промислових роботів в РТК штампування, встановлено вимоги до захватних пристрій промислових роботів, що входять в склад РТК, здійснено вибір найбільш ефективного захватного пристрою, в якому використано вакуумне протягування заготовки;
3. Розглянуто особливості виконання розрахунків притягувальних захватних пристрій, визначено методику розрахунку вакуумних захватних пристрій, за допомогою якої розраховано необхідні параметри розроблюваного пристрою;
4. Розроблена конструкція вакуумного захватного пристрою для РТК штампування з листової заготовки, створена 3D модель захватного пристрою;
5. Розроблено математичну модель вихрового вакуумного захоплювального пристрою промислового робота, яка дозволяє визначити несівну здатність ЗП та оптимізувати конструктивні параметри. На основі аналізу економічних розрахунків встановлено економічну ефективність та доцільність застосування розробленої конструкції в РТК штампування для відповідних типів заготовок. Визначено величину приведеного прибутку, який може отримати виробник від реалізації нового технічного рішення, який складатиме 28608 грн., знайдено термін окупності витрат для виробника, що становить 1,8 роки та величину абсолютної ефективності вкладених інвестицій у розробку захватного пристрою робота для роботизованого технологічного комплексу холодного листового штампування, яка склала 21004 грн.
6. Розроблені заходи щодо охорони праці на робочому місці, визначено всі необхідні характеристики, що забезпечують комфортне та безпечне виконання робіт.

СПИСОК ЛІТЕРАТУРИ

1. Гибкие производственные системы: [Учеб. Пособие для машиностроительных ВУЗов]/П.Н. Белянин, М.Ф. Идзон, А.С.Жогин.- М.:Машиностроение, 1998.-256 С.: ил.

2. Козловський В. О. Техніко-економічні обґрунтування та економічні розрахунки в дипломних проектах та роботах. / В. О. Козловський, Навч. посібник. – Вінниця: ВДГУ, 2003. – 75 с.

4. Роботизированные технологические комплексы и гибкие производственные системы в машиностроение: Альбом схем и чертежей: Учеб. Пособие для втузов / Ю. М. Соломенцев, К. П. Жуков, Ю. А. Павлов и др.; Под общ. ред. Ю. М. Соломенцева. – М.: Машиностроение, 1989. – 192 с.: ил.

3. http://www.equipnet.ru/bu/metal/metal_2595.html

4. Механика промышленных роботов: Учебное пособие для втузов: В 3 кн./ Под ред. К.В. Фролова, Е.И. Воробьёва – М.: Высш. шк., 1988. – т.1 – 304с.; т.2 – 367с.

5. Попов, Е.П. Основы робототехники. Введение в специальность / Е.П. Попов,

Г.В. Письменный. – М.: Высш. шк., 1990. – 224 с.

6. Детали и механизмы роботов. Основы расчёта, конструирования и технологии производства: Учеб. пособие/ Р.С. Веселков, Т.Н. Гонтаровская, В.П. Гонтаровский и др.; Под ред. Б.Б. Самоткина – К.: Высшая шк., 1990 – 343.

7. Промышленные роботы в машиностроении: Альбом схем и чертежей: Учеб. пособие для втузов/ Ю.М. Соломенцев и др.; под общей ред. Ю.М. Соломонцева – М.: Машиностроения, 1986 – 140с.

8. Детали и механизмы роботов. Основы расчета, конструирования и технологии производства: Уч. пособие / В. С. Веселков, Г. Н. Гантаровская, Я. П. Гонтаровский и др. под ред. Б. Б. Самотокина, - К.: Высшая шк.1980. – 343 с.

9. Спину Г. А. Промышленные роботы. Конструирование и применение / Под. ред. В. А. Костюка – К.: Выща шк., 1991. – 176 с.

10. Кобрынский А. А., Кобрынский А. Е. Манипулярные системы роботов. Основы устройства, элементы теории. М.: Наука, 1985. – 344 с.
11. Промышленные роботы. Конструирование, управление и эксплуатация / В. И. Костюк, А. П. Гаврыш, В. Я. Ямпольский, А. В. Карлов. – К.: Вища школа, 1985. – 357 с.
12. Механика промышленных роботов: учебное пособие для втузов в 3-х томах.: / Под ред. К. В. Фролова, В. И. Воробьева М.: Высшая школа, 1985. – 394 с; 357 с; 383 с.
13. Поліщук Л. К., Вергатні комплекси. Проектування роботів та маніпуляторів. Частина 1: навчальний посібник – Вінниця, ВНТУ 2018. – 132 с.
14. Павлище В. Т. Основи конструювання та розрахунку деталей машин / Павлище В. Т. Підручник. – 2-е вид. перераб. – Львів: Афіша, 2003. – 560 с.
15. Иосилевич Г. Б. Детали машин: Учебник для студентов машиностроительных строит. спец. вузов / Иосилевич Г. Б. – М. Машиностроение, 1988. – 368 с.
16. Проектирование технологических процессов механической обработки в машиностроении. : Учеб. пособие / В.В.Бабук, В.А.Шкред, Г.П.Кривко. ; Под ред. В.В.Бабука. – Мн. : Высш. школа, 1987 – 255с.
17. Под ред. А.Ф. Горбацевича. Курсовое проектирование по технологии машиностроения – Минск, «Высшая школа», 1975.
- 18.Металлорежущие станки: Учебник для машиностроительных втузов Под ред. В. Э. Пуша, — М.: Машиностроение, 1985. – 256 с.
19. Режими резания металлов: Справочник /Под ред. Ю.В.Барановского. – М.: Машиностроение, 1972. – 407 с., ил.
20. Расчёт экономической эффективности новой техники; Справочник (Под общей редакцией К.М.Великанова, 2-е изд. перераб. и доп. – Л. ; Машиностроение, 1990 – 448с.).
21. Методичні вказівки до опрацювання розділу “Безпека життєдіяльності” в дипломних проектах і роботах студентів машинобудівних

спеціальностей /Улад. О.П. Терещенко, О.В. Кобилянський. – В.: ВНТУ, 2007 –

95с.

22. Лабораторний практикум з дисципліни “Основи охорони праці” /Є.А. Бондаренко, З.П. Якубович. – В.: ВДТУ, 2000 – 95 с.3
23. ГОСТ 12.1.013 - 78. ССБТ. Строительство. Електробезопасность. Общие требования
24. ГОСТ 12.1.005 - 88. ССБТ. Воздух рабочей зоны. Общие санитарно-гигиенические требования.
25. ГОСТ 12.1.005.88 ССБТ. Общие санитарно-гигиенические требования к воздуху рабочей зоны.
26. СН и П II – 4 – 79/85 Естественное и искусственное освещение. Нормы проектирования.
27. ГОСТ 12.1.003 – 83 Шум. Общие требования безопасности.
28. ГОСТ 12.1.004 – 91 ССБТ Пожарная безопасность. Общие требования.
29. В.Ф. Сакевич. Основи розробки питань півільної оборони в дипломних проектах. Навчальний посібник – Вінниця ВДТУ, 2001 – 109с.
30. Обертюх Р.Р., Кухарчук В.В., Ігнатенко О.Г. Методики вказівки до оформлення дипломних проектів (робіт) для студентів всіх спеціальностей, Вінниця ВДТУ, 2002 – 53с.

ДОДАТОК А
(обов'язковий)

Вінницький національний технічний університет

Затверджую
Завідувач кафедри ГМ
д.т.н., проф. Л.К. Поліщук

«___» _____ 2020р.

ТЕХНІЧНЕ ЗАВДАННЯ
на магістерську кваліфікаційну роботу
РОЗРОБКА ЗАХОПЛЮВАЛЬНОГО ПРИСТРОЮ ПРОМИСЛОВОГО
РОБОТА ДЛЯ ШТАМПУВАЛЬНИХ ОПЕРАЦІЙ
08-27.МКР.009.00.000 ПЗ

Керівник роботи
д.т.н., професор Поліщук Л.К.
Розробив: ст. гр. 1ГМ-19м
Торський М.В..

Вінниця 2020

ВНТУ

1. Найменування і область застосування

Розроблено конструкцію захоплювального пристрою вакуумного типу промислового робота для штампувального РТК.

2. Підстави для розробки

Індивідуальне завдання на дипломний проект, затверджене наказом по ВНТУ № 214 від 25 вересня 2020 р.

3. Мета та призначення розробки

Метою дипломного проекту є розробка конструкції захоплювального пристрою промислового робота для штампувальних операцій як складової РТК штампування.

4. Джерела розробки

Розробка виконується на основі вивчення новітніх досягнень в області машинобудування та робототехніки, патентних та науково-технічних матеріалів відомих конструкцій, особливостей експлуатації промислових роботів в різних технологічних умовах, а також відомок конструкцій механізмів повороту, наведених в наступних роботах:

1. Детали и механизмы роботов. Основы расчета, конструирования и технологии производства: Уч. пособие / В. С. Веселков, Г. Н. Гантаровская, Я. П. Гонтаровский и др. под ред. Б. Б. Самотокина, - К.: Высшая школа. 1980. – 343 с.
2. Кобрынский А. А., Кобрынский А. Е. Манипулярные системы роботов. Основы устройства, элементы теории . М.: Наука, 1985. – 344 с.
3. Промышленные роботы. Конструирование, управление и эксплуатация / В. И. Костюк, А. П. Гаврыш, В. Я. Ямпольский, А. В. Карлов. – К.: Выща школа. 1985 – 357 с.

- ВНТУ,**
- ПІДПИСЬ**
- ЗАКЛЮЧЕННЯ**
4. Механика промышленных роботов: учебное пособие для вузов в 3-х томах.: / Под ред. К. В. Фролова, В. И. Воробьева М.: Высшая школа, 1985. – 394 с; 357 с; 383 с.
 5. Поліщук Л. К., Верстатні комплекси. Проектування роботів та маніпуляторів. Частина 1: навчальний посібник – Вінниця, ВНТУ 2018. – 132 с.
 6. Роботизированные технологические комплексы и гибкие производственные системы в машиностроение: Альбом схем и чертежей: Учеб. Пособие для вузов / Ю. М. Соломенцев, К. П. Жуков, Ю. А. Павлов и др.; Под общ. ред. Ю. М. Соломенцева. – М.: Машиностроение, 1989. – 192 с.: ил.
 7. Проектирование технологических процессов механической обработки в машиностроении. : Учеб. пособие / В.В.Бабук, В.А.Шкред, Г.П.Кривко. ; Под ред. В.В.Бабука. – Мн. : Высш. шк. 1987 – 255с.
 8. Методичні вказівки до опрацювання розділу “Безпека життєдіяльності” в дипломних проектах і роботах студентів машинобудівних спеціальностей /Улад. О.П. Терещенко, О.В. Кобилянський. – В.: ВНТУ, 2007 – 95с.
 9. Козловський В. О. Техніко-економічні обґрунтування та економічні розрахунки в дипломних проектах та роботах. / В. О. Козловський, Навч. посібник. – Вінниця: ВДТУ, 2003. – 75 с.

5 Технічні вимоги

5.1 Склад конструкції і вимоги до конструктивної будови

5.1. Захоплювальний пристрій повинен складатися з таких елементів:

- корпуса;
- чотирьох вакуумних присмоктувачів;
- приєднувальних трубопроводів;
- хвостовика із з'єднувальною поверхнею, узгодженою з поверхнею спряження робота FS20C.

5.2 Показники призначення:

найбільший габарит, мм – 540×436×340;

5.3 Вимоги до конструкції та експлуатації розробки:

– вантажопідйомальність, кг

номінална - 7;

максимальна - 18;

– тип привода – пневматичний;

5.4 Вимоги до надійності:

– довговічність – 10000 год;

– безвідмовність роботи – не нижче 0.95;

– ремонтопридатність – компонувка модуля повинна задовільнити вимозі мінімальної трудомісткості і варгості ремонту, а деталі цих вузлів, що мають найменшу ймовірність безвідмовної роботи, повинні бути легко доступними для демонтажу та монтажу;

– збережність – конструкція модуля повинна зберігати роботоздатний стан після транспортування та установленого терміну зберігання на складі.

5.5 Вимоги до рівня уніфікації та стандартизації.

При розробці захоплювального пристрою промислового робота необхідно по можливості максимально використовувати стандартні вироби та уніфіковані деталі для різних вузлів.

6. Економічні показники.

Очікуваний економічний ефект при впровадженні захоплювального пристрою промислового робота у виробництво складає 21004 грн. в ціні виробу для споживача. Це дасть змогу окупити вкладені на розробку кошти за 1,8 року, що менше нормативного терміну окупності, який складає 4...5 років.

7. Стадії і етапи розробки проекту

- ~~ВНІТРІШНІЙ АУДИТОРІЙ~~
- 1) постановка задачі та техніко-економічне обґрунтування проекту;
 - 2) аналіз відомих технічних рішень;
 - 3) виконання розрахунково-конструкторського розділу;
 - 4) виконання технологічного розділу;
 - 5) розробка економічної частини проекту;
 - 6) охорона праці та безпека у надзвичайних ситуаціях;
 - 7) цивільний захист.

8. Порядок контролю та прийому.

Порядок контролю та прийому магістерської кваліфікаційної роботи визначається графіком консультацій, попереднього захисту проекту, який затверджується кафедрою ГМ та остаточного захисту перед ДЕК. Корегування стадій та етапів виконання проекту може проводитись при узгодженні з керівником проекту.

ВНТУ, ГАЛУЗЕВЕ МАШИНОБУДУВАННЯ

08-27MKP:009:00:0001

Created by Universal Document Converter

Аналіз відомих технічних рішень

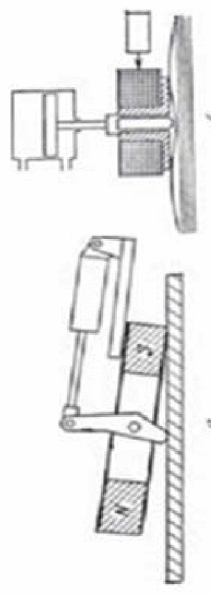


Рисунок 1 - Схеми магнітних ЗП

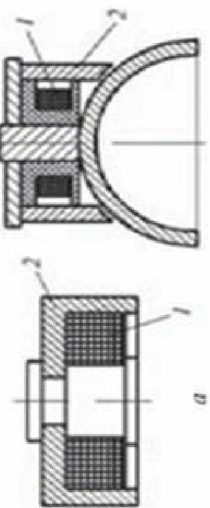


Рисунок 2 - Електромагнітні ЗП

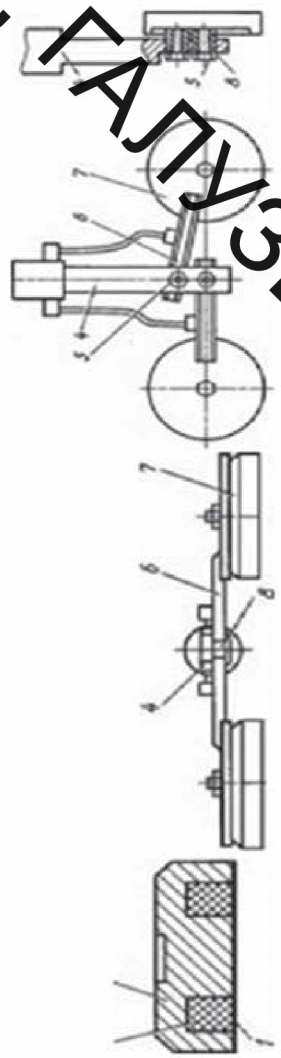


Рисунок 3 - Різновиди конструкцій та елементів електромеханічних захватних пристрій

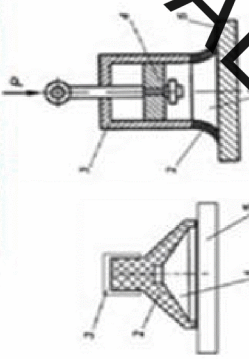


Рисунок 4 - Пасивні вакуумні пристрії захвату з корпусом з еластичного матеріалу

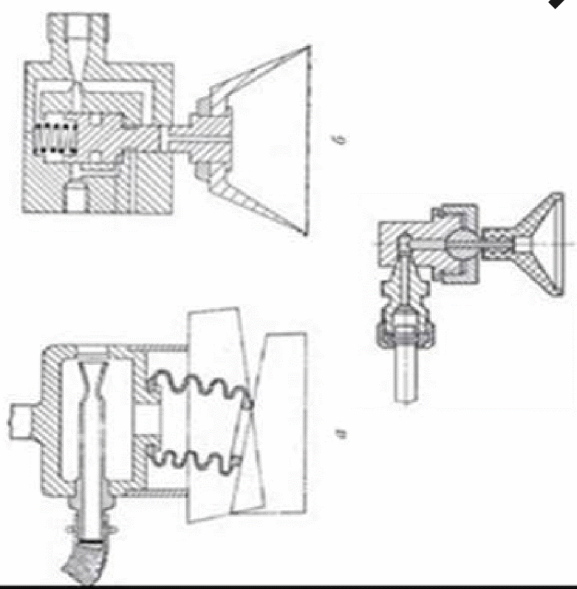


Рисунок 6 - Активні вакуумні ЗП простотої дії

Рисунок 5 - Замикачі захватін
пневматичних захватних
пристроїв

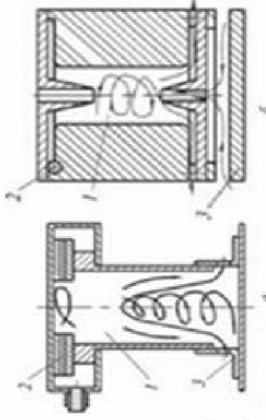


Рисунок 8 - Вихрові захватні
пристрої з пневматичним
вихроутворенням

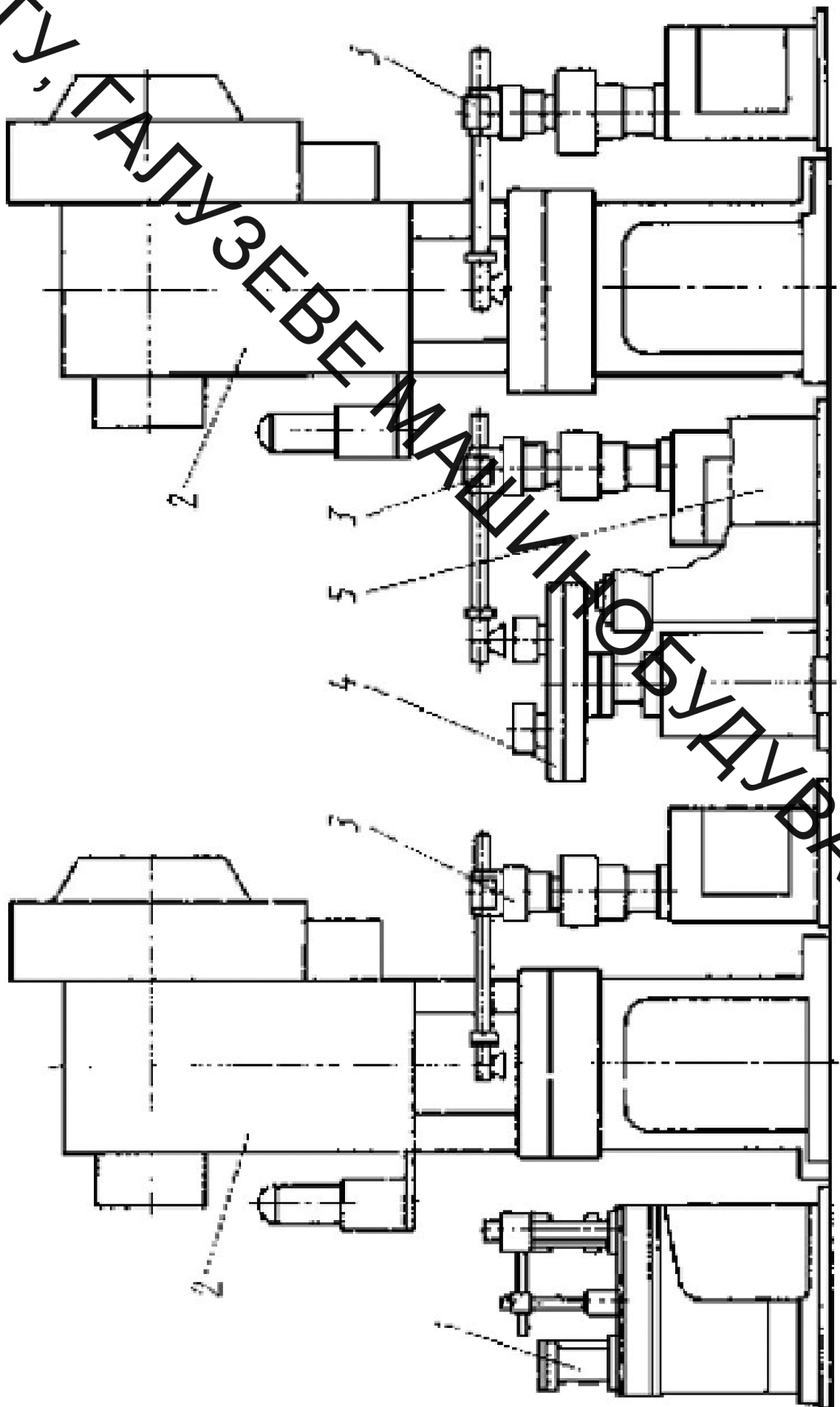


Рисунок 7 - Вакуумні струменеві ЗП

08-27MKP00900.00012

Created by Universal Document Converter

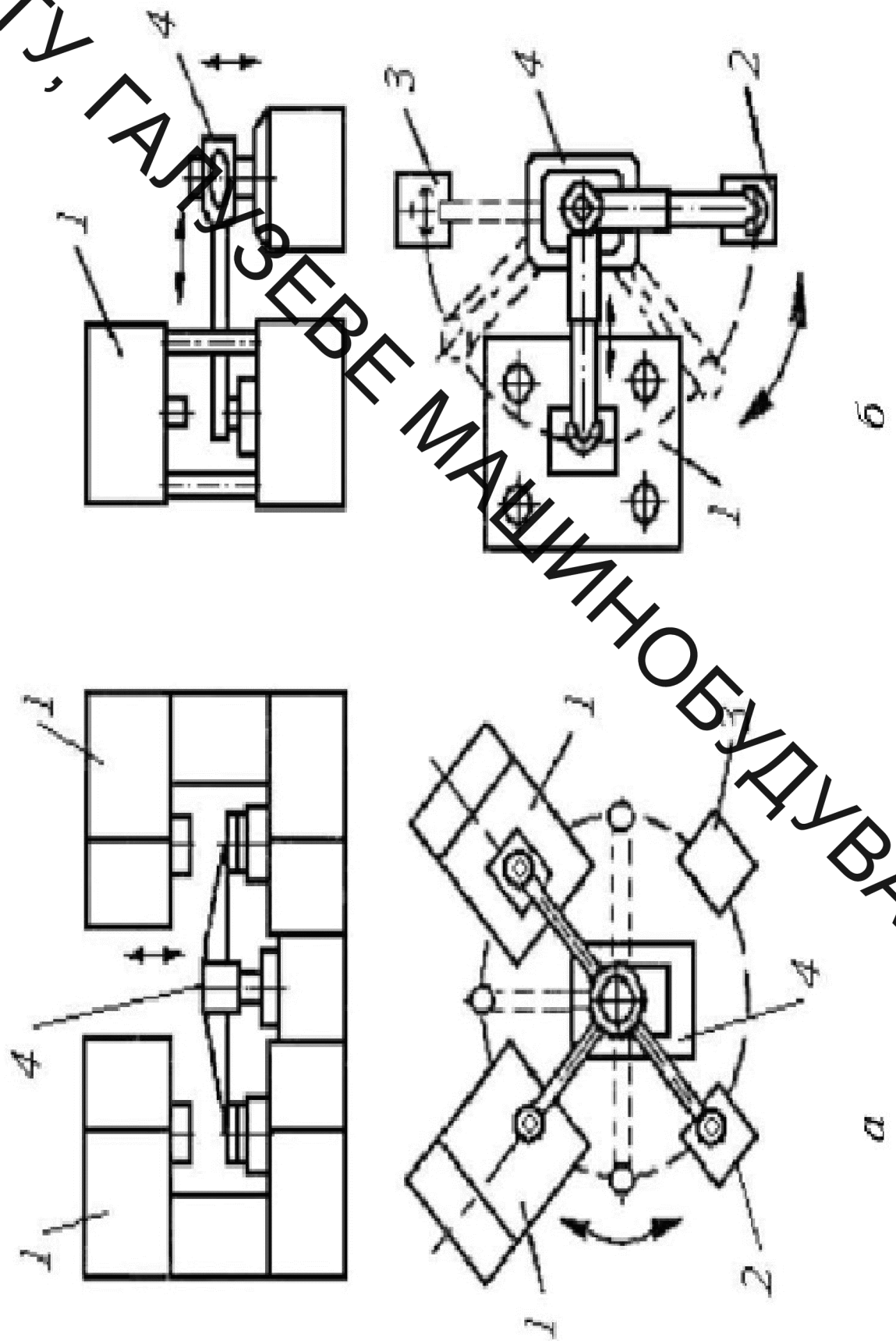
Рисунок 2.1. РКК для одно- і двохочергового штампування
на основі робота «Гном-32»



ВНТУ, ГАЛУЗЕВЕ МАШИНОБУДУВАННЯ

08-27MKP.009.00.00073

Рисунок 2.2 Схеми РТМ для холодного листового штампування:
 а - з двома косольними пресами і трируким ПР;
 б - з одним звостояковим пресом і дворуким ПР

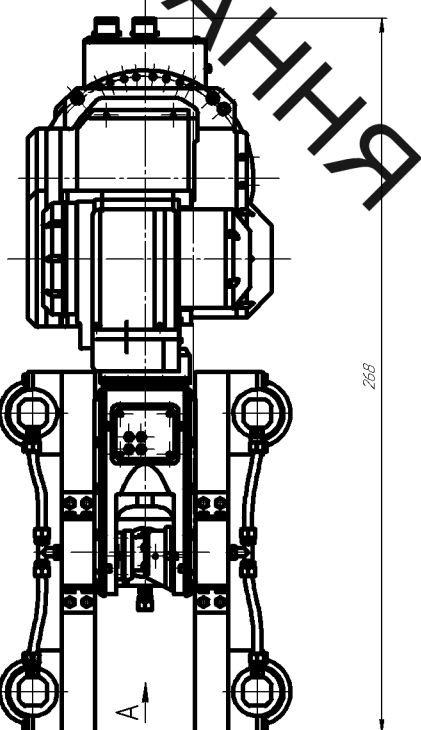
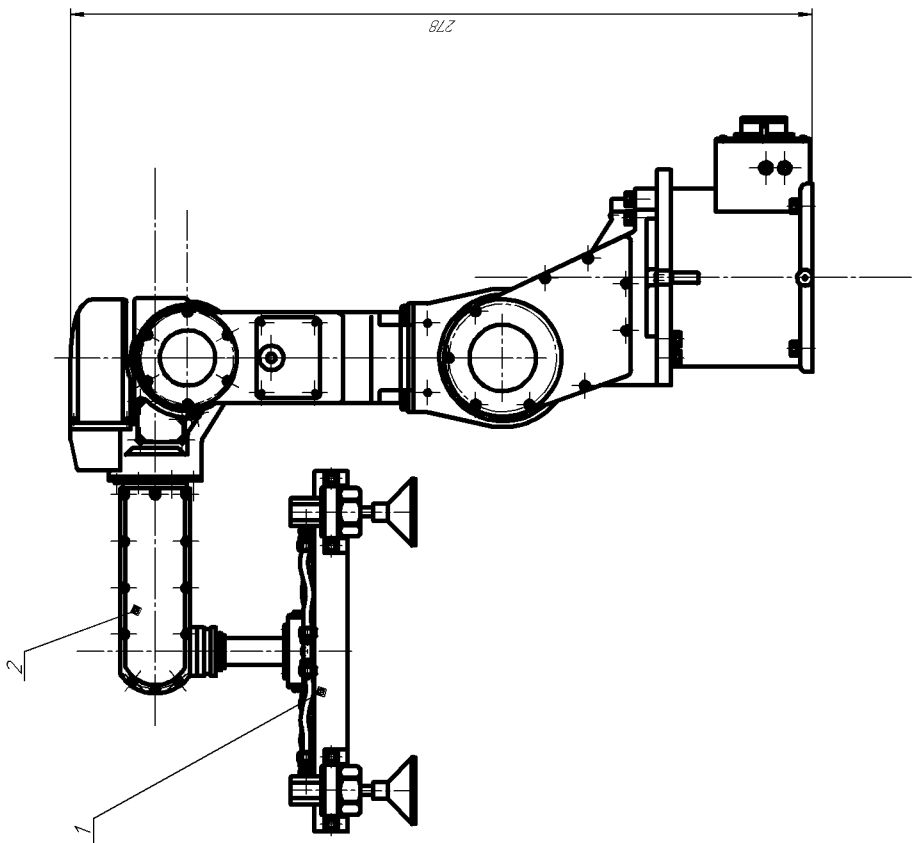


Technical drawing showing two views of a mechanical assembly. The top view illustrates a complex arrangement of components including a motor, gears, and a pump. Dimensions shown include 776 mm width, 263 mm height, and 220 mm depth. The bottom view shows a side profile of a similar assembly with a width of 278 mm. A large diagonal watermark across the drawing reads 'ВНТУ' and 'ЗЕМАШИНОБУДУВАННЯ'. To the right of the drawing is a table of technical parameters:

Параметр	Значення	Означення
Кодичне наявнотаєчте, кг	20	Технічно характеристика
Розмір зонди, мм	300	
Точність позиційних функцій, мм	±0,1	
Максимальна відстань між центральними майданчиками, мм/сек	690	
Активність осей	6	
Розмір терморитури, мм	0,45	
Рівень функціональної надійності, %	35-45	
Спосіб упаковування	пакетом	
Маса продукту, кг	275	

1. Робота може бути підключена до підприємствами харчової
промисловості та підприємствами залізничного транспорту.
2. На роботі не дозволено працювати трохи більші за 3000 годин.

08-27MKP00900000 В3



Created by Universal Document Converter

Справ №	Перв. применч.	Обозначение	Наименование	Приме-
				чание
			<u>Документация</u>	
A1		08-27.MKR.009.00.000 В3	Робот із захватним пристроєм	
			<u>Деталі</u>	
1		08-27.MKR.009.01.000	Захватний пристрій	1
2		08-27.MKR.009.02.000	Робот	1
			<u>МАШИНА</u>	

08-27 MKP.009.00.000 B3

Робот із захвачним пристроєм

1 08-27.MKP.0090.000

Захватний пристрій

2 08-27.MKP.009.02.000

Родом

7

1

08-27.MKP.009.00.000

Изм. Лист № докум. Подп Дата

Разраб Тарський М.В.

Проб. Поліщук Л.К.

Ім'я та прізвище АК

Робот FS20C із захватним пристроям

ВНТЧ, зп. 1ГМ-19М

Document Converter

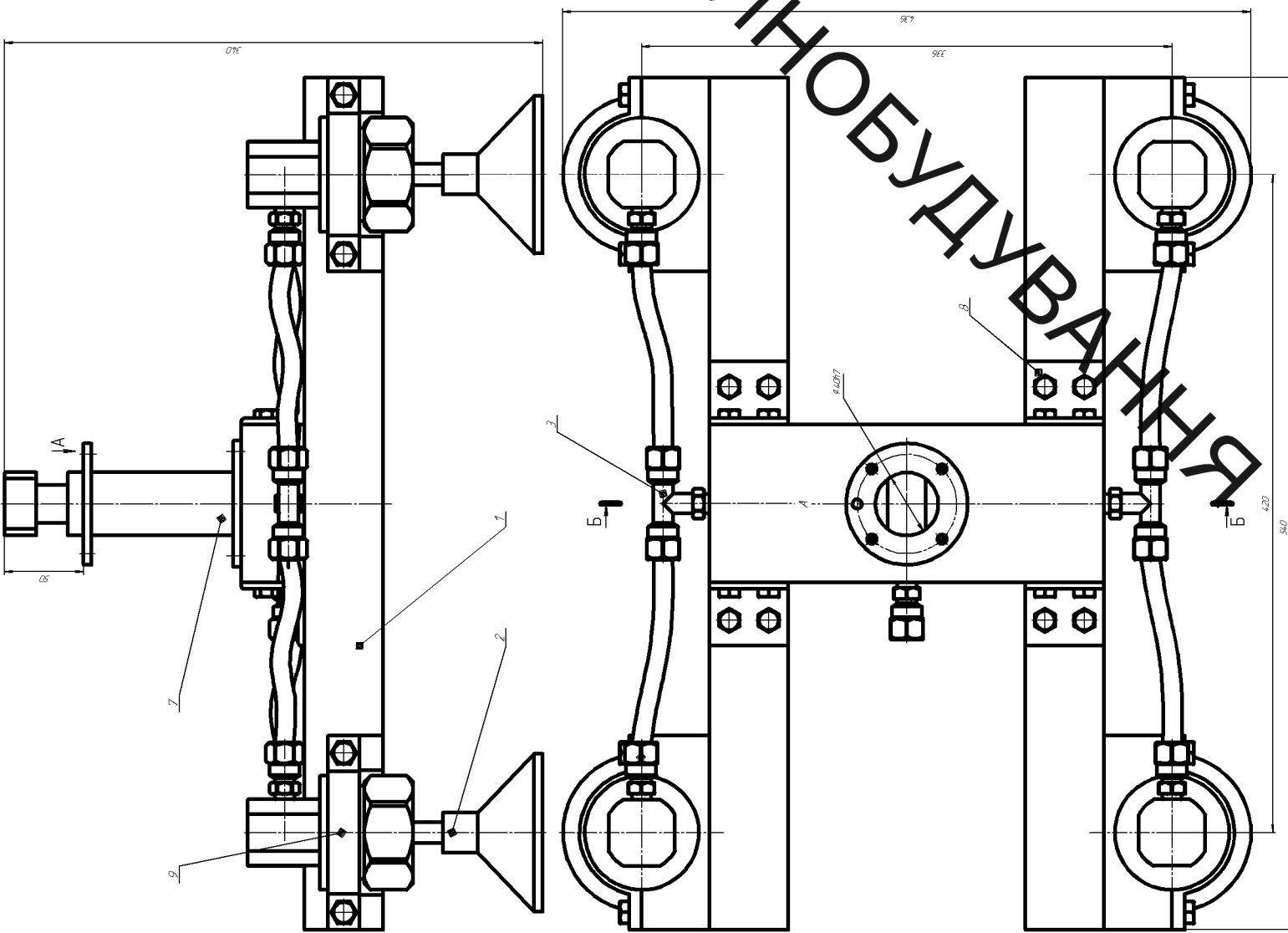
Формат A4

Technical drawing showing a mechanical assembly with various dimensions and a cross-sectional view. The main drawing includes dimensions: 37.23, 39.4, 26.03, 14.66, 117.99, 66.59, 234, 220, 24.3, 370°, 275°, and 225°. A cross-sectional view at the top shows internal components with dimensions 37.23, 39.4, 26.03, 14.66, 117.99, 66.59, 234, 220, 24.3, 370°, 275°, and 225°. A callout 'A-A' points to a circular detail with outer diameter Ø63, inner hole Ø16, and a dimension L=45. A note indicates a tolerance of ±0.022. A large diagonal watermark 'ВНТУ' is present across the drawing.

This technical drawing illustrates a mechanical assembly, likely a component of a larger machine or vehicle. The drawing features several key elements and associated dimensions:

- Front Support:** A horizontal beam at the bottom left is labeled with a thickness of 100 and a width of 100 .
- Base:** A rectangular base plate is positioned centrally, with a height of 110 and a width of 110 .
- Shaft:** A vertical shaft extends from the base, featuring a diameter of 50 and a shoulder angle of 50° .
- Shaft Support:** A support structure for the shaft is located on the right side, with a height of 257 and a width of 150 .
- Curved Guide:** A large, semi-circular curved guide is positioned above the base, with a radius of $R 553$.
- Angular Dimensions:** Various angular measurements are indicated: 105° , 105° , 105° , 105° , 123° , 150° , 150° , 150° , and 150° .
- Material:** The material is identified as **сталь 20** (Steel 20).

The figure consists of two technical drawings of a mechanical assembly. The top drawing is a circular cross-section labeled A-A, showing a central hole with a diameter of $\phi 63$. Around this are two concentric circles of holes: an inner circle with a diameter of $\phi 40$ and an outer circle with a diameter of $\phi 67$. The distance between the two circles is $\phi 0.02$. The bottom drawing is a front view cross-section showing a rectangular housing with various internal features and a flange at the bottom. Dimensions shown include a height of 150° from the base, a width of 150° , and a thickness of 550 .



Created by Universal Document Converter

08-27.MKP.009.00.000

Вакуумний захватний

ВИТЧ цп. зп. 1ГМ-19М

B
A

№ подп.	Подп. и дата	Взам. шифр №	№ обр. и дата

Формат	Лист	Обозначение	Наименование	Кол.	Примечание
			Шайбы ГОСТ 6402-70		
	15	M8-7H.5		12	
	16	M10-7H.5		4	

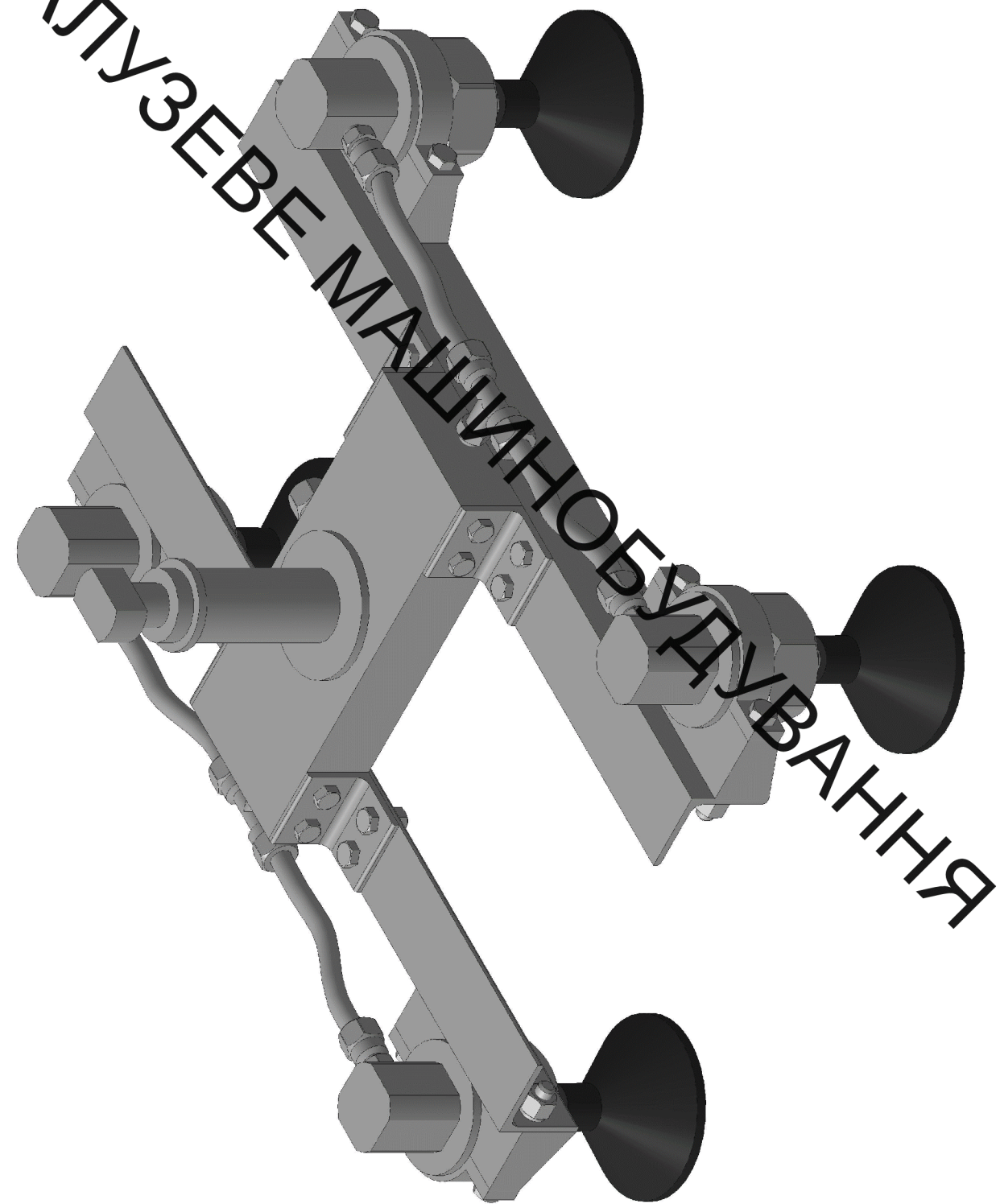
08-27.MKP.009.00.000

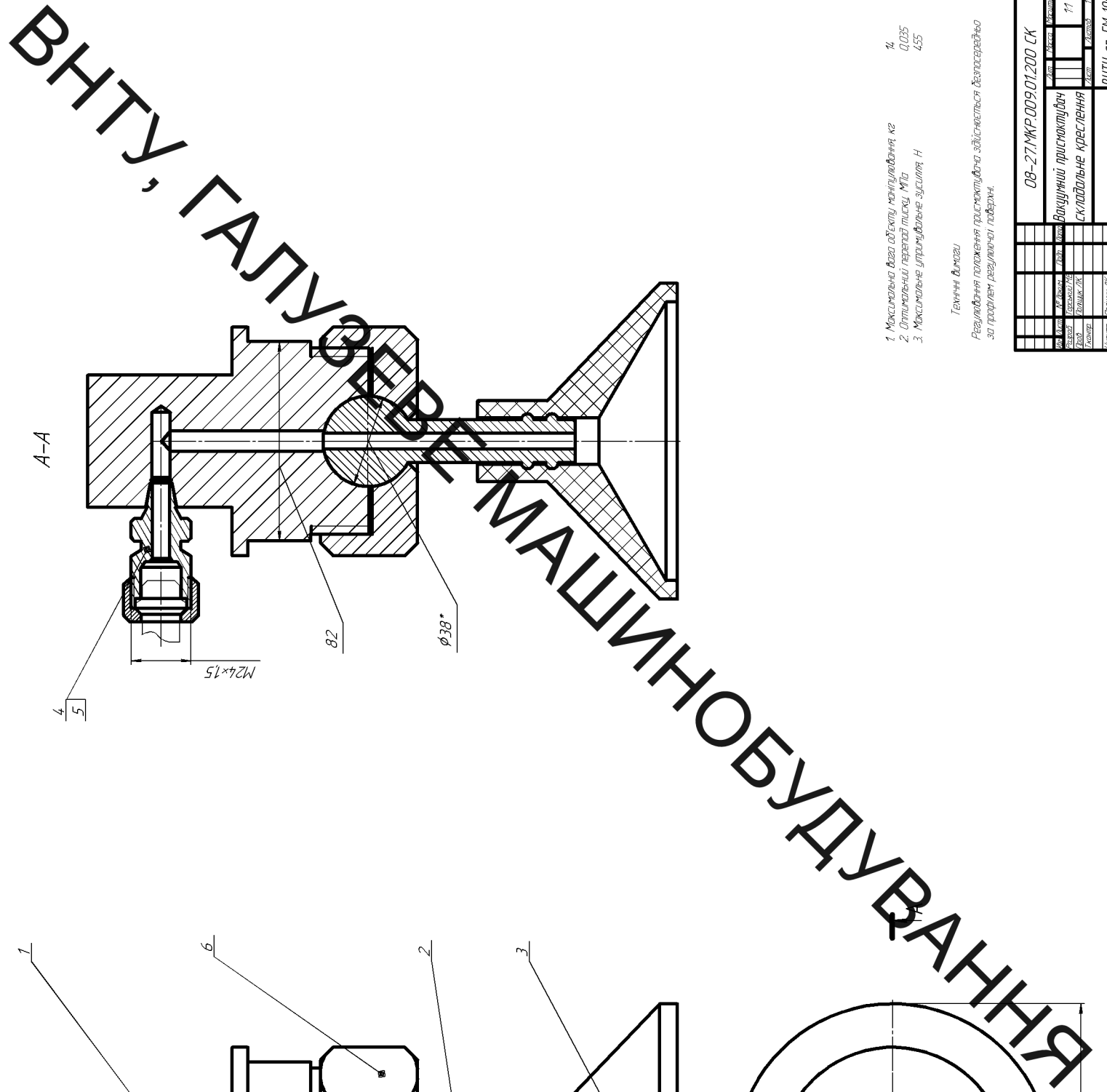
Created by Universal Document Converter

ВНТУ, ГАЛУЗЕВЕ МАШИНОБУДУВАННЯ

08-27MKP00900.00014

3D модель захватного пристрою ПР для
штампувальних операцій





1	Максимальна висота від дна до екрану монтування К2	11	Максимальна
2	Оптимальний розмір діаметру М10	0,035	Максимальна
3	Максимальне упаковування зусилля Н	0,55	Максимальна
4	Глибини вимірювання	17	Максимальна
5	Розмір вимірювання	08-27МКР 009.01.200 СК	Максимальна
6	Загальний розмір	175	Максимальна

Глибини вимірювання
Розмір вимірювання
Загальний розмір

Справ №	Перв применч	Зона	Поз.	Обозначение	Наименование	Примечание
					Кол.	
					<u>Документация</u>	
A1				08-27.МКР.009.01.200 СК	Вакуумний присмоктувач	
					<u>Детали</u>	
1	08-27.МКР.009.01.201				Колектор	1
2	08-27.МКР.009.01.202				Шарова опора	1
3	08-27.МКР.009.01.203				Присмоктувач	1
4	08-27.МКР.009.01.204				Штуцер	1
5	08-27.МКР.009.01.205				Гайка	1
6	08-27.МКР.009.01.206				Гайка регулювальна	1

08-27 MKP.009.01.200 CK

Вакуумний присмоктувач

Деталі

1	08-27.МКР.009.01.201	Колектор	1
2	08-27.МКР.009.01.202	Шаровая опора	1
3	08-27.МКР.009.01.203	Присмоктувач	1
4	08-27.МКР.009.01.204	Штүцер	1
5	08-27.МКР.009.01.205	Гайка	1
6	08-27.МКР.009.01.206	Гайка регулювальна	1

№ докум. *Подп.* *Дата*

08-27.MKP.009.01.200

Вакуумний присмоктувач

ВНТЧ 20. 1ГМ-19М